BÂTIFRAIS

Colloque confort d'été dans les bâtiments et les quartiers #11

CONFORT D'ÉTÉ

ADAPTATION FRUGALES



©Michel Bonvin

un évènement organisé par

envirobât OCCITANIE

envirobatbdm

ville & aménagement durable

(R)éveillons nos pratiques

RÉPUBLIQUE FRANÇAISE
Liberté
Égalité
Fraternité

ADEME
AGENCE DE LA TRANSITION ÉCOLOGIQUE

PRÉFET DE LA RÉGION OCCITANIE
Liberté
Égalité
Fraternité

La Région Occitanie Pyrénées · Méditerranée

La RÉGION a énergie POSITIVE

UNE STRATÉGIE DE RAFRAFRAÎCHISSEMENT GLOBALE POUR LA VILLE D'AJACCIO


CR-962-KA

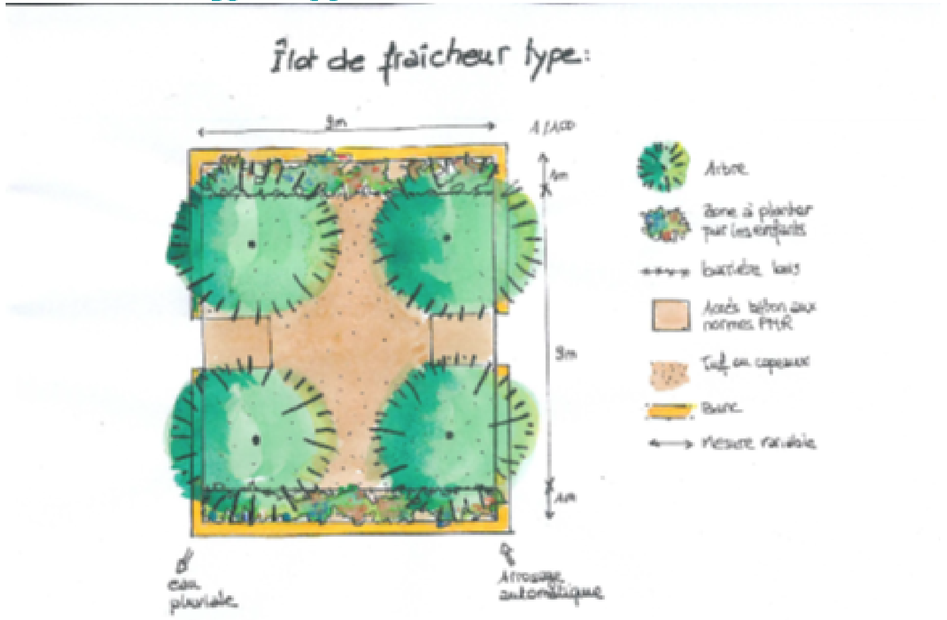

04 95 30 18 50
DEPANNAGE
ENTRETIEN
CONSEIL
VENTE
CECC
POMPE À CHALEUR · CHAUDIÈRE · CLIMATISATION
énergie





Concept : Îlots de fraicheur types applicables aux autres écoles

⇨ **Exemple avec 4 arbres de forme carré:**



- Prix moyen estimé pour une surface de 9m par 11m soit **99 m² : 45 000 € HT – 49 500 € TTC**

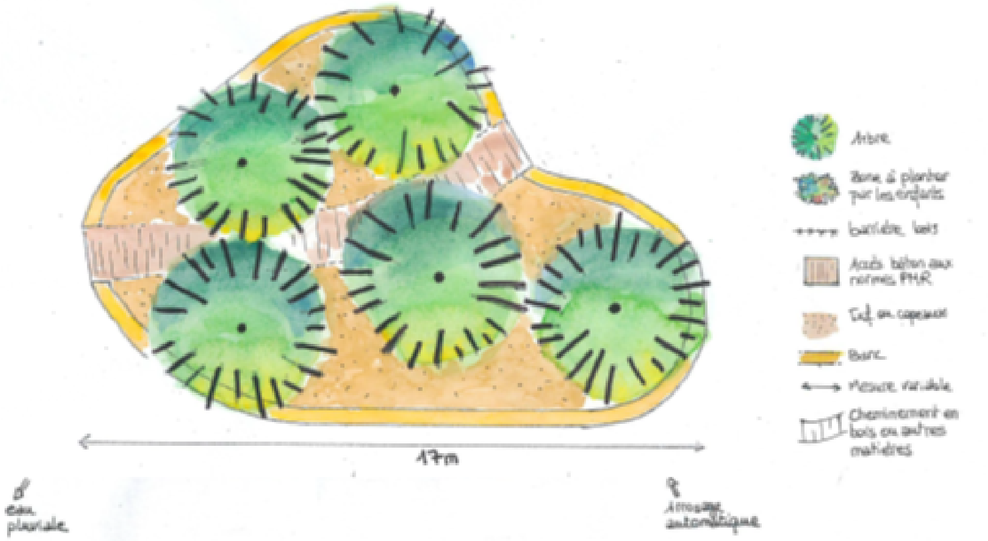
- Ratio : **454 € HT / m²**

Temps de réalisation :

- **2 à 3 mois de préparation de chantier**
- **10 à 15 jours de chantier pour le revêtement de sol**
- **1 à 2 jour(s) pour les espaces verts**

- Quantité d'écoles réalisables par été : 2 à 4 Ecoles (maximum atteint en mobilisant 2 entreprises)

⇨ **Exemple d'îlot de forme courbe avec 5 arbres :**



- Prix moyen estimé pour une surface de 11m par 21m soit **118 m² : 49 000 € HT – 53 900€ TTC**

- Ratio : **415 € HT / m²**

Temps de réalisation :

- **2 à 3 mois de préparation de chantier**
- **2 à 3 semaines de chantier pour le revêtement de sol**
- **2 jour(s) pour les espaces verts**

- Quantité d'écoles réalisables par été : 2 à 4 Ecoles (maximum atteint en mobilisant 2 entreprises)

16/09/2026
Stonde di vita avec... Simon et Saveria Salge, artisans glacier

10/09/2026
Face à des ventes en chute libre, les buralistes corses réclament un gel de la fiscalité du tabac

10/09/2026
Compte-rendu de l'audit financier de Morosaglia : "La commune risque une mise sous tutelle"

10/09/2026
Conservatoire de Corse - Une rentrée bien orchestrée à Bastia

Santé : l'obésité et le surpoids touchent près d'un Corse sur deux

M.V. le Mardi 14 Mars 2023 à 20:20

L'obésité et le surpoids sont des pathologies qui augmentent les risques d'hypertension artérielle, d'insuffisance cardiaque et d'accident vasculaire cérébral (AVC). D'après une étude de l'ORS (observatoire régionale de la santé) ces maladies toucheraient près de 47% de la population corse et plus particulièrement les enfants.

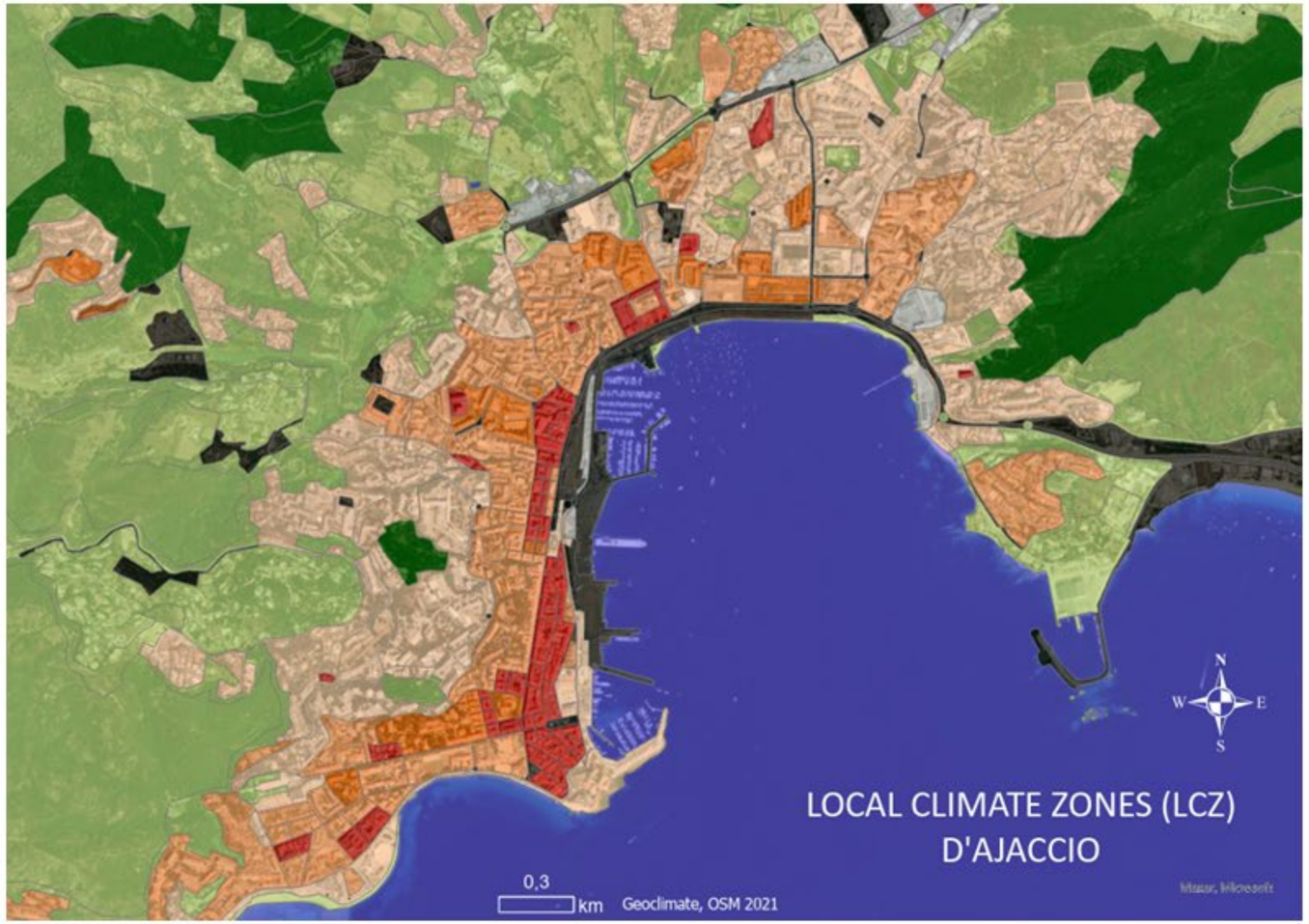
CNI Corse Net Infos
Télécharger l'application
Télécharger dans l'App Store
DISPONIBLE SUR Google Play
Paramètres cookies

DIAGNOSTIC

La carte LCZ permet d'identifier l'influence des zones urbaines plus denses (en rouge).Elles présentent des rues étroites qui piègent le rayonnement, limitent la ventilation et contribuent à l'îlot de chaleur urbain. Cependant, **l'étroitesse de ces rues peut être un facteur positif** pour le confort thermique en journée (ombrage des piétons).

- 1 Ensemble compact de tours
- 2 Ensemble compact d'immeubles
- 3 Ensemble compact de maisons
- 4 Ensemble de tours espacées
- 5 Ensemble d'immeubles espacés
- 6 Ensemble de maisons espacées
- 7 Constructions légères
- 8 Bâtiments bas de grande emprise
- 9 Implantation diffuse et espacée de maisons
- 10 Industrie lourde

- A Espace densement arboré
- B Espace arboré clairsemé
- C Espace végétalisé hétérogène
- D Végétation basse
- E Sol imperméable naturel ou artificiel
- F Sol nu
- G Eau



Classification LCZ d'Ajaccio

7 Carte LCZ (Zones Climatiques Locales)

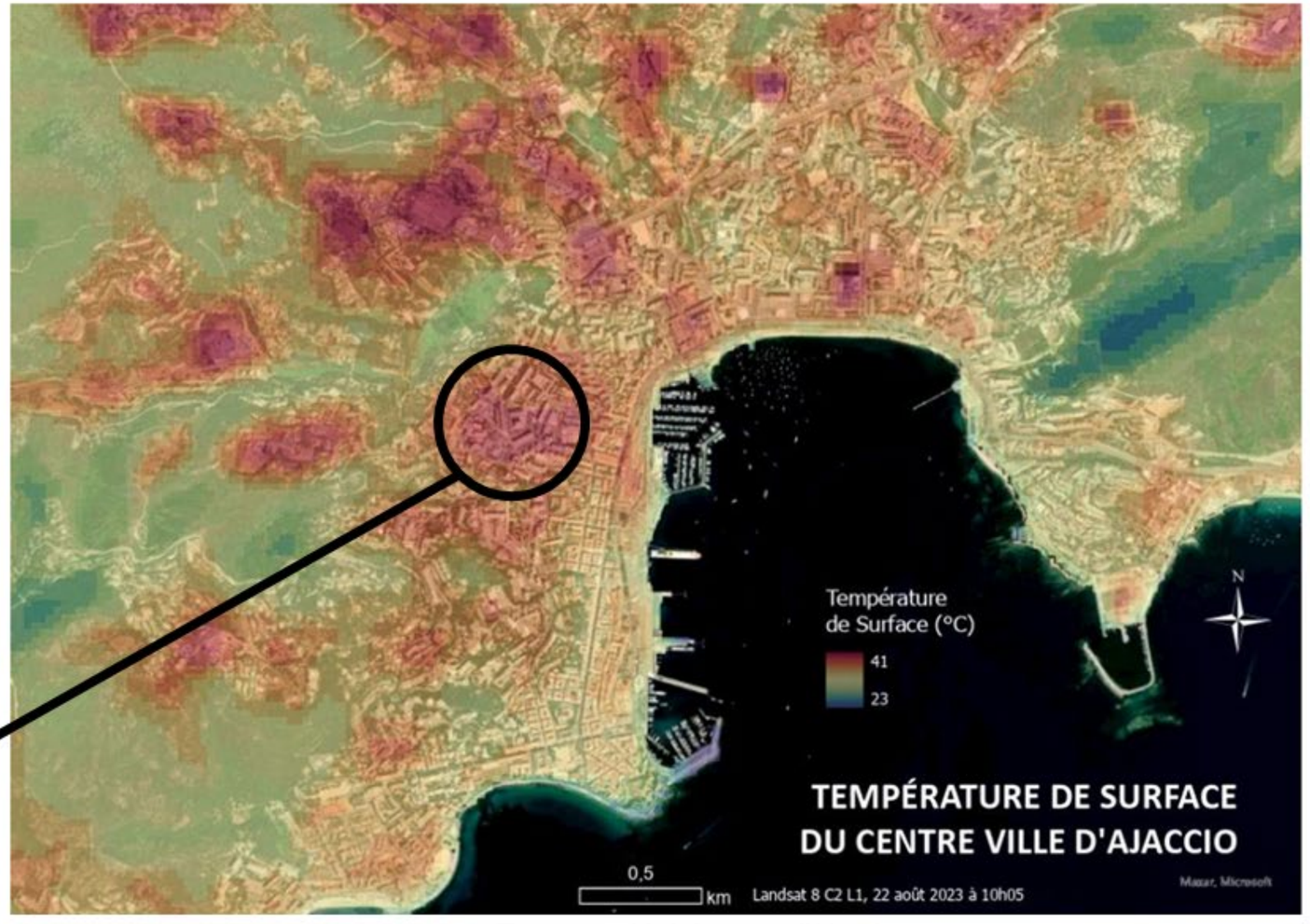
Source : Saveria Tognini, Rapport de stage, 2024

Freio design climatique

La thermographie infrarouge présentée dans le rapport de stage de Saveria Tognini donne **une indication de la température de surface** le 22 août 2023 à 10h et traduit les effets de la surchauffe urbaine en milieu de matinée.

Les zones avec les températures de surface les plus élevées **sont minéralisées et présentent une urbanisation assez diffuse** : l'absence d'ombrage favorise une surchauffe rapide en début de matinée.





Thermographie infrarouge d'Ajaccio

5 Analyse de la thermographie infrarouge

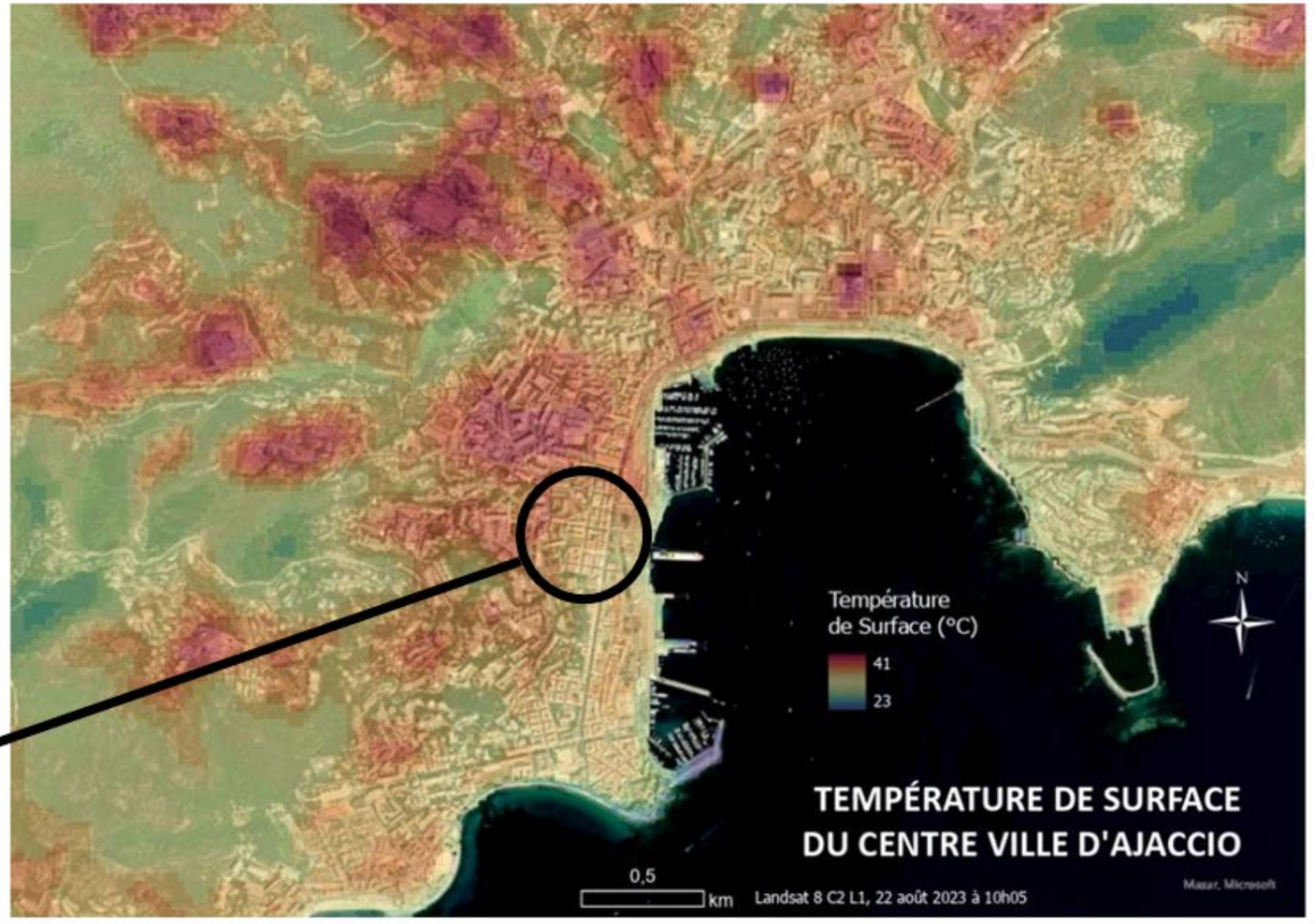
Source : Saveria Tognini, Rapport de stage, 2024

Freio design climatique

La température de surface du quartier adjacent est sensiblement plus basse de quelques degrés. Cela peut s'expliquer par **la morphologie urbaine de cette zone plus dense qui présente des rues relativement étroites.** Elles génèrent un ombrage qui limite l'élévation de température en début de matinée.

Cette hypothèse devra être confirmée par les modélisations ultérieures.





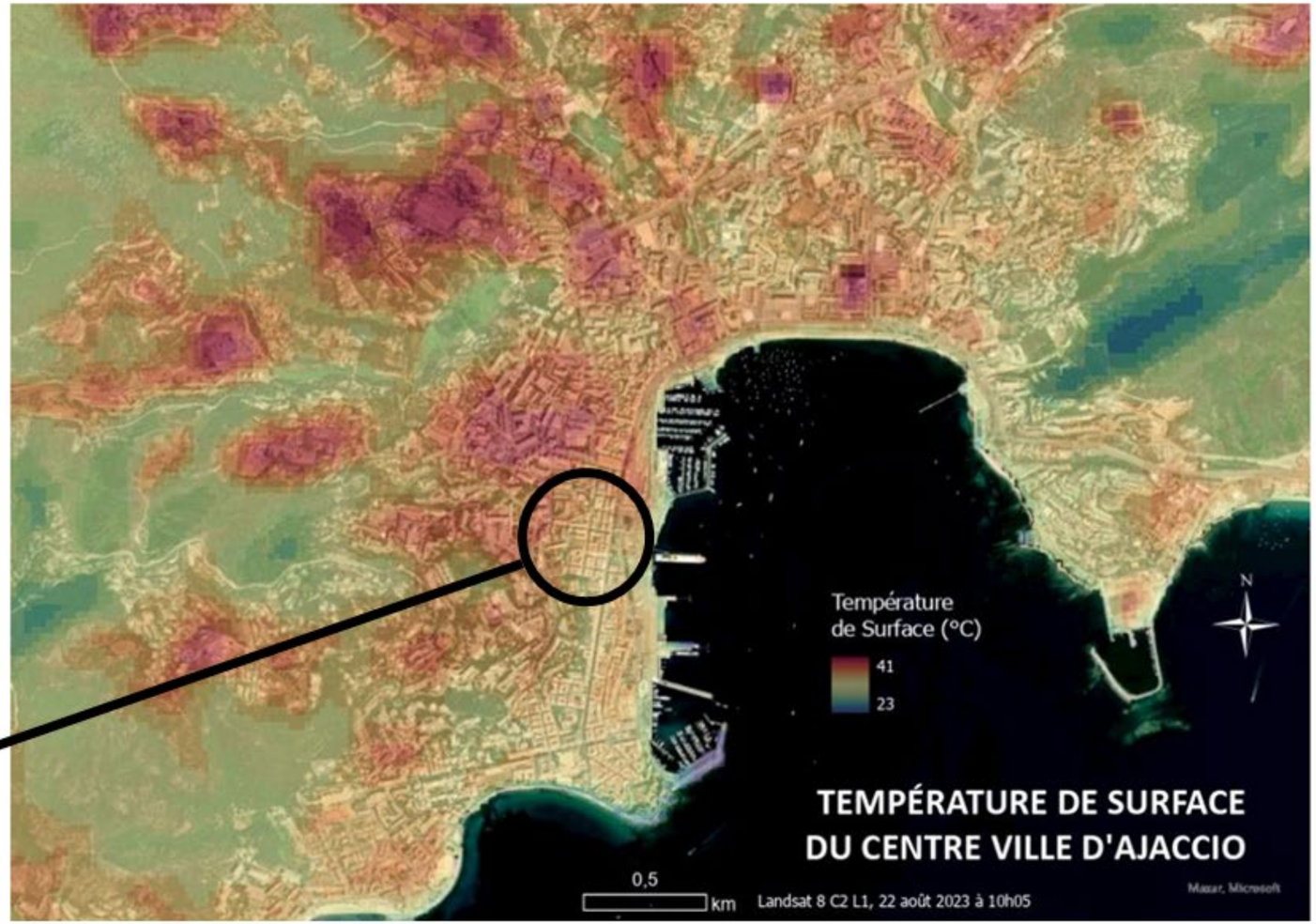
Thermographie infrarouge d'Ajaccio

6 Analyse de la thermographie infrarouge

Source : Saveria Tognini, Rapport de stage, 2024

Freio design climatique





Thermographie infrarouge d'Ajaccio

6 Analyse de la thermographie infrarouge

Source : Saveria Tognini, Rapport de stage, 2024

Freio
design climatique

La station météorologique de référence, d'où proviennent les données exploitées dans la suite de cette étude, est située **à proximité de l'aéroport**.

Compte tenu de son emplacement en périphérie, **l'effet d'îlot de chaleur urbain sur les températures de l'air est sous-estimé.** De plus, sa situation en bordure de littoral **surestime la vitesse de l'air** qui existe réellement dans le tissu urbain.

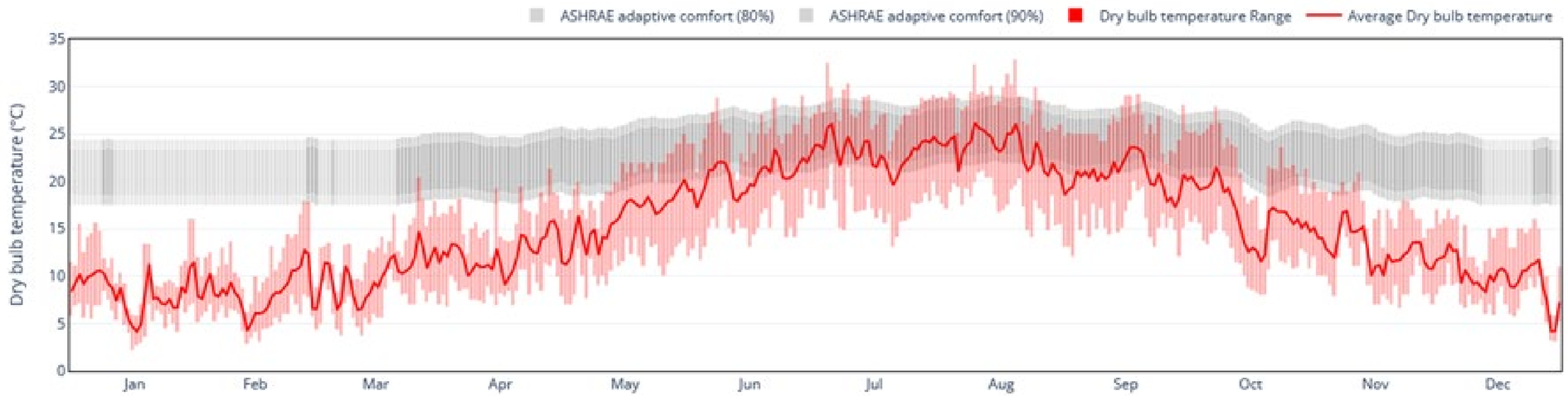
Elle est à environ **4,5 km** du centre d'Ajaccio où l'effet d'îlot de chaleur urbain est *a priori* le plus fort.



Emplacement de la station météorologique de référence

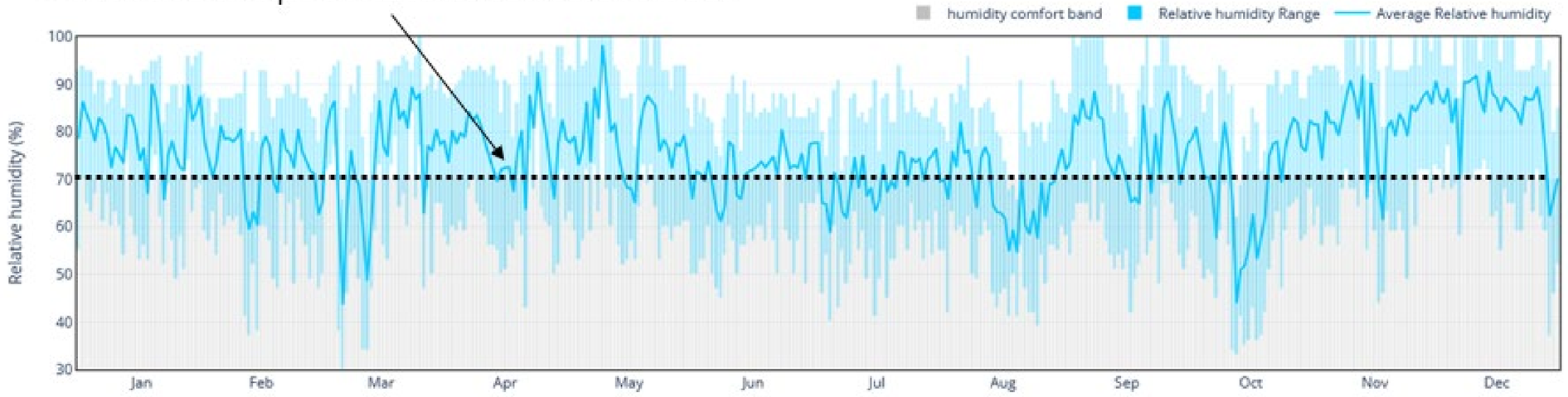
11 Emplacement de la station météo de référence

Source : Géoportail

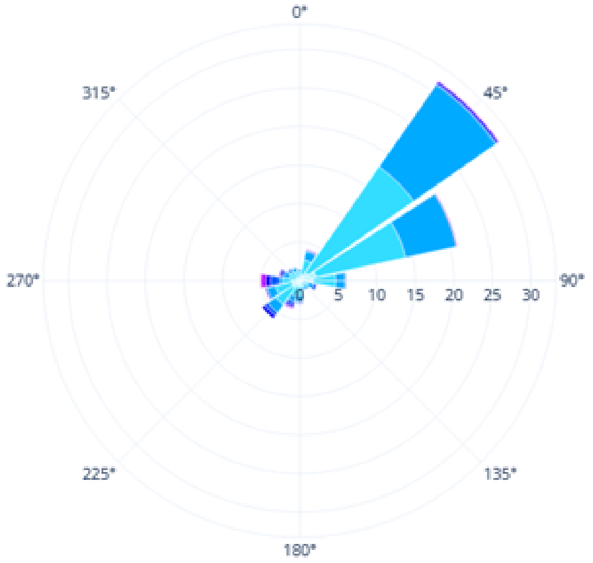


Température de l'air (en °C)

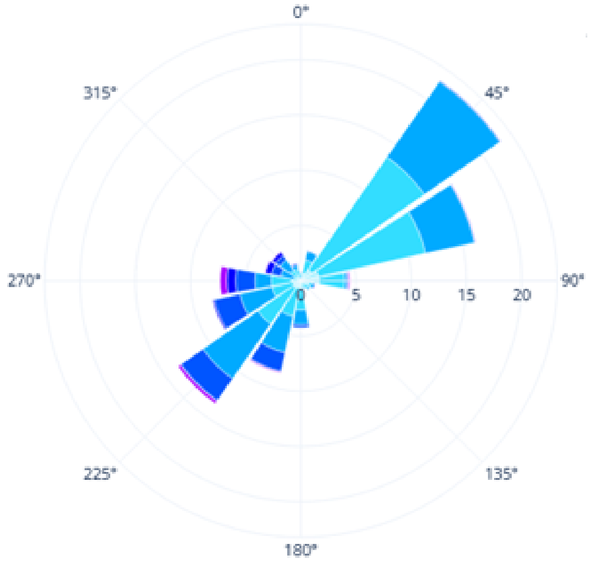
Seuil des 70% d'humidité relative
= inconfort thermique en l'absence de mouvement d'air



Humidité relative (en %)



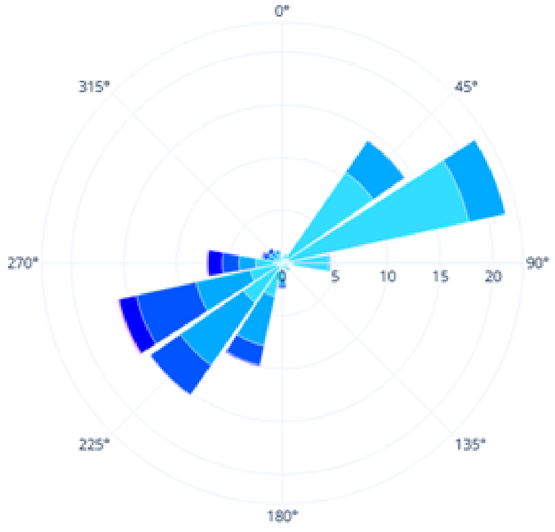
Décembre/Janvier/Février



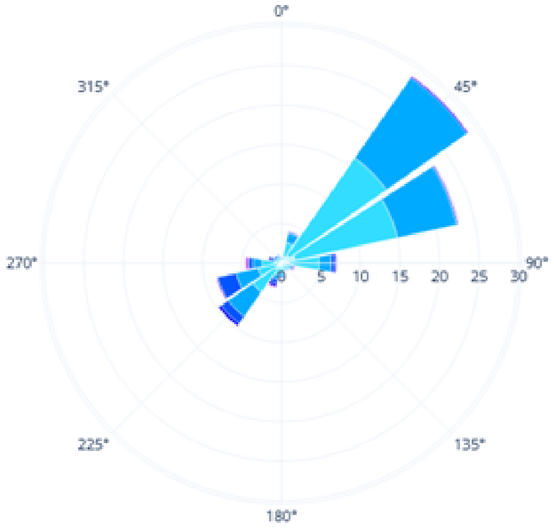
Mars/Avril/Mai

Vitesse de l'air (en m/s)

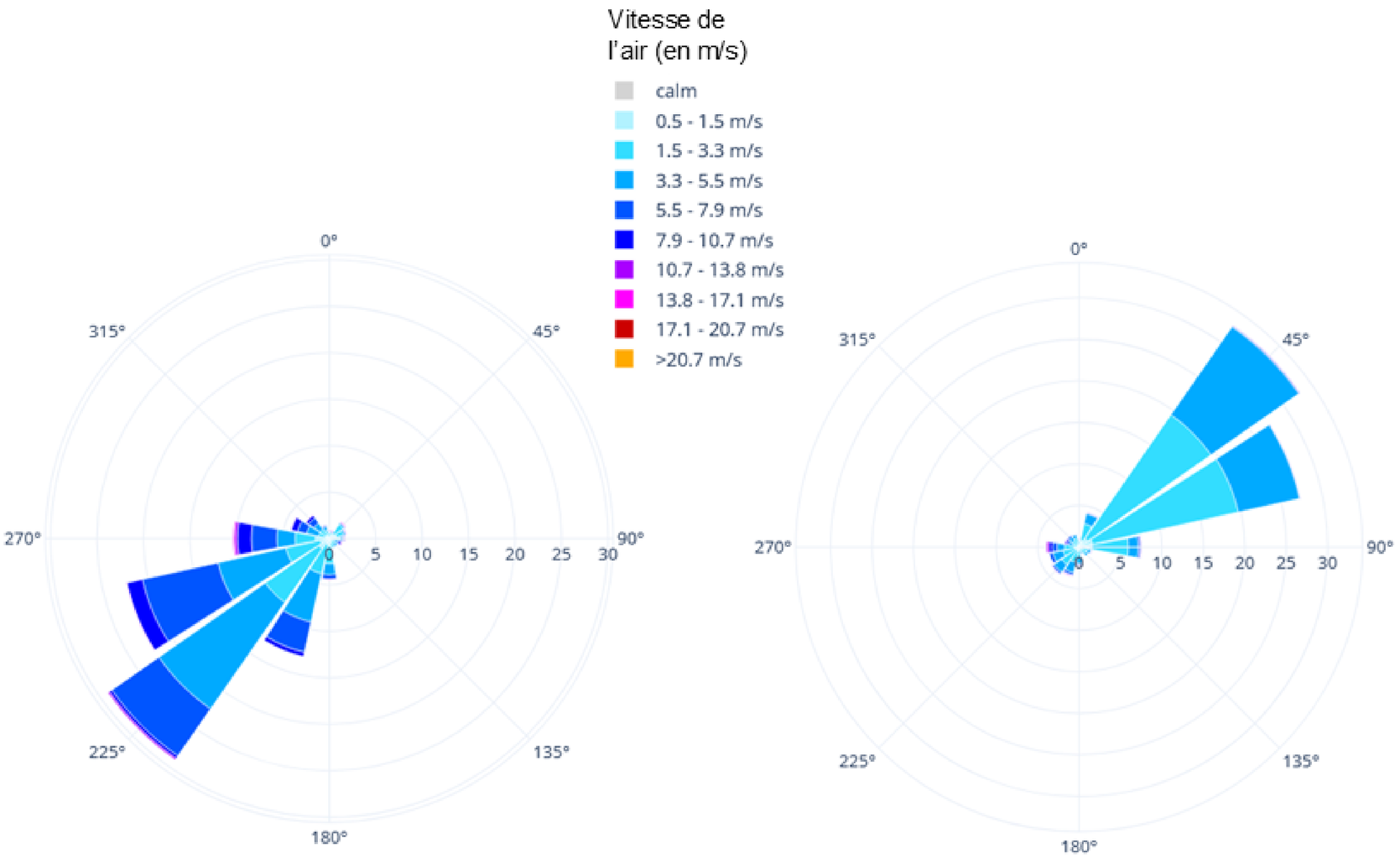
- calm
- 0.5 - 1.5 m/s
- 1.5 - 3.3 m/s
- 3.3 - 5.5 m/s
- 5.5 - 7.9 m/s
- 7.9 - 10.7 m/s
- 10.7 - 13.8 m/s
- 13.8 - 17.1 m/s
- 17.1 - 20.7 m/s
- >20.7 m/s



Juin/Juillet/Août

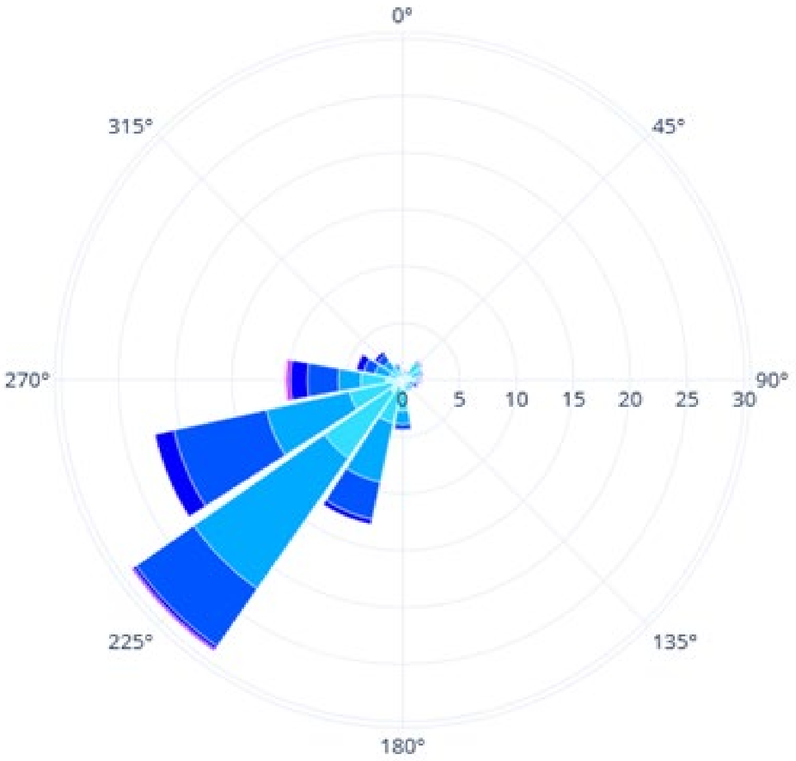


Septembre/Octobre/Novembre



Rose des vents des mois de juin à août de 12h à 18h (après-midi)

Rose des vents des mois de juin à août de 19h à 11h (nuit et matinée)



Rose des vents annuelle de 12h à 18h (après-midi)



© 2014 Encyclopædia Britannica, Inc.

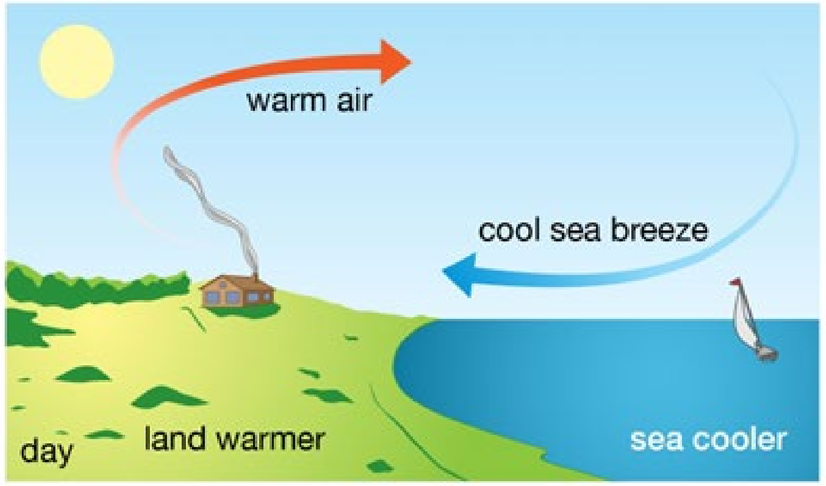
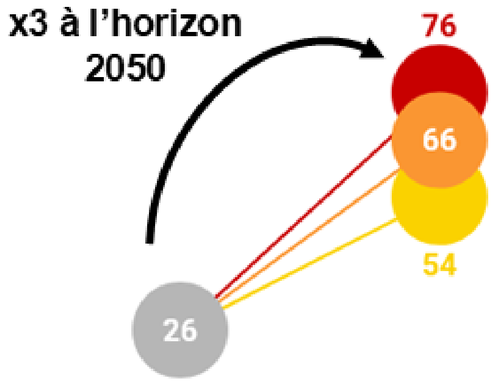


Schéma de principe de la brise de mer

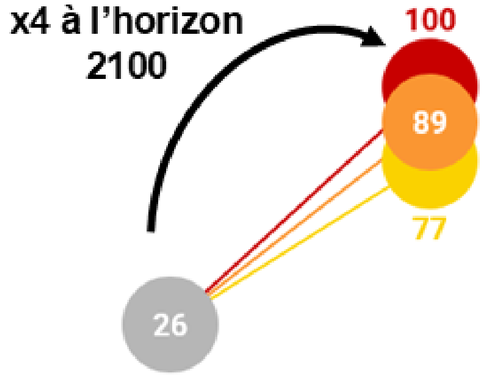
Nombre annuel de nuits chaudes (>20°C)

2050 +2.7°C



Nombre annuel de nuits chaudes (>20°C)

2100 +4°C



Valeur de référence Valeur haute Valeur médiane Valeur basse

Horizon 2050 : la Corse trois fois plus exposée aux nuits tropicales

Thomas Dubuis, Xavier Pétillon (Insee)

Au cours des trente prochaines années, les deux tiers du territoire corse seraient exposés à plus de trente nuits tropicales en été. La multiplication des anomalies de chaleur diurne ou nocturne d'ici 2050 apparaît moins marquée sur l'île qu'au niveau national grâce à l'effet modérateur du littoral mais aussi du fait de températures de saison déjà plus élevées avant les années 2000. Plus exposés et essentiellement ruraux, les pourtours montagneux abritent davantage de personnes âgées. Or, comme les jeunes enfants, les seniors sont les plus vulnérables aux fortes chaleurs à répétition.

INSEE FLASH CORSE
N° 76
Paru le : 31/03/2023

Imprimer
Découvrir la collection

DONNÉES
(xlsx, 10 Ko)

CONSULTER DOCUMENTATION

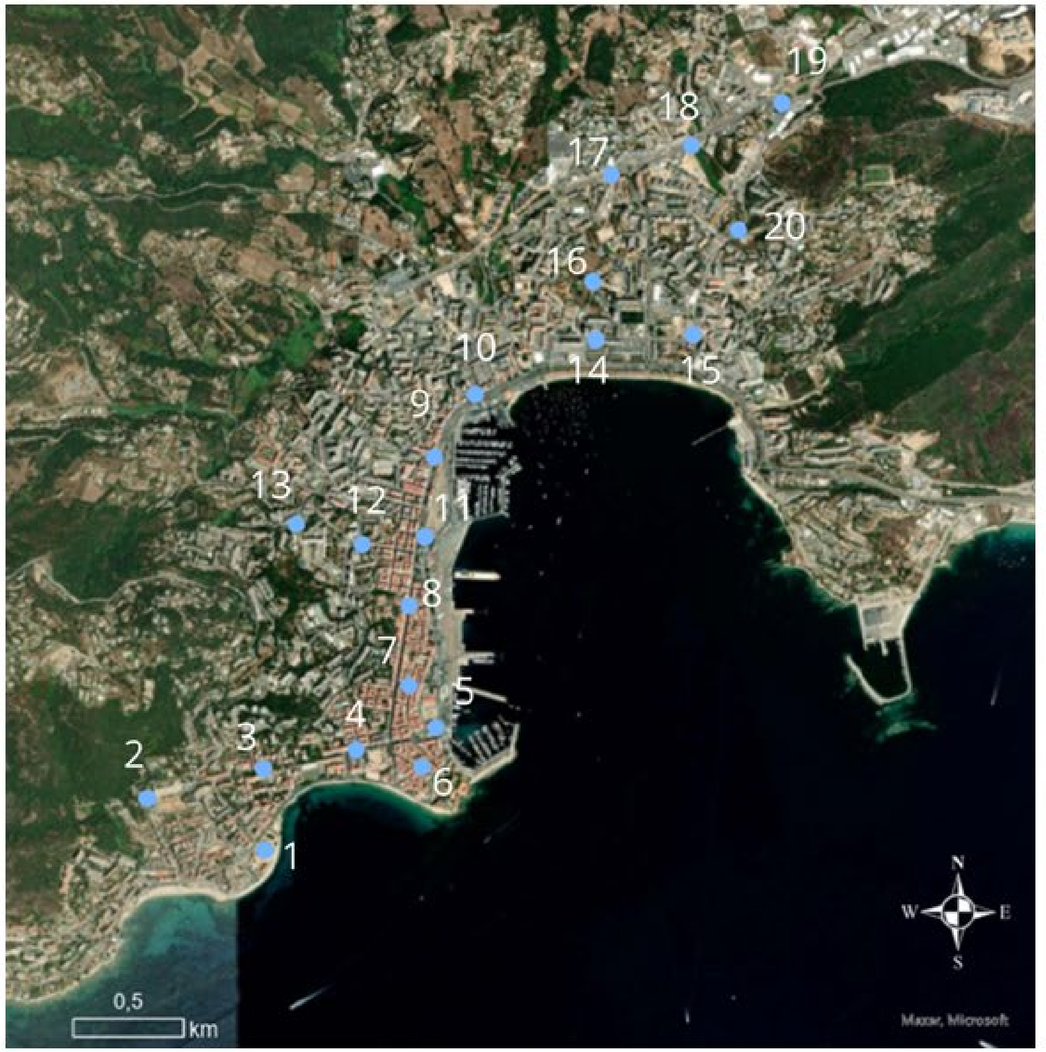
Afin de mesurer la surchauffe urbaine d'Ajaccio, 20 capteurs ont été installés dans différents points de la ville (carte ci-joint) pour mesurer la température et l'humidité de l'air. Leur répartition est suffisamment homogène sur l'ensemble du tissu urbain.

Les capteurs des stations météo étaient protégés par des abris ventilés conventionnels (type abri Stevenson) qui permet de limiter la surchauffe des capteurs. Cela garantit normalement une bonne fiabilité des données collectées.



Figure 5 : Capteur EM320-TH Milesight et son abri anti-UV

Capteurs et abris utilisés dans les stations

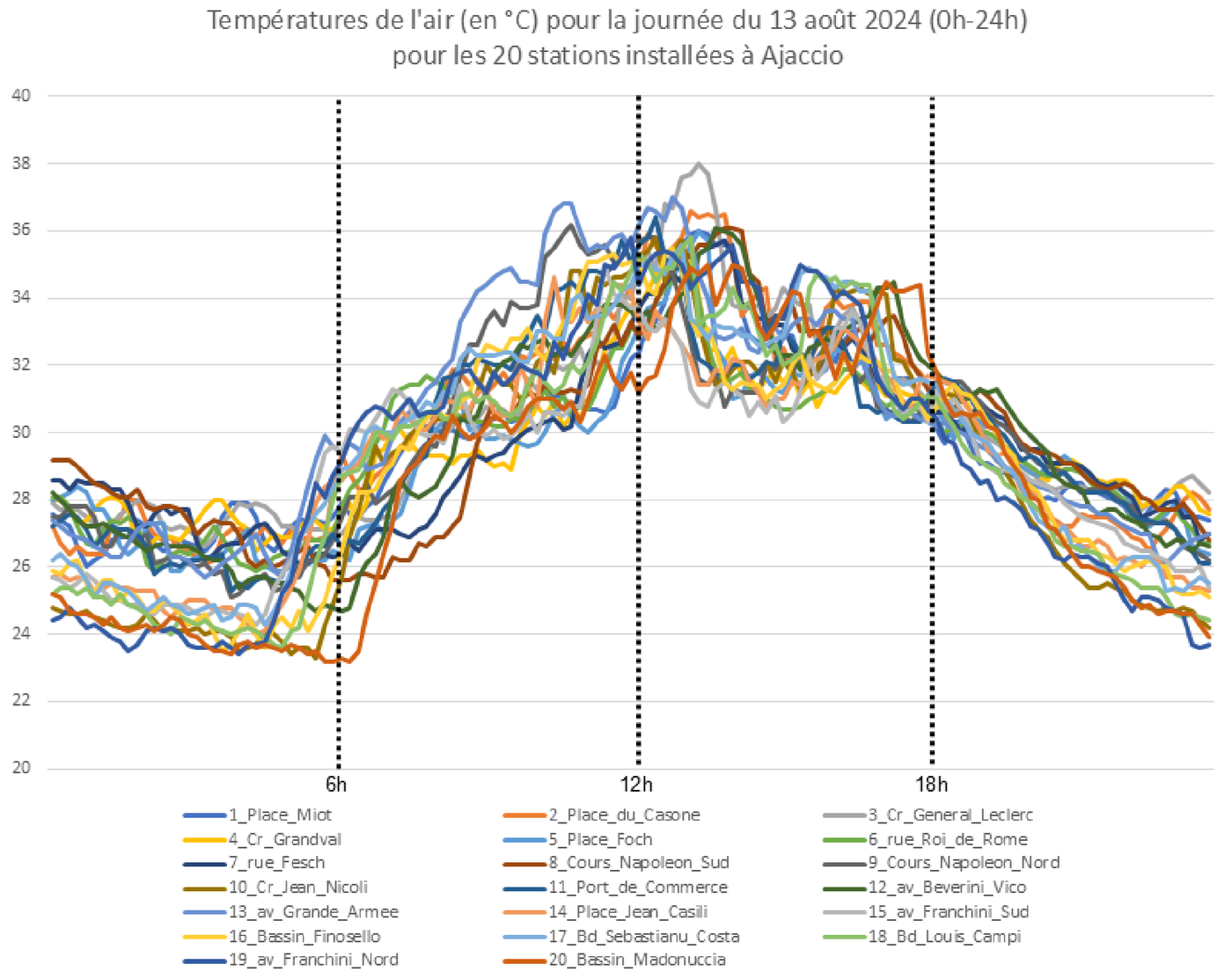


Carte de l'emplacement des stations météo

Source : AUE

Les mesures des températures et de l'humidité de l'air ont été réalisées avec **un pas de temps d'environ 10 minutes**. Une telle fréquence est très élevée pour une analyse climatologique qui couvre de longues périodes (semaines ou mois) et génère énormément de données. De plus**, les capteurs ne sont pas synchronisés entre eux**, ce qui crée des décalages dans les mesures sur plusieurs jours et conduit à des erreurs d'interprétation (déphasage artificiel des courbes).

Afin de comparer l'ensemble des stations de mesure compte tenu de ces limites, il est nécessaire de se concentrer sur une seule journée : le graphique ci-joint se concentre sur la **journée du 13 août 2024** de minuit à minuit. Le choix de cette journée s'explique par les pics de température observés qui sont inédits pour ce mois.



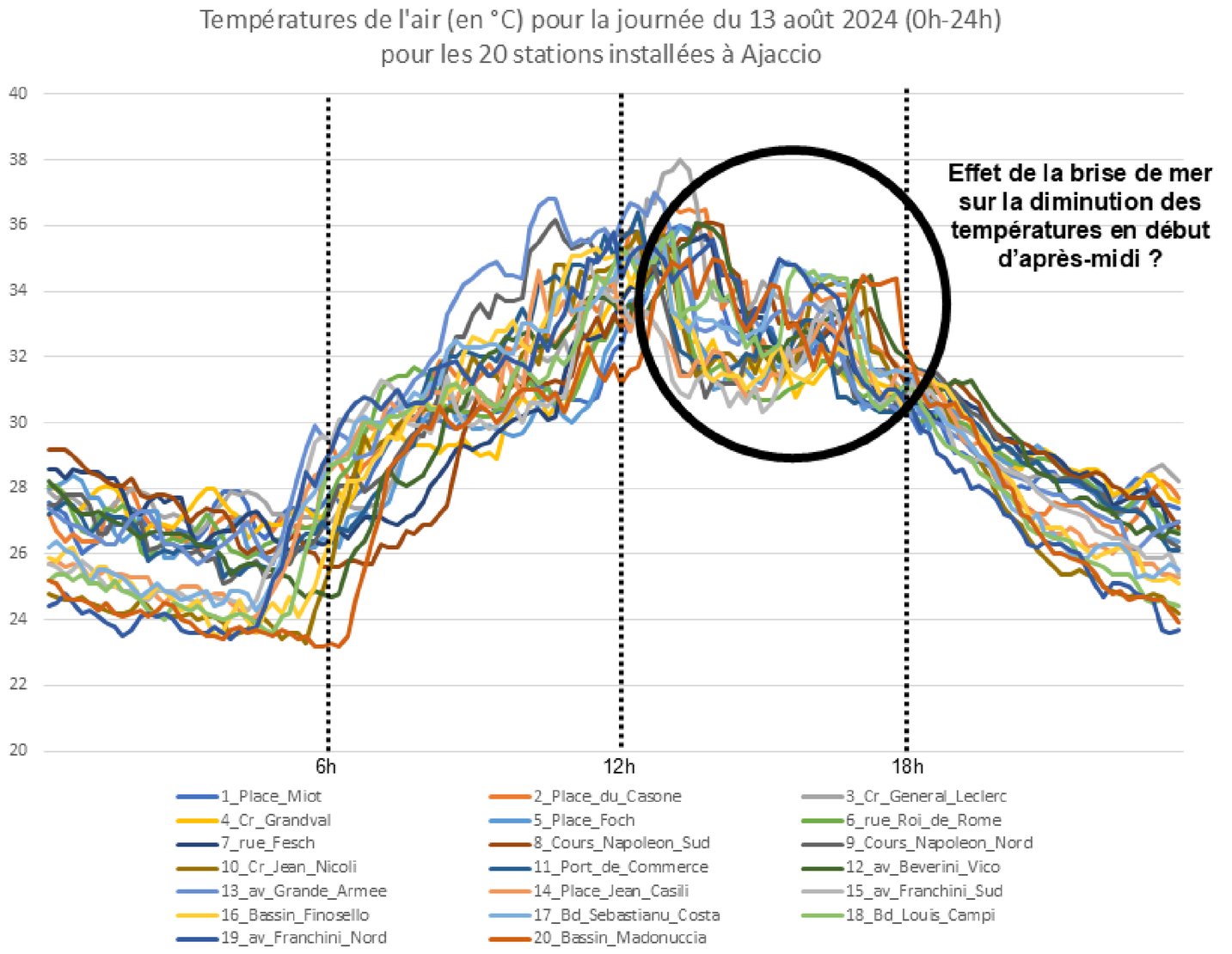
Source : Freio – design climatique / Données : AUE

La baisse des températures en début d'après-midi est surprenante. Elle pourrait s'expliquer par un ombrage des capteurs, mais le fait qu'elle concerne toutes les stations interroge.

On peut **faire l'hypothèse que c'est le vent qui explique cette diminution** : la brise de mer contribue à mieux ventiler les rues et à refroidir les capteurs.

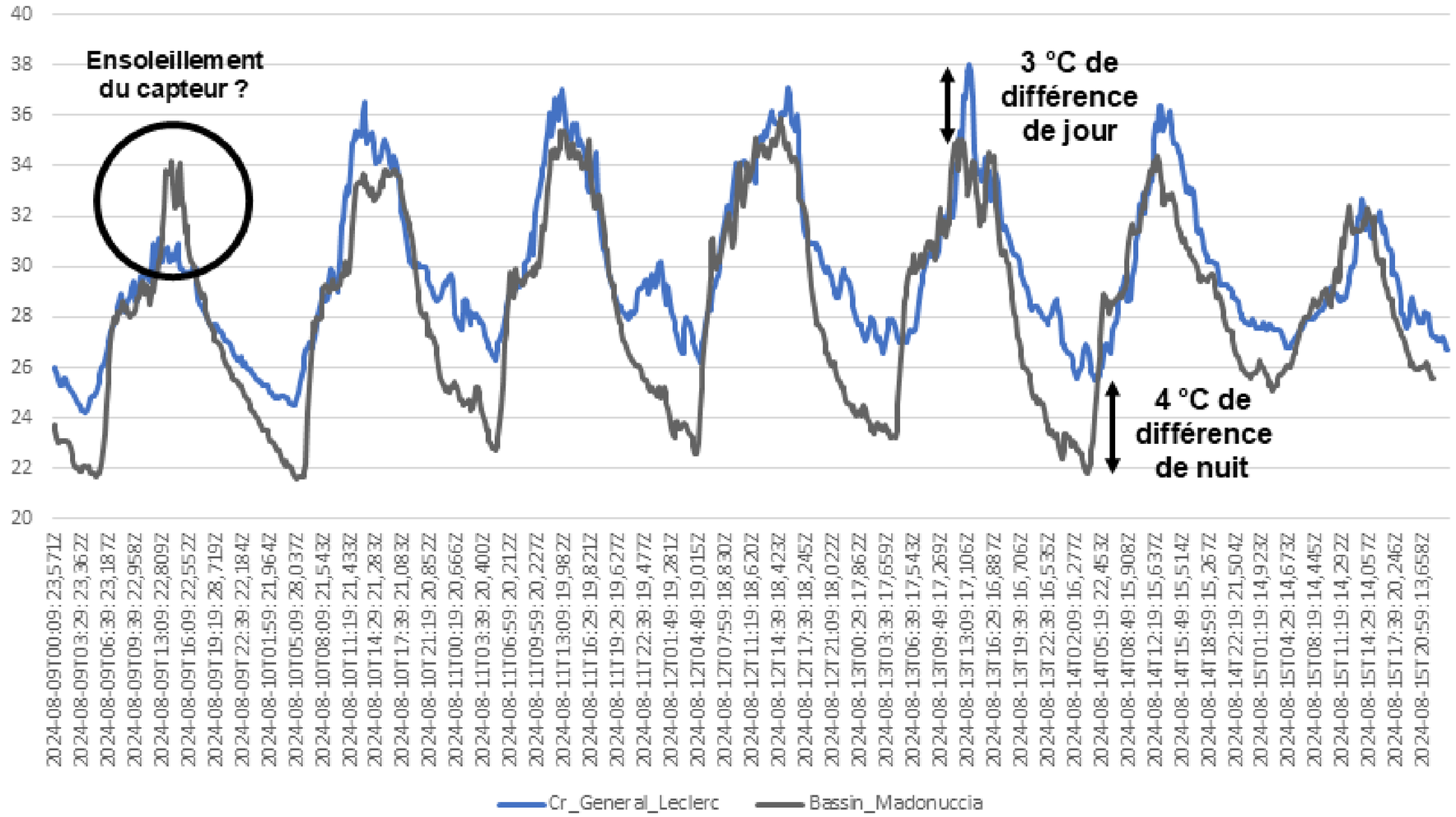


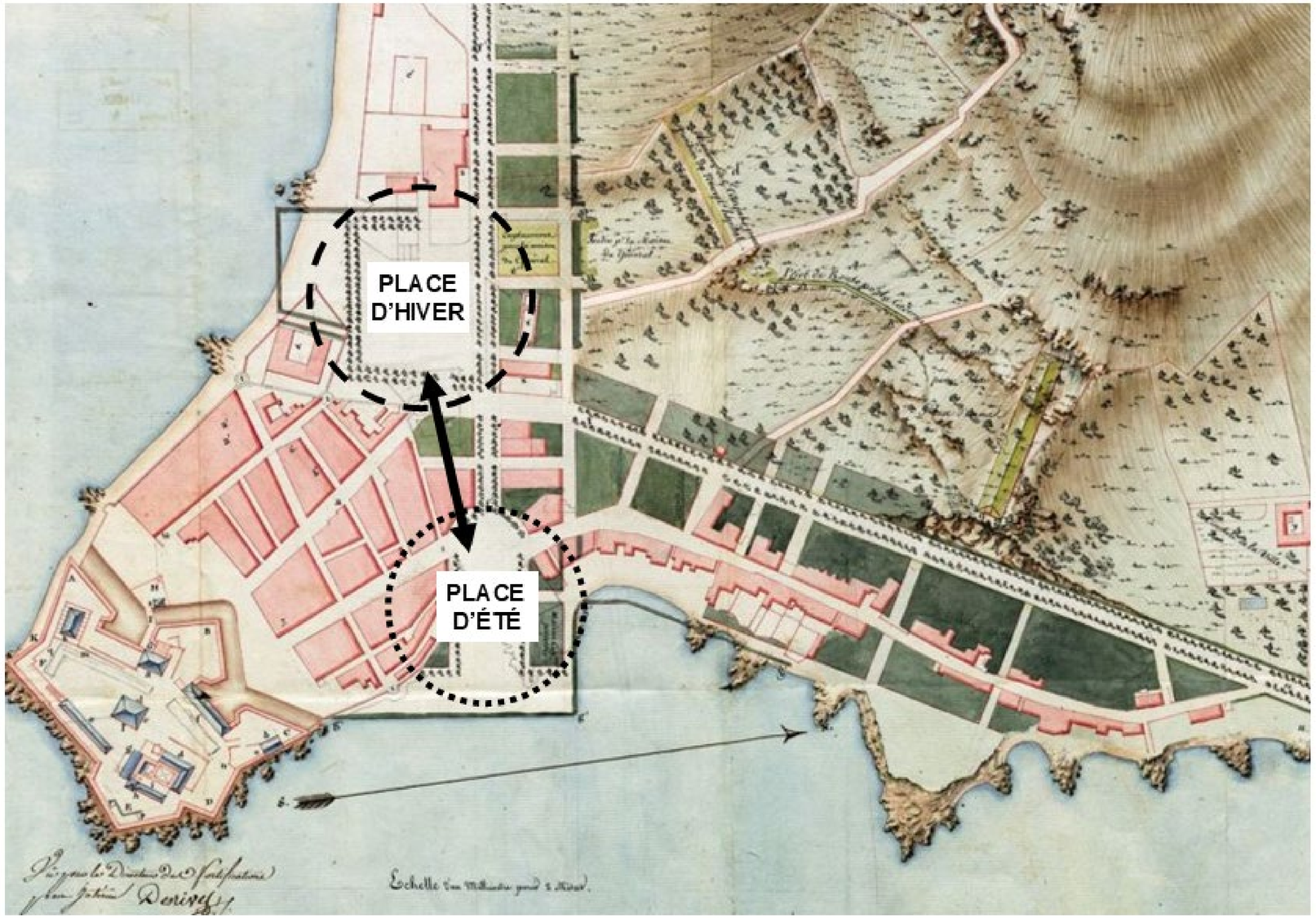
Rose des vents annuelle de 12h à 18h (après-midi)



Source : Freio – design climatique / Données : AUE

Comparaison de la température de l'air entre le cours Général Leclerc et le Bassin Madonuccia entre le 9 et le 15 août 2024



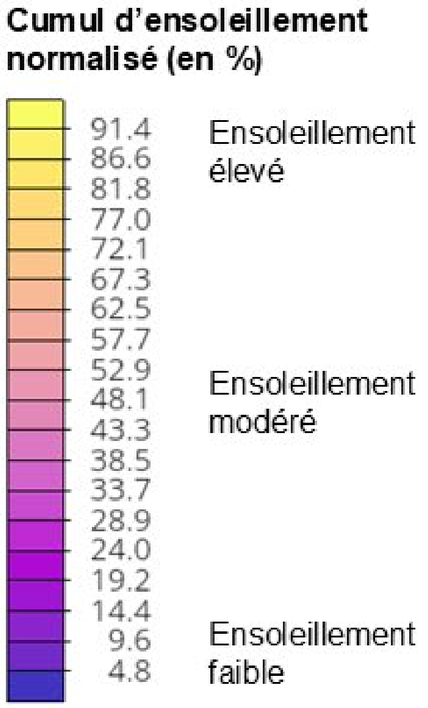


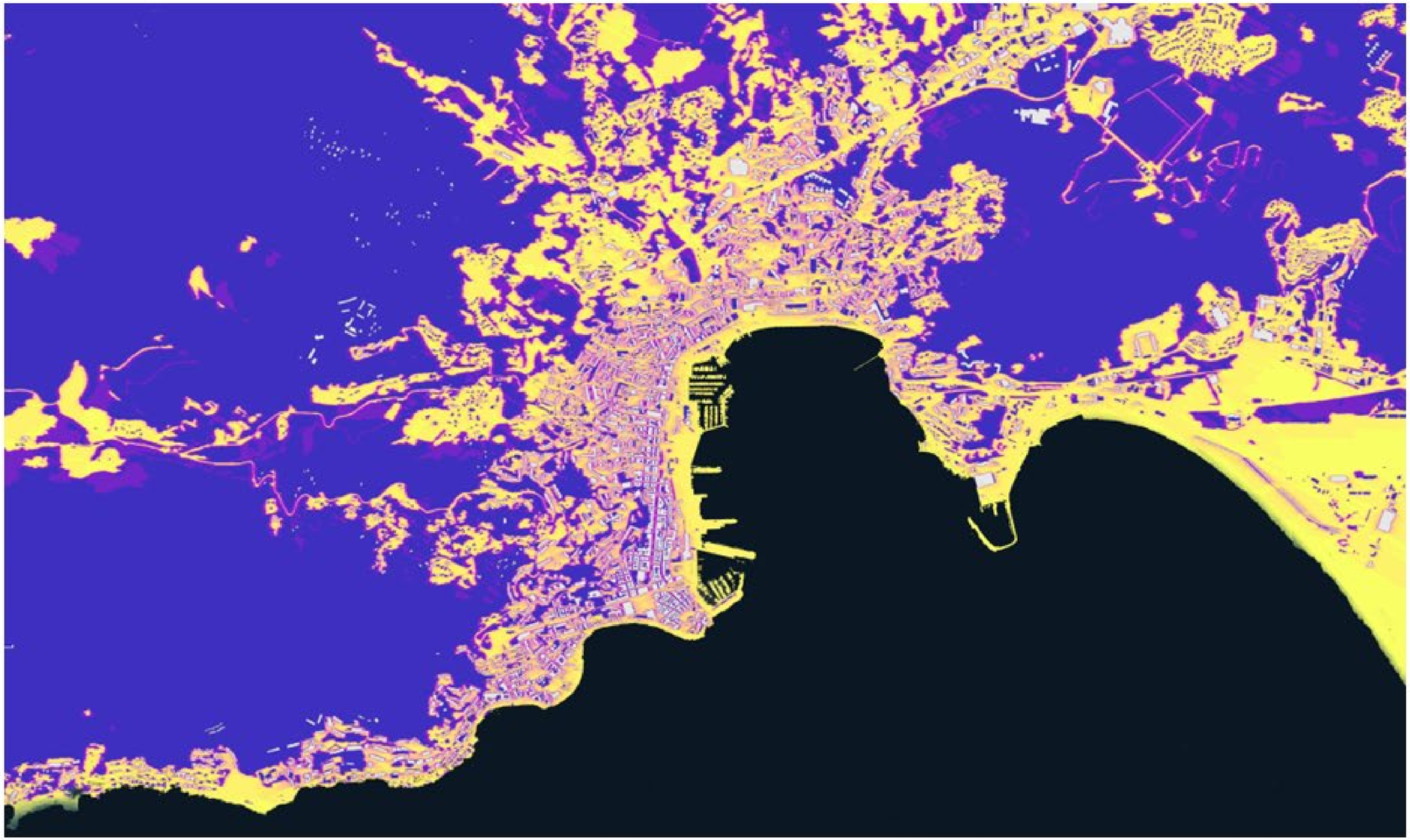
Plan d'Ajaccio en 1808

MODÉLISATIONS



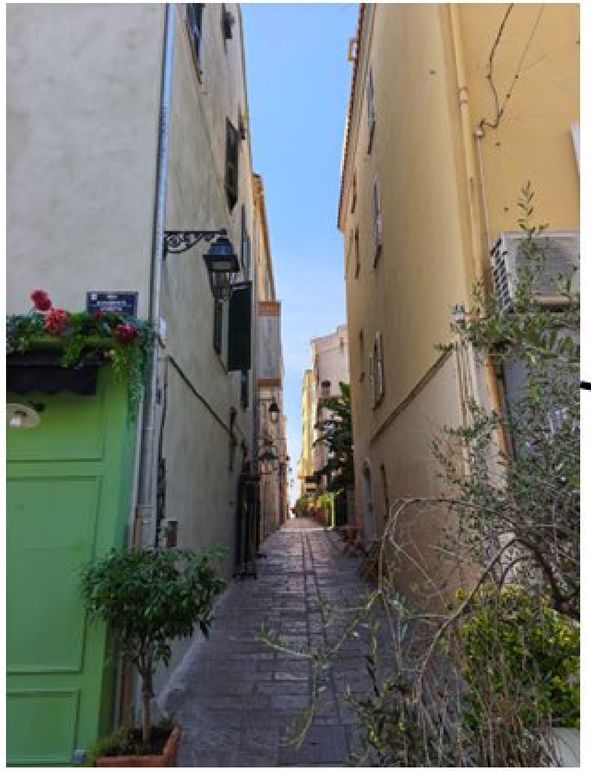
Cette carte montre la modélisation du cumul d'ensoleillement normalisé reçu au sol pour le 21 juin (solstice d'été). La durée d'ensoleillement est exprimée sous la forme d'un pourcentage.



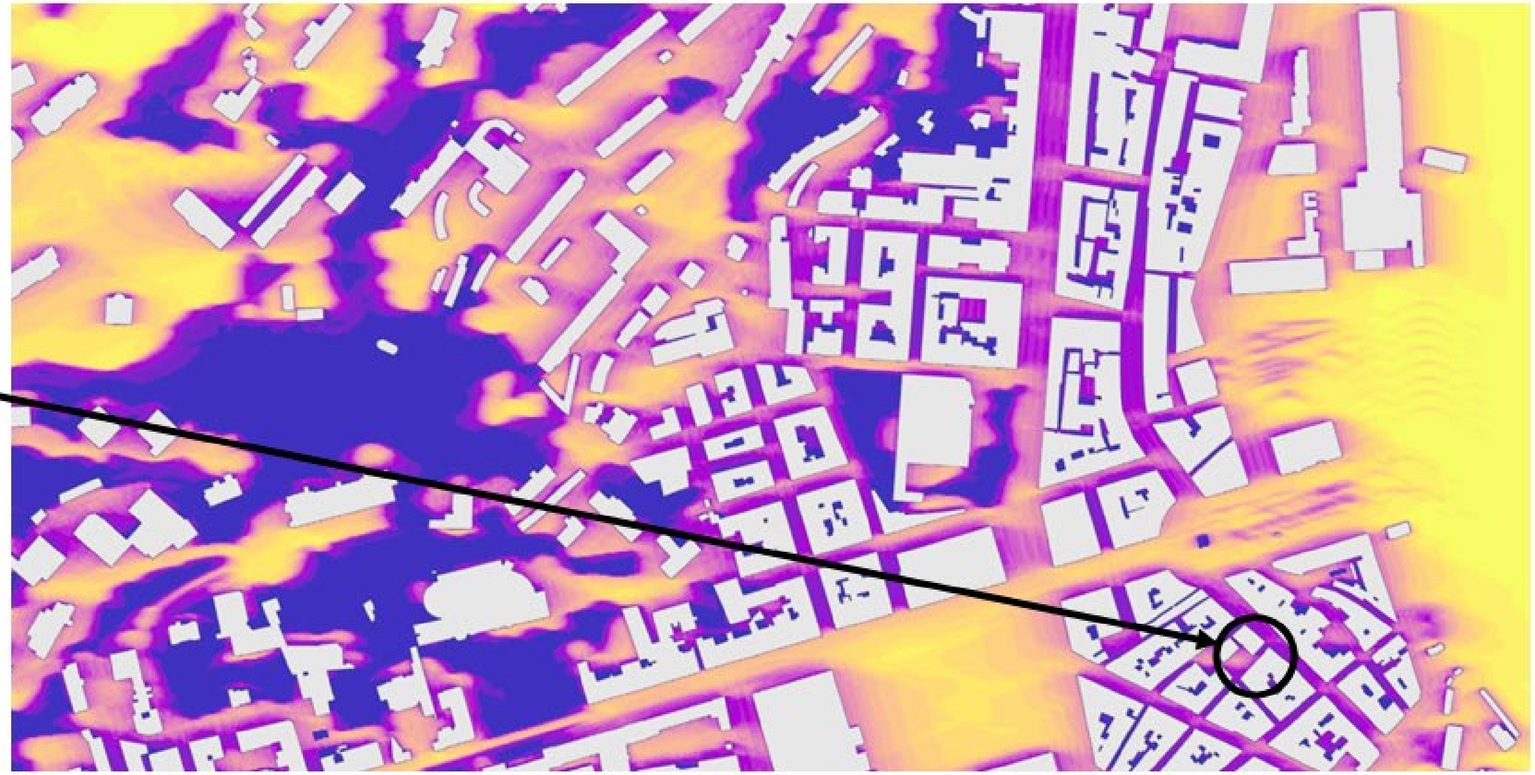


Carte du cumul d'ensoleillement reçu au sol pour le 21 juin à Ajaccio

La rue Saint-Charles (voir photo) présente par exemple un faible cumul d'ensoleillement au sol, tout comme la rue Fesch. Cela s'explique par **leur étroitesse** qui produit un ombrage tout au long de la journée et garantit un certain confort thermique pour les piétons.



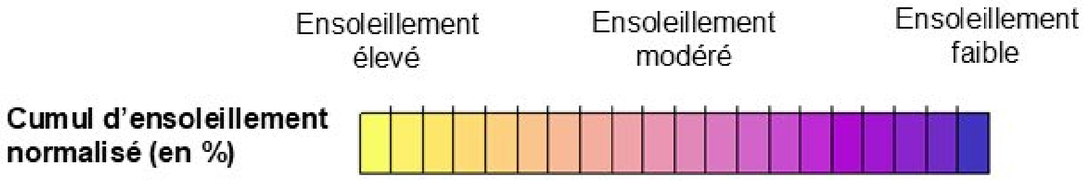
Rue Saint-Charles



Cumul d'ensoleillement reçu au sol (1er juin-31 août) dans le centre ville

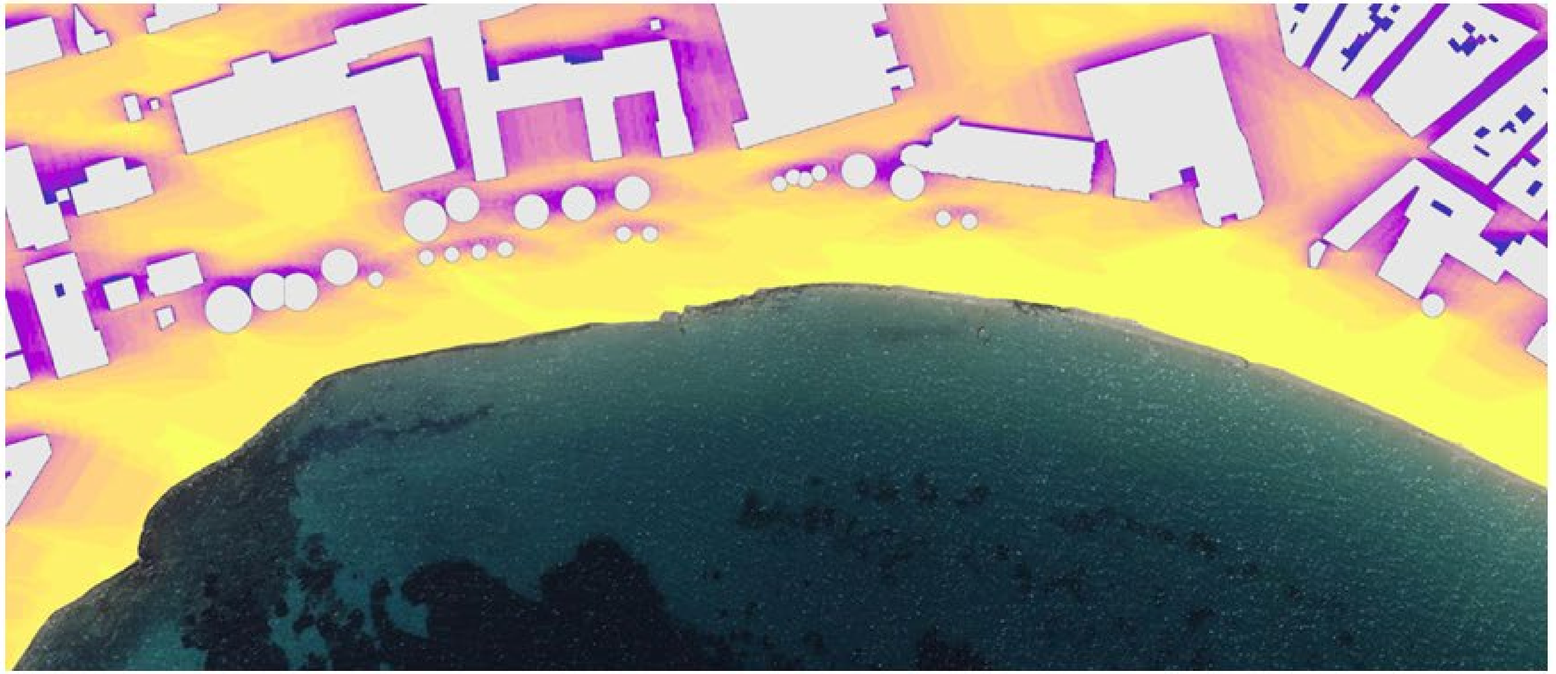
Source : Freio – design climatique

Cette modélisation montre le cumul d'ensoleillement normalisé reçu au sol pour la période du 1er juin au 31 août 21 juin **le long du boulevard Pascal Rossini.** L'absence d'ombrage au sud du quai produit un inconfort thermique important.





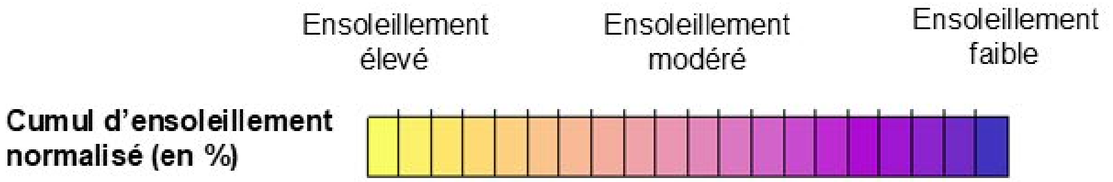
Quai Pascal Rossini

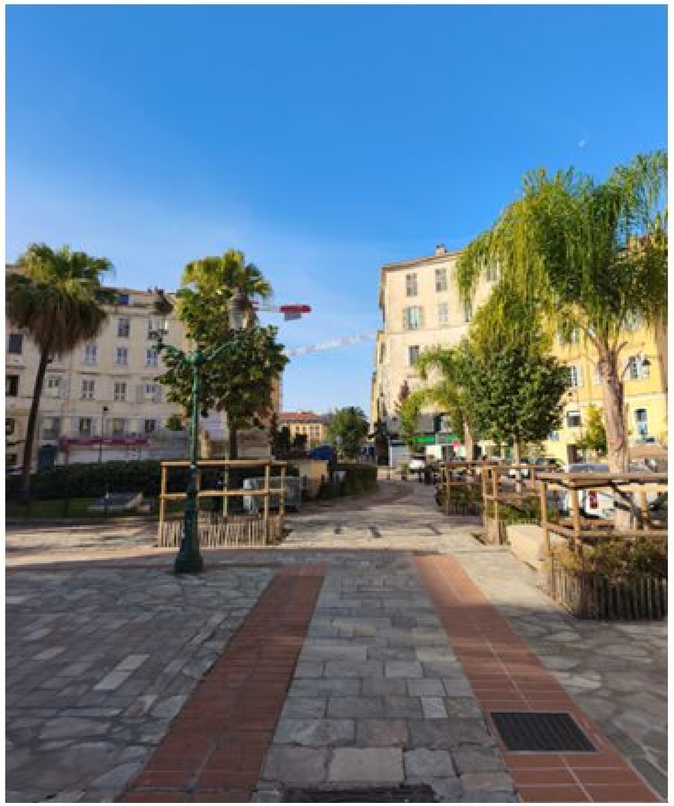


Cumul d'ensoleillement reçu au sol (1er juin-31 août) sur le boulevard Pascal Rossini

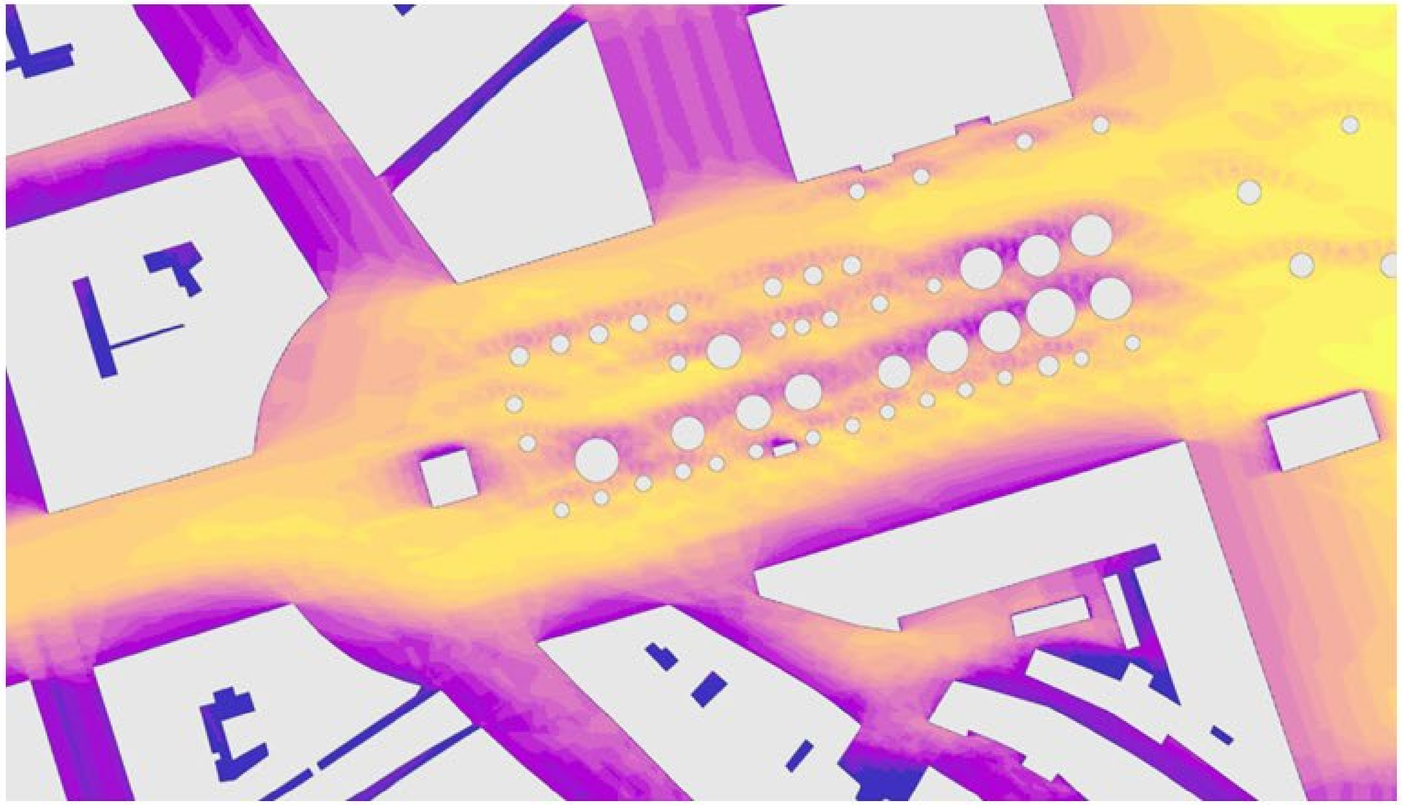
Source : Freio – design climatique

Cette modélisation montre le cumul d'ensoleillement normalisé reçu au sol pour la période du 1er juin au 31 août 21 juin sur la place Foch. **La faible couverture arborée génère peu d'ombrage et entraîne un inconfort thermique important sous l'effet de l'ensoleillement direct.**





Place Foch



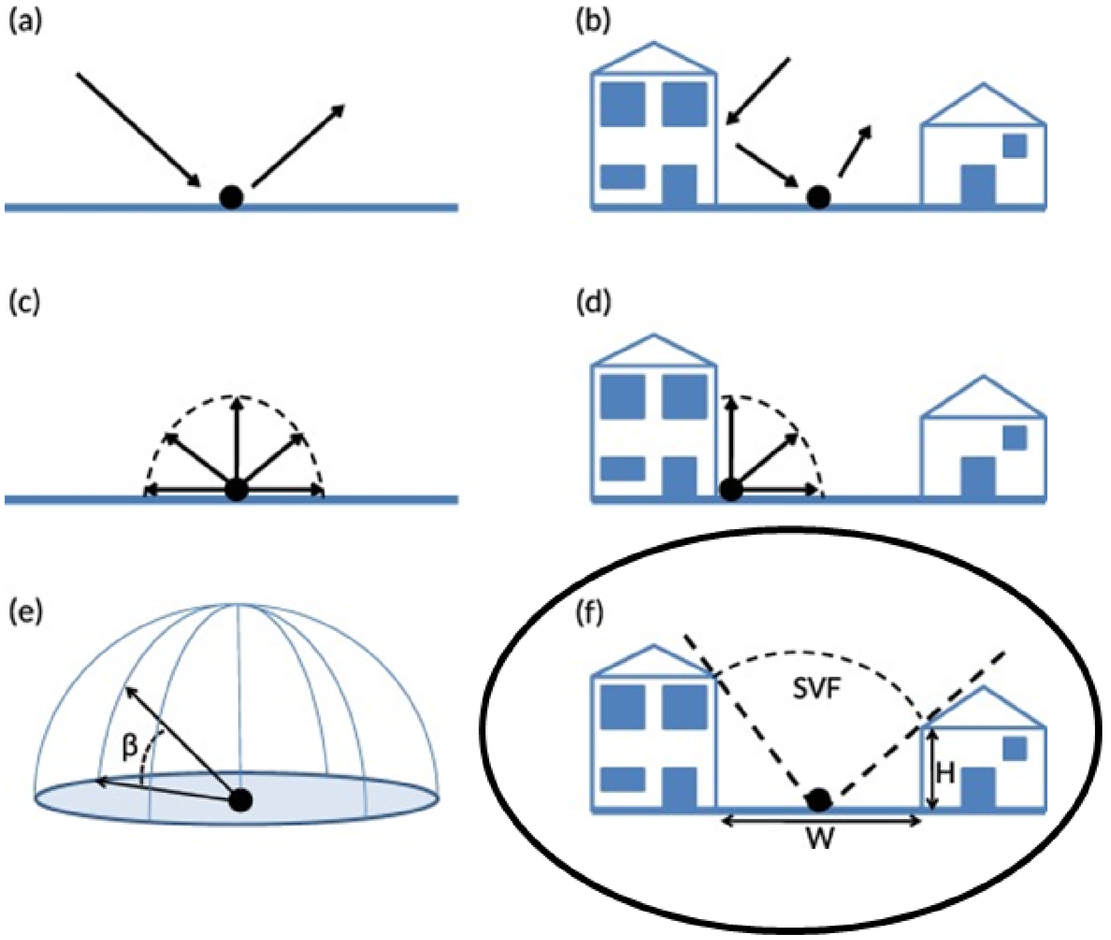
Cumul d'ensoleillement reçu au sol (1er juin-31 août) sur la place Foch

Source : Freio – design climatique

Le facteur de vue du ciel (SVF pour *Sky View Factor* en anglais) est un paramètre déterminant de la morphologie urbaine qui impacte directement **la vitesse de refroidissement du sol et des surfaces pendant la nuit.**

Plus le facteur de vue du ciel d'une rue ou d'une place est faible, plus elle est étroite et se refroidit lentement par rayonnement de grande longueur d'onde vers la voûte céleste. À l'inverse, plus le facteur de vue du ciel est élevé, plus la rue ou la place est large et se refroidit rapidement pendant la nuit.

Ce paramètre détermine donc largement l'effet d'îlot de chaleur urbain et le confort thermique extérieur nocturne.

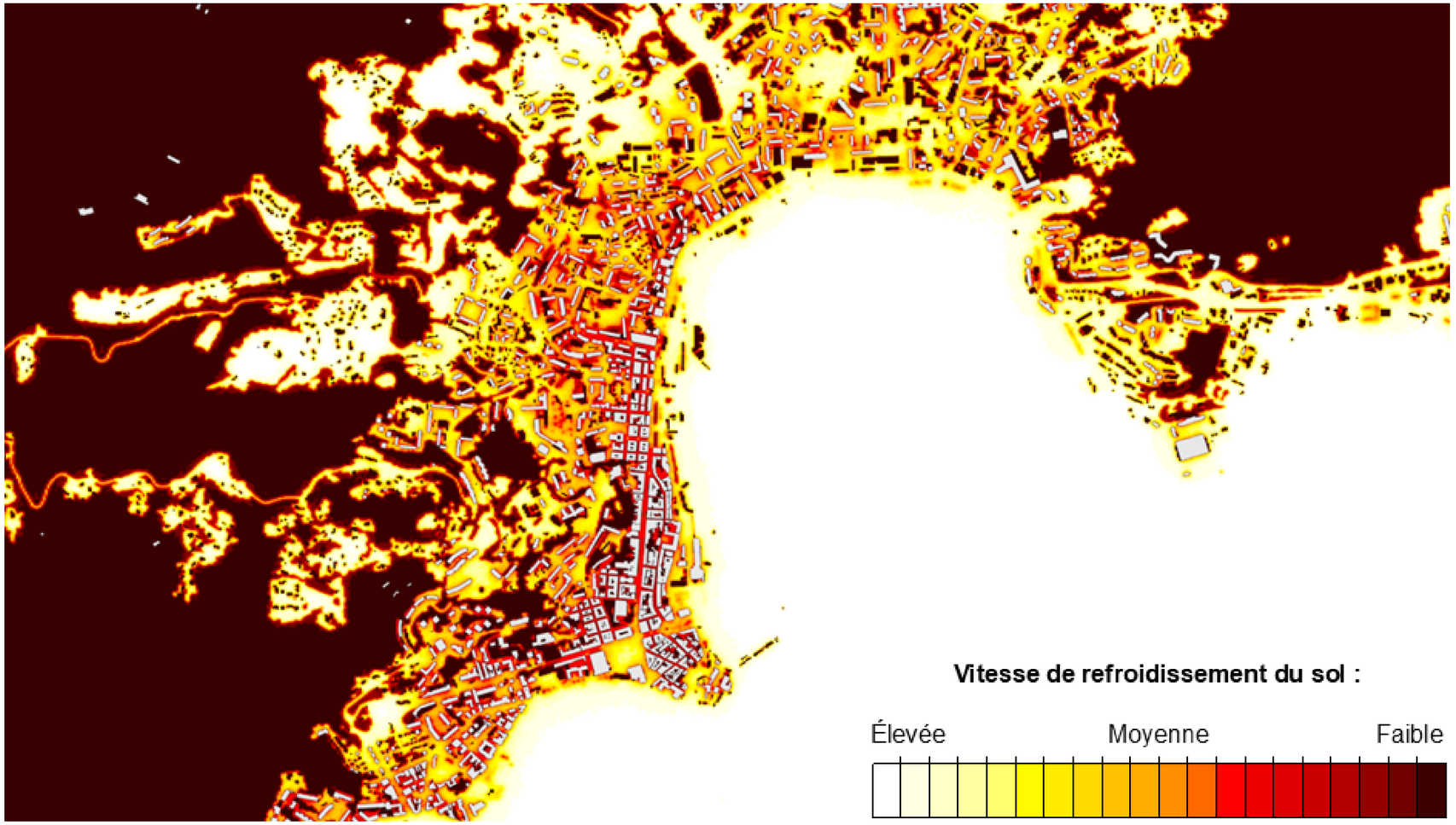


Source : Dirksen *et. al.* (2019)

Cette carte montre la modélisation du facteur de vue du ciel pour le centre d'Ajaccio. **Les zones bordeaux, rouges et oranges présentent le facteur de vue du ciel le plus faible.** Leur vitesse de refroidissement pendant la nuit est donc réduite.

Tous les espaces forestiers ont un facteur de vue du ciel faible : cela explique que la température minimale puisse y être plus élevée que dans une zone plus dégagée.

Les zones jaunes et blanches ont un facteur de vue du ciel plus élevé et se refroidissent plus rapidement en période nocturne.



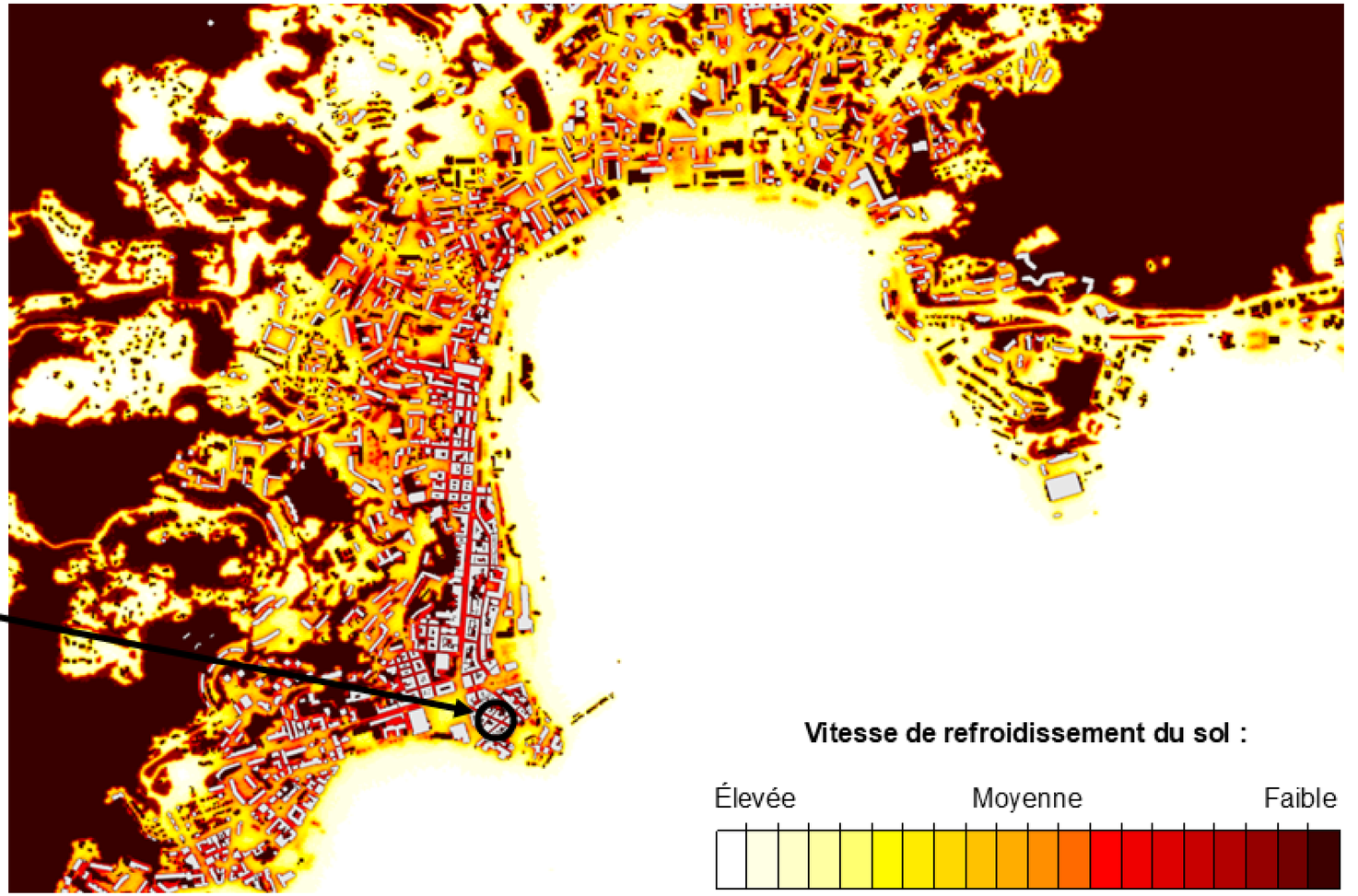
Carte du facteur de vue du ciel pour le centre d'Ajaccio

Source : Freio – design climatique

On peut distinguer la différence de morphologie urbaine entre les îlots du centre historique et les barres construites pendant la période moderne. La forme urbaine plus ancienne présente un facteur de vue du ciel plus faible qui dégrade le confort thermique nocturne.



Rue Saint-Charles



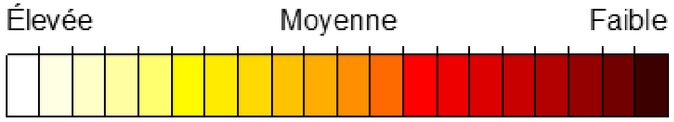
Carte du facteur de vue du ciel pour le centre d'Ajaccio

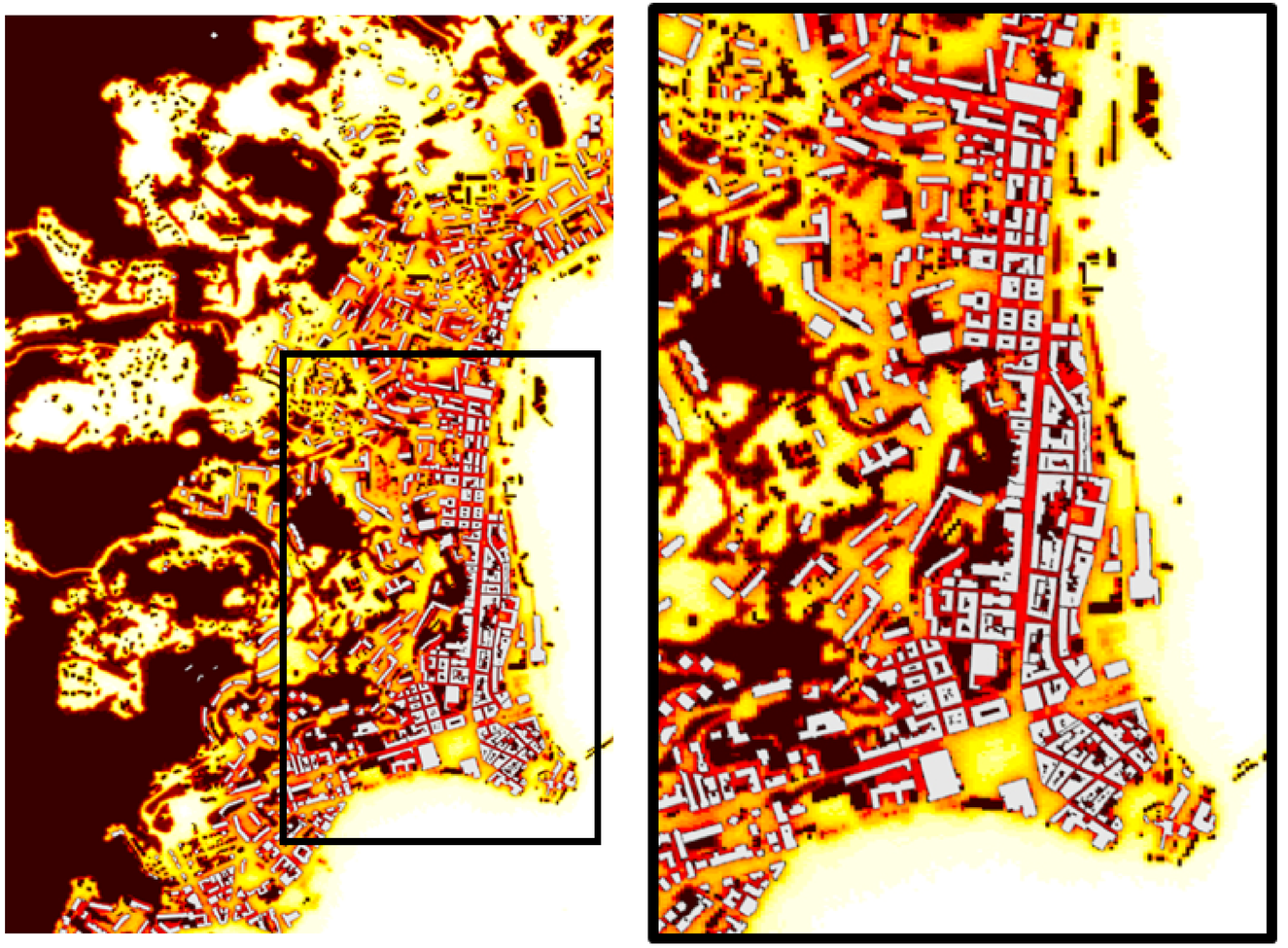
Source : Freio – design climatique

Freio design climatique

Afin de mieux comprendre l'effet du facteur de vue du ciel sur l'inconfort thermique nocturne et la vitesse de refroidissement, **une analyse plus précise a été réalisée pour le secteur du centre ancien.** Elle a permis de réaliser une carte plus précise de cette zone.

Vitesse de refroidissement du sol :

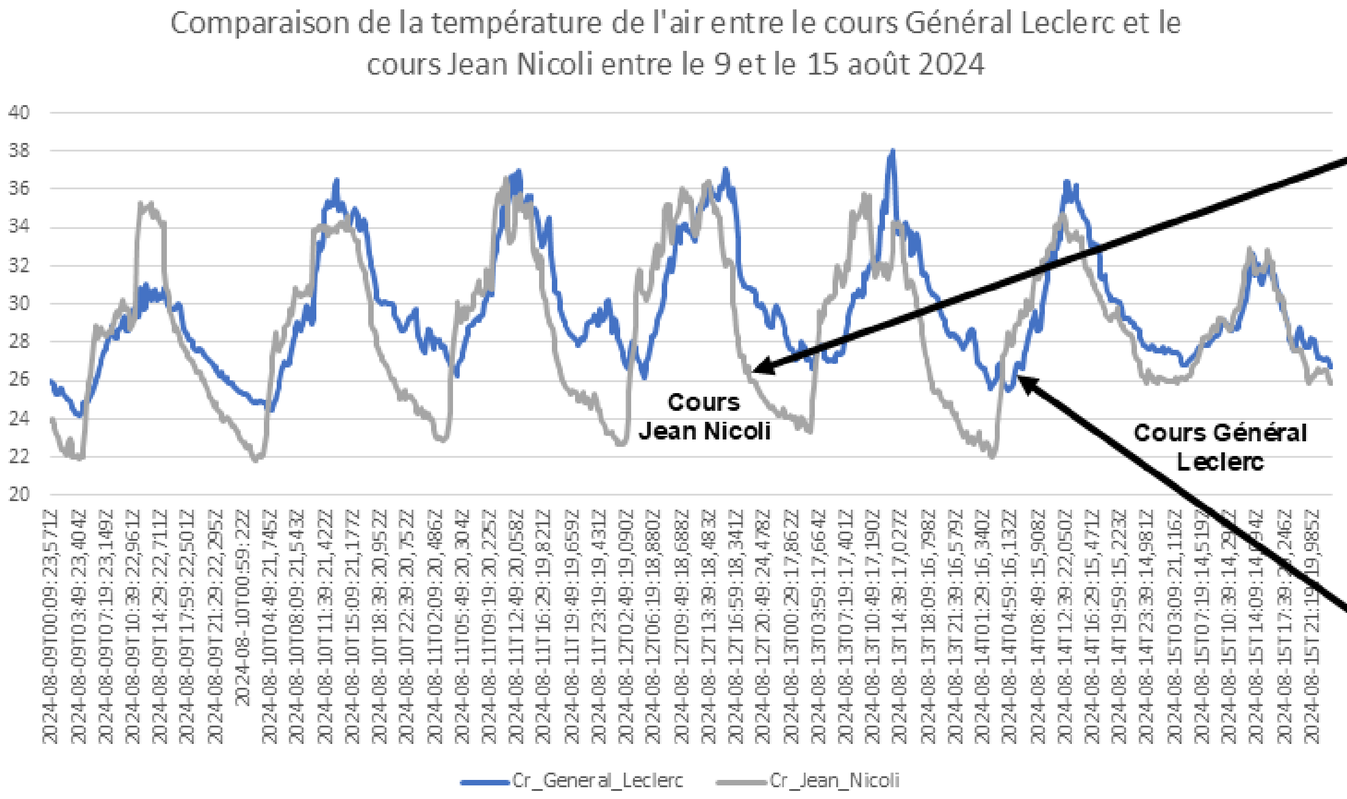


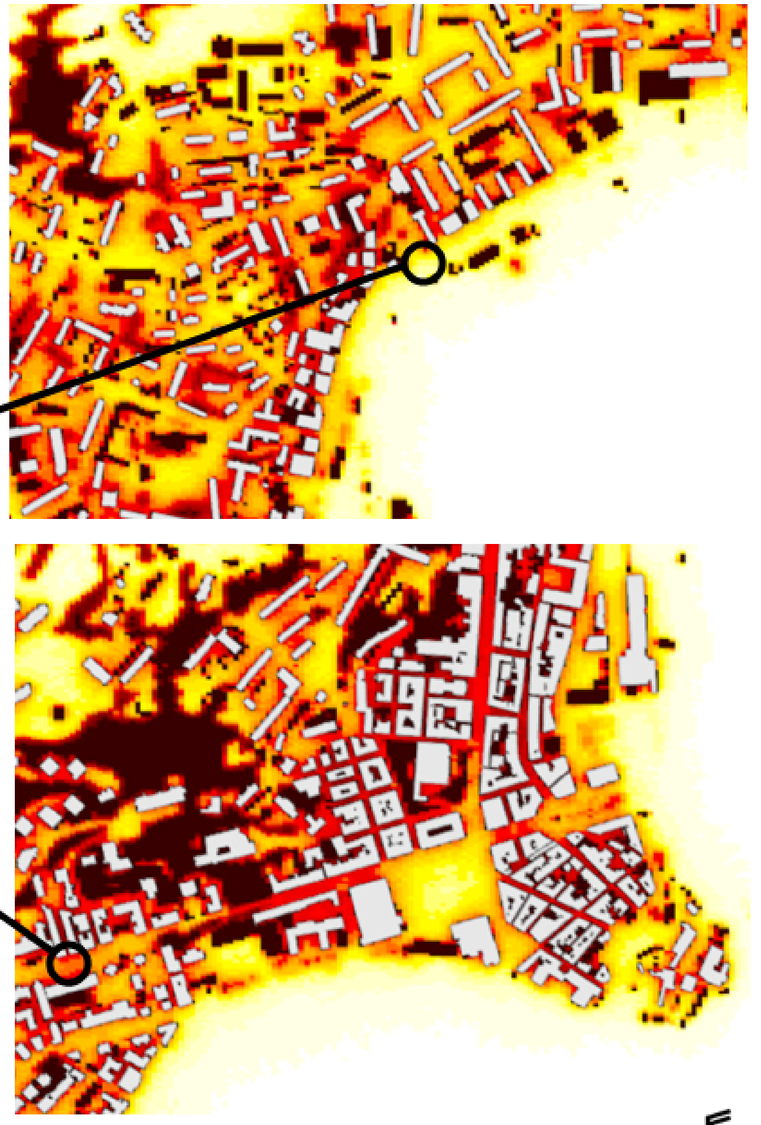


55 Îlot de chaleur et facteur de vue du ciel (SVF)

Source : Freio – design climatique

L'effet du facteur de vue du ciel sur les températures minimales est clairement perceptible quand on compare le cours Général Leclerc et le cours Jean Nicoli. Ce dernier présente des températures nocturnes beaucoup plus faibles, car il **présente une plus grande ouverture au ciel qui améliore le refroidissement par rayonnement de grande longueur d'onde pendant la nuit.**





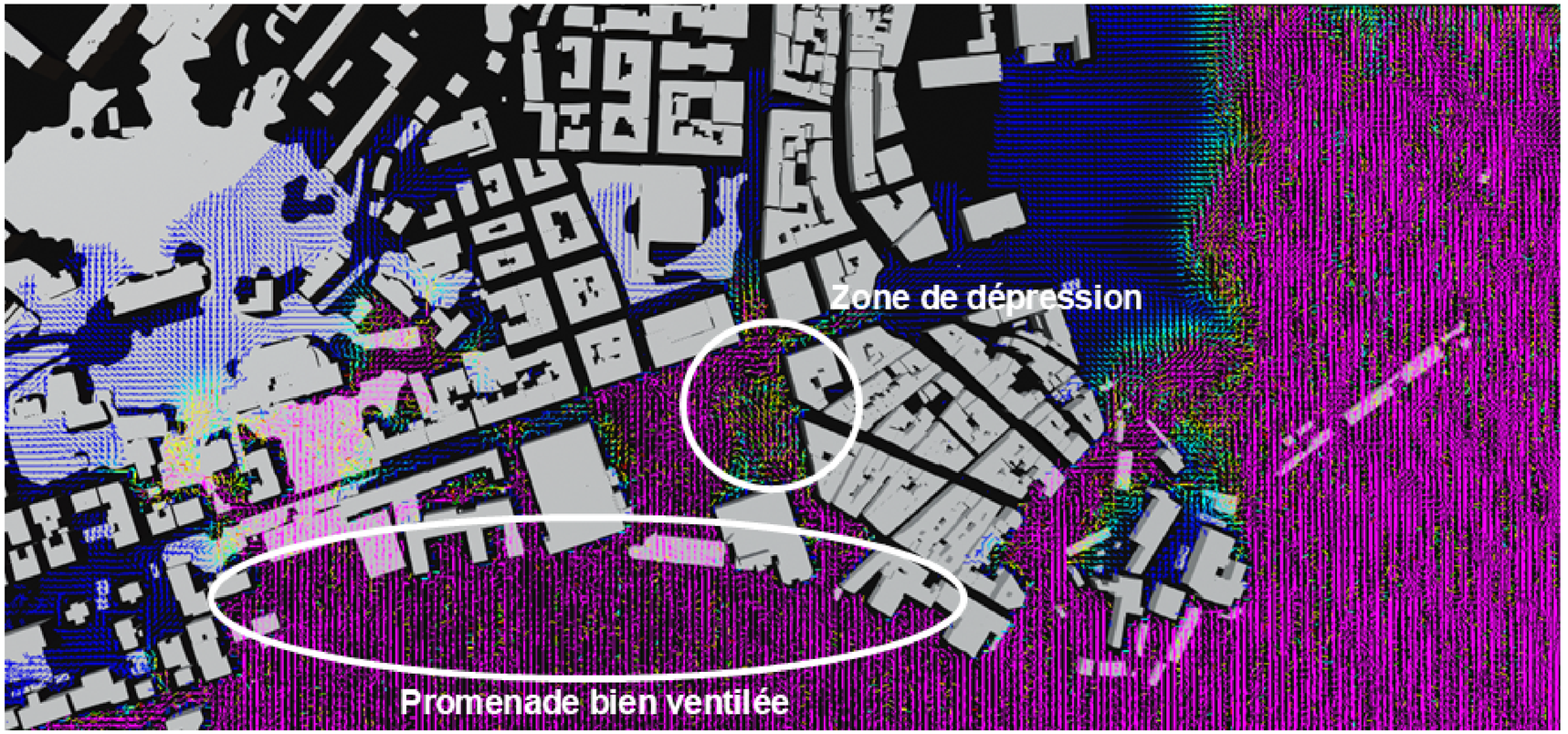
57 Îlot de chaleur et facteur de vue du ciel (SVF)

Source : Freio – design climatique

Cette modélisation aéraulique de la promenade sud permet d'identifier les zones exposées et abritées du vent.

L'ensemble de la promenade sud est bien exposé au vent, ainsi que certaines places ouvertes (place du Diamant).

L'obstacle formé par certains bâtiments génère des zones de dépression sous le vent.



Modélisation aéraulique simplifiée de la promenade sud

 Modélisation aéraulique de la promenade sud

Source : Freio – design climatique

STRATÉGIE





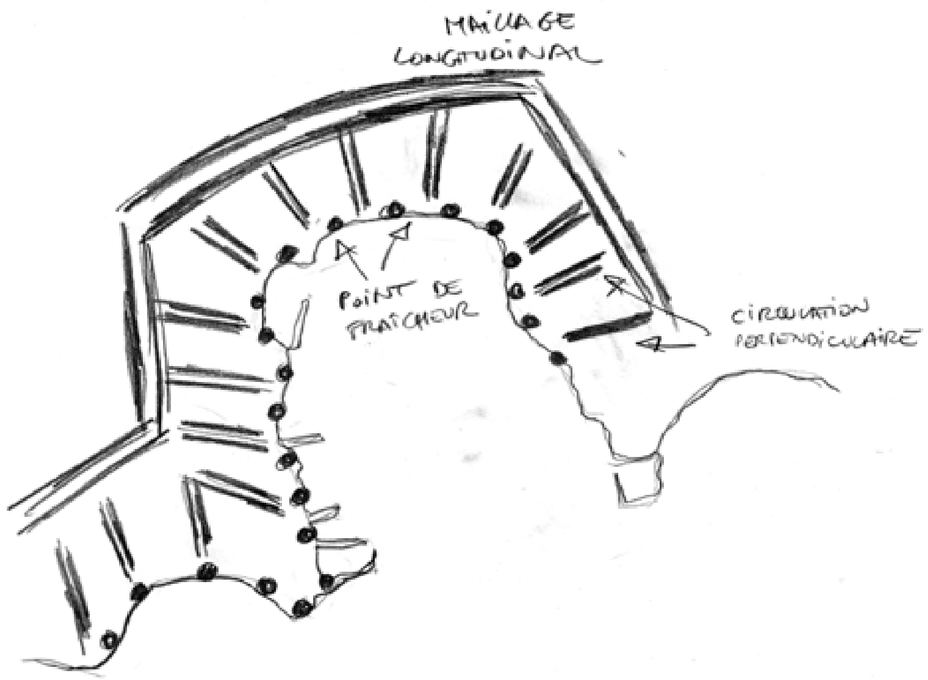
Rayon de 250 m autour d'un parc ou d'un jardin public

5 Parcs et jardins publics accessibles en centre-ville

Source : Freio – design climatique

Freio
design climatique

STRATÉGIE





5 Parcs et jardins publics accessibles en centre-ville

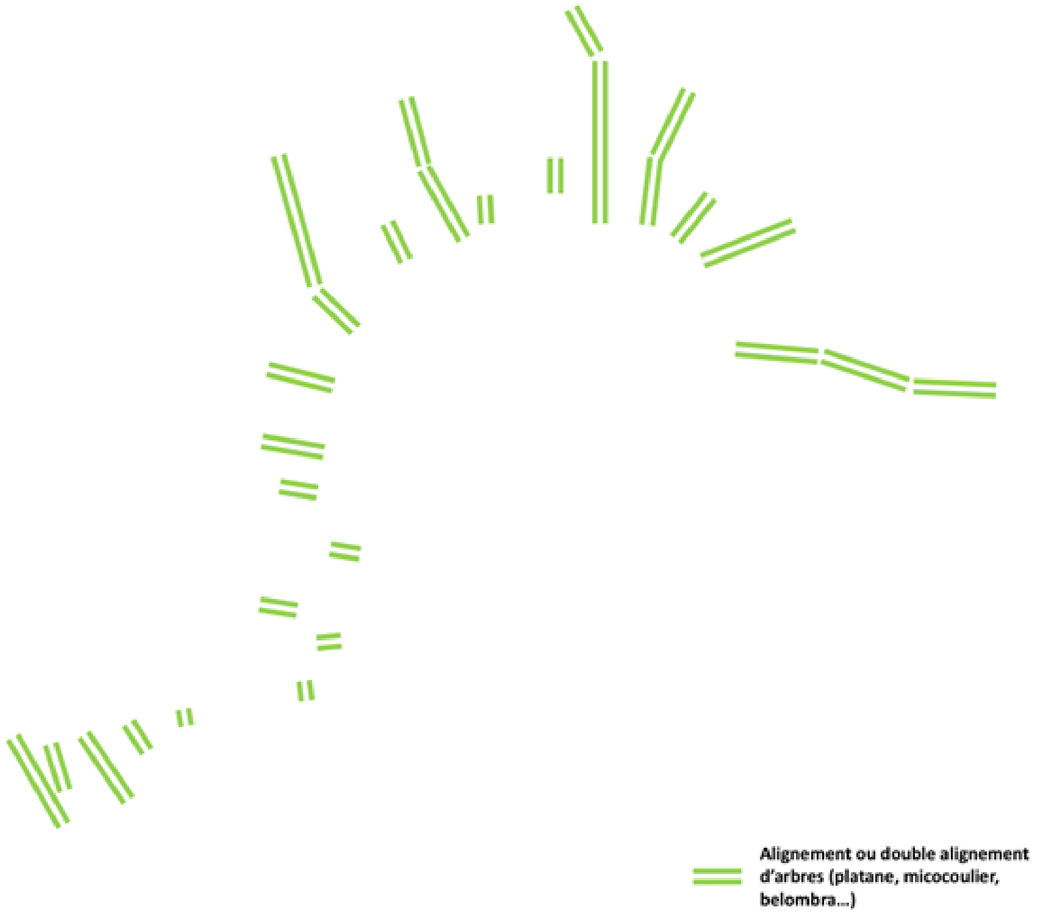
Source : Freio – design climatique

Freio
design climatique

En plus des sites sélectionnés, la stratégie de rafraîchissement proposée pour Ajaccio devrait suivre quatre axes complémentaires qui dépendent de temporalités différentes :

- **Planter des arbres sur les axes en direction de la mer**
- **Ombrager les liaisons entre ces axes arborés**
- **Développer et valoriser le réseau des parcs**
- **Multiplier les zones d'ombrage le long du littoral**

Le but de cette stratégie est de valoriser le point de fraîcheur existant d'Ajaccio : le littoral et la mer adjacente. Cette zone permet de profiter d'un rafraîchissement direct (baignade) et des brises en journée.



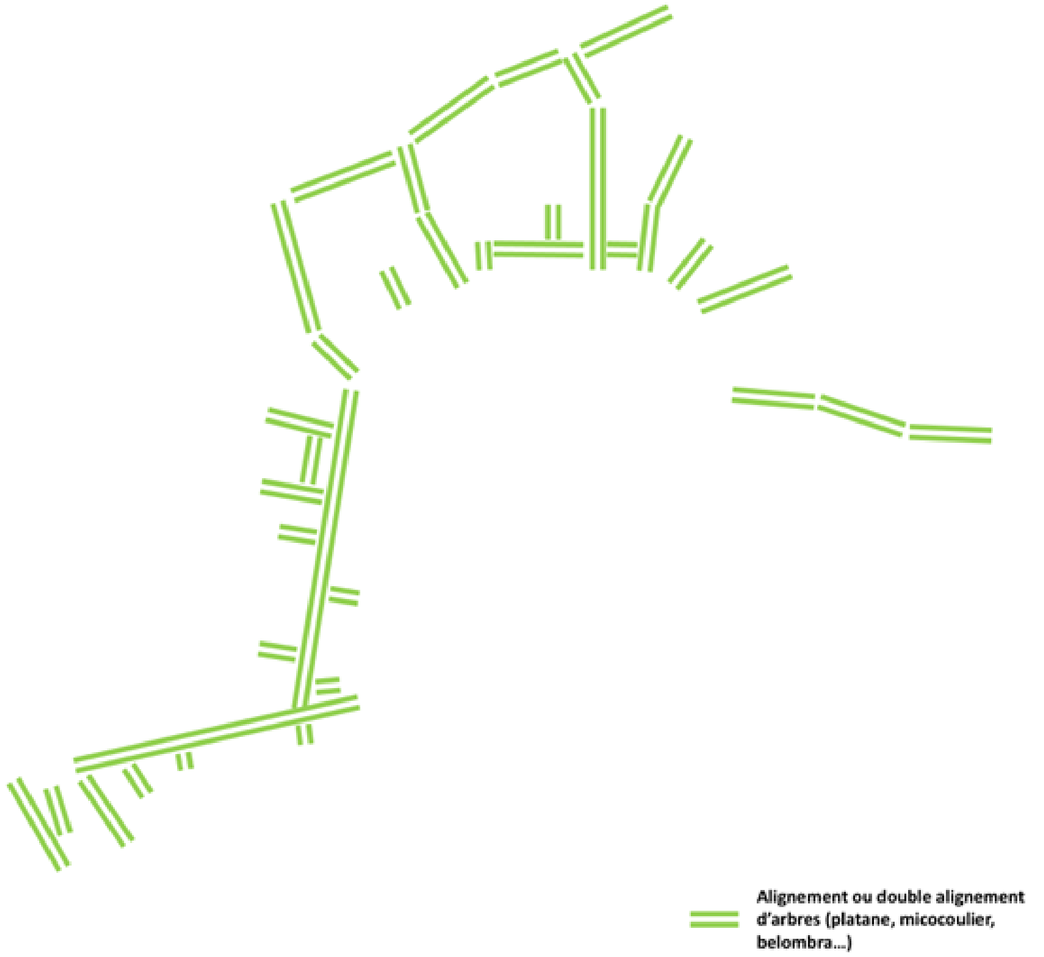
Axes arborés en direction de la mer

7 Planter des arbres sur les axes en direction de la mer

Source : Freio – design climatique

Afin de renforcer l'utilisation de ces axes plantés et ombragés en direction de la mer, les liaisons entre ces artères doivent être renforcées, en fonction des largeurs de voies disponibles.

Le but de ce réseau de rues arborées est d'offrir des options multiples aux piétons pour circuler à l'ombre.



Liaisons arborées entre les axes ombragés

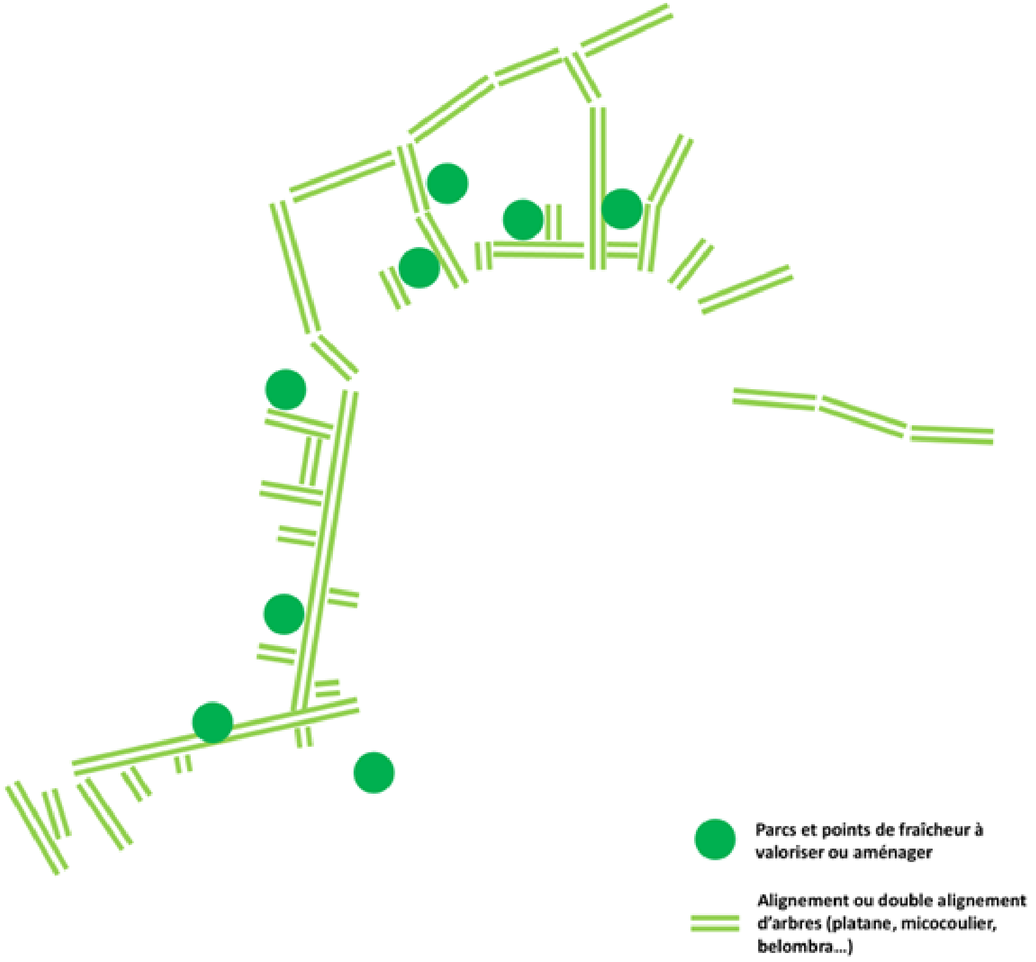
8 Ombrager les liaisons entre ces axes arborés

Source : Freio – design climatique

Le troisième point consiste à multiplier les parcs, squares et points de fraîcheur. Ajaccio dispose déjà de quelques parcs, **mais certains sont inaccessibles ou mal aménagés** et pourraient être valorisés. Par exemple, **le site des jardins de la Collectivité de Corse est un parc abondamment arboré qui n'est pas ouvert au public.** Pourtant, sa situation et sa qualité pourraient largement bénéficier au plus grand nombre. D'autres sites seraient également à valoriser comme parc : c'est le cas des **douves de la citadelle** qui pourraient être facilement ombragées par des filets suspendus aux remparts et recouverts de plantes grimpantes.



Un exemple de parc à valoriser : les jardins de la Collectivité de Corse



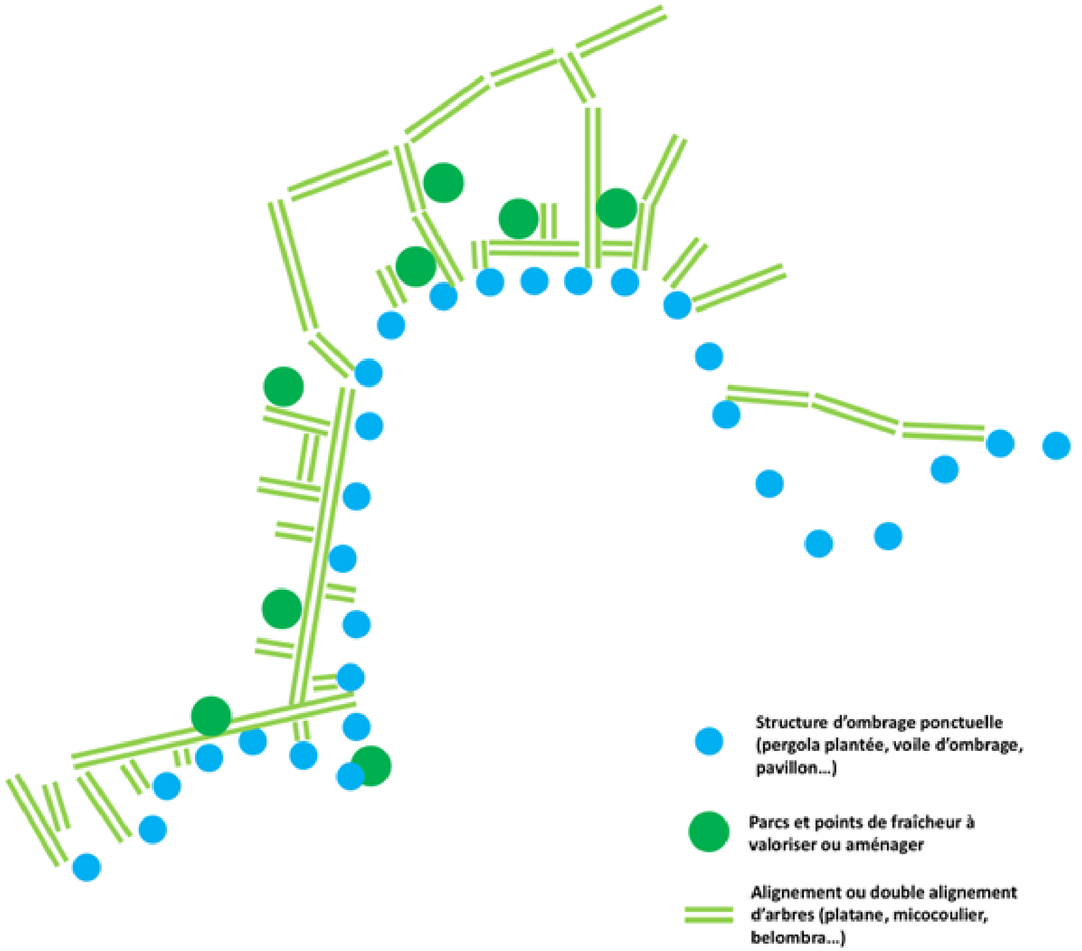
Réseaux de parcs et points de fraîcheur

Source : Freio – design climatique

9 Développer et valoriser le réseau des parcs

Enfin, le dernier point consiste à **multiplier les structures d'ombrage permanentes ou temporaires le long du littoral** (pergola, ombrière, etc.), afin de maximiser l'offre d'ombrage dans cette zone propice au rafraîchissement sous l'effet du vent et de la mer. Tous ces éléments d'ombrage formeraient comme **un « collier de perle » le long du littoral.**

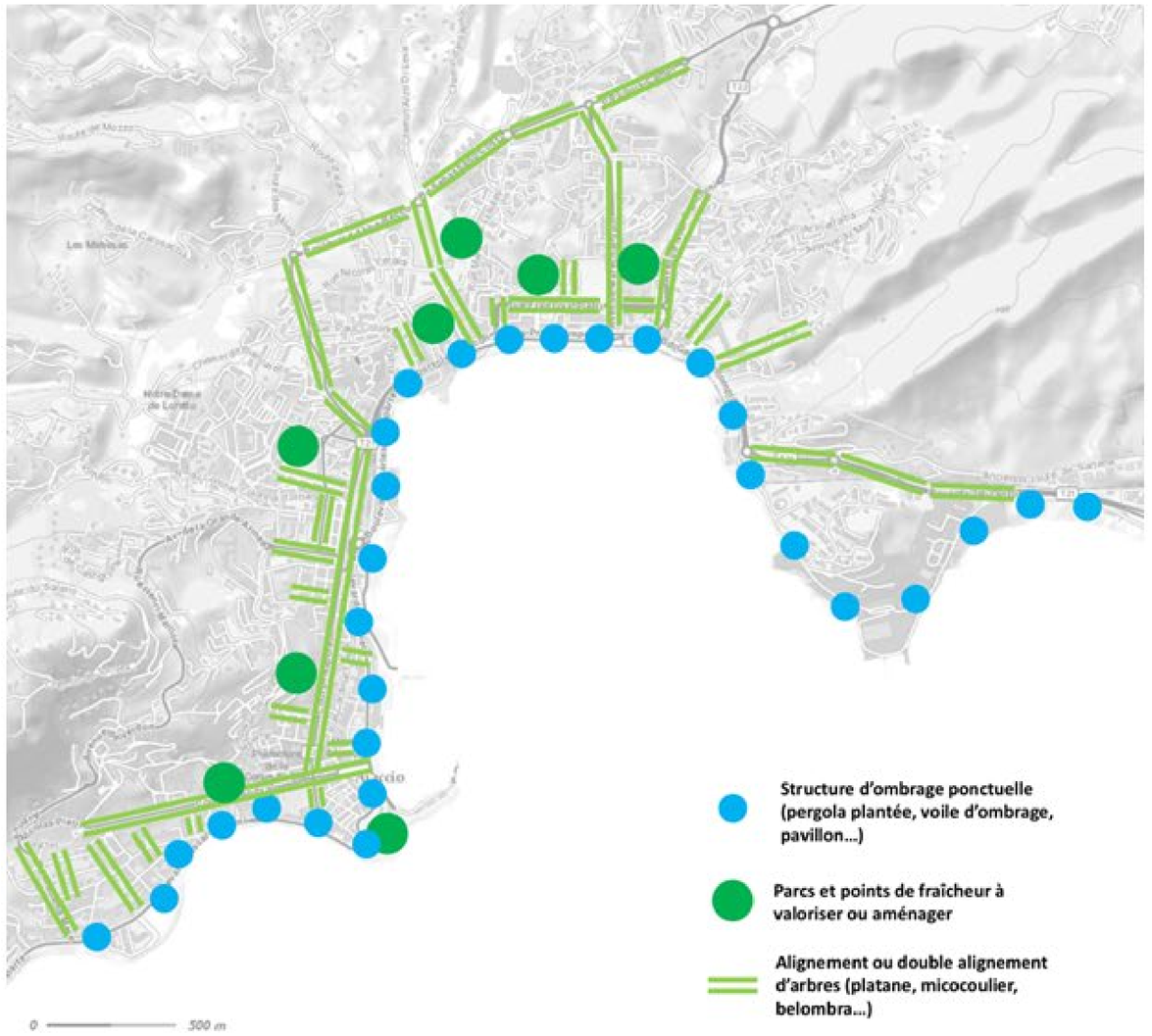
Plusieurs types de structures d'ombrage ont été proposés dans la suite des préconisations. Leur esthétique devra être particulièrement étudiée, afin de s'intégrer au paysage littoral ajaccien. Une inspiration pourrait être de reprendre la silhouette des tours génoises qui structurent le paysage littoral corse.



Structures d'ombrage ponctuelles
« Collier de perles » le long du littoral

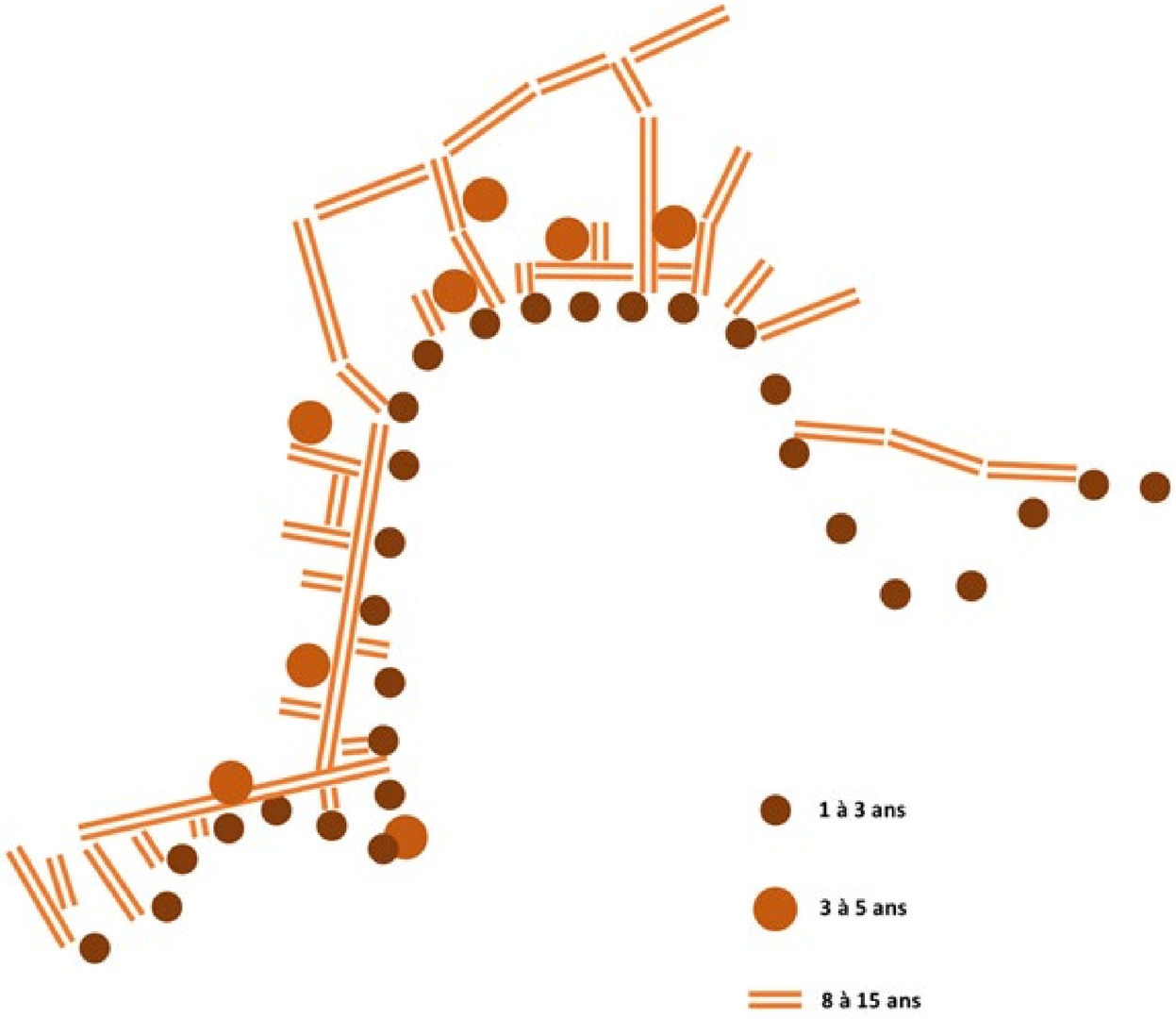
Source : Freio – design climatique

Cette stratégie globale de rafraîchissement reste à moduler en fonction des contraintes spécifiques à chaque site. Elle vise à renforcer le rôle du littoral comme « attracteur » et point-clé en termes de rafraîchissement.



Stratégie globale

Source : Freio – design climatique



Temporalité de développement



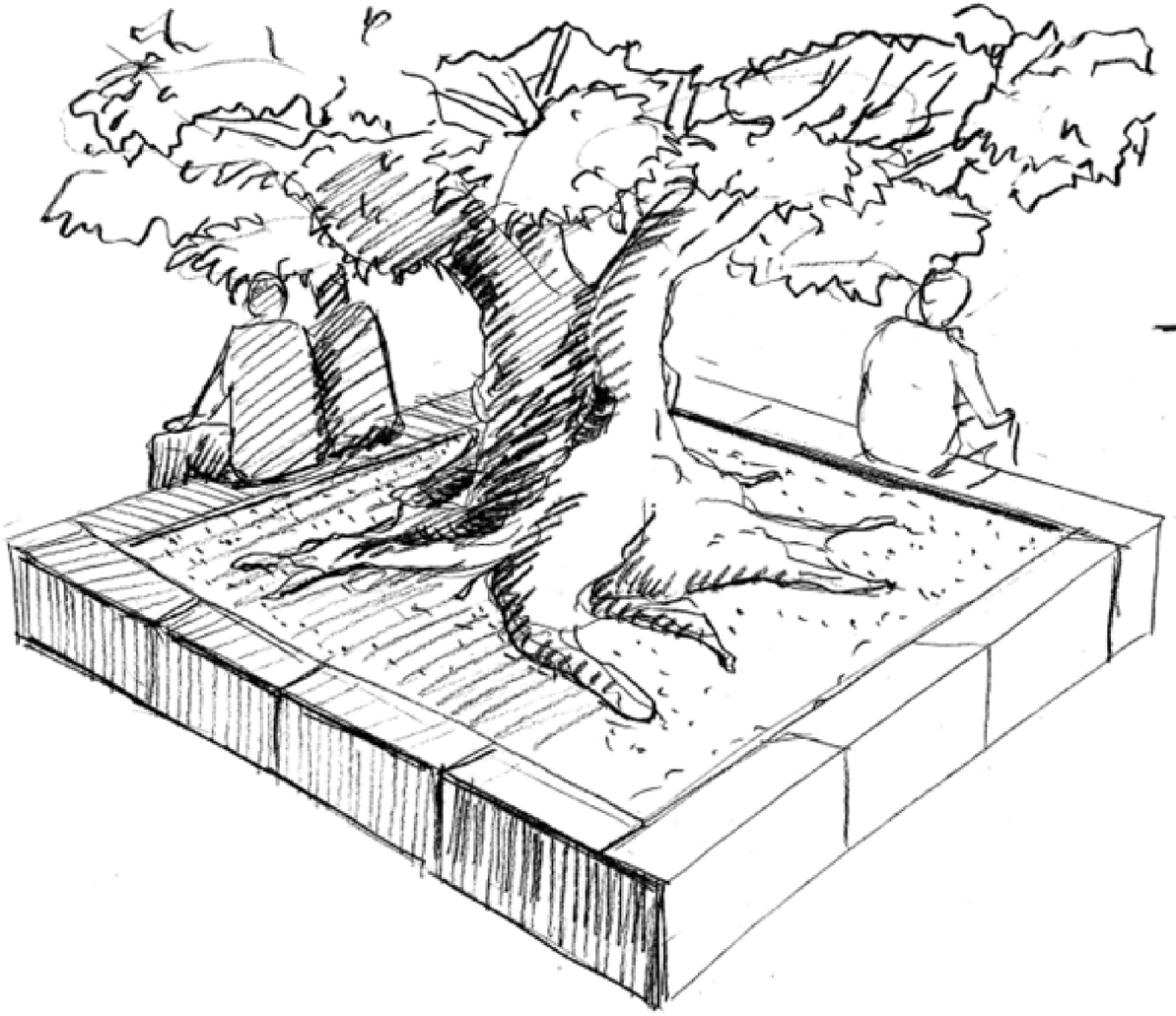
Belombra (*Phytolacca dioica*) dans le parc de Montjuïc à Barcelone

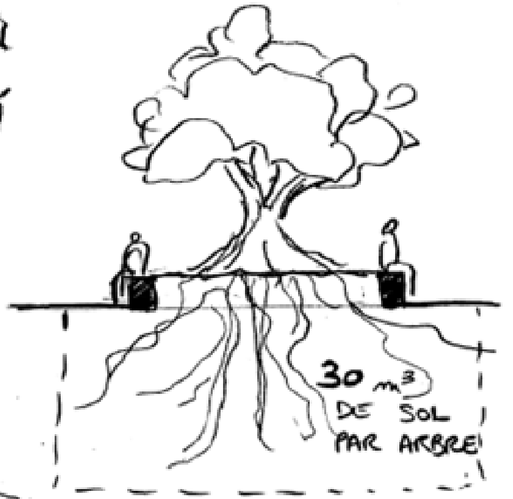


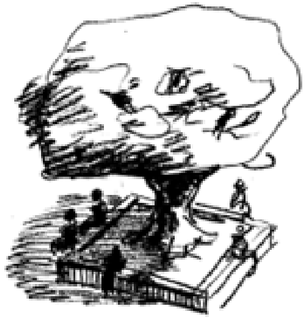
Détail du tronc du belombra (*Phytolacca dioica*) du jardin des plantes de Montpellier



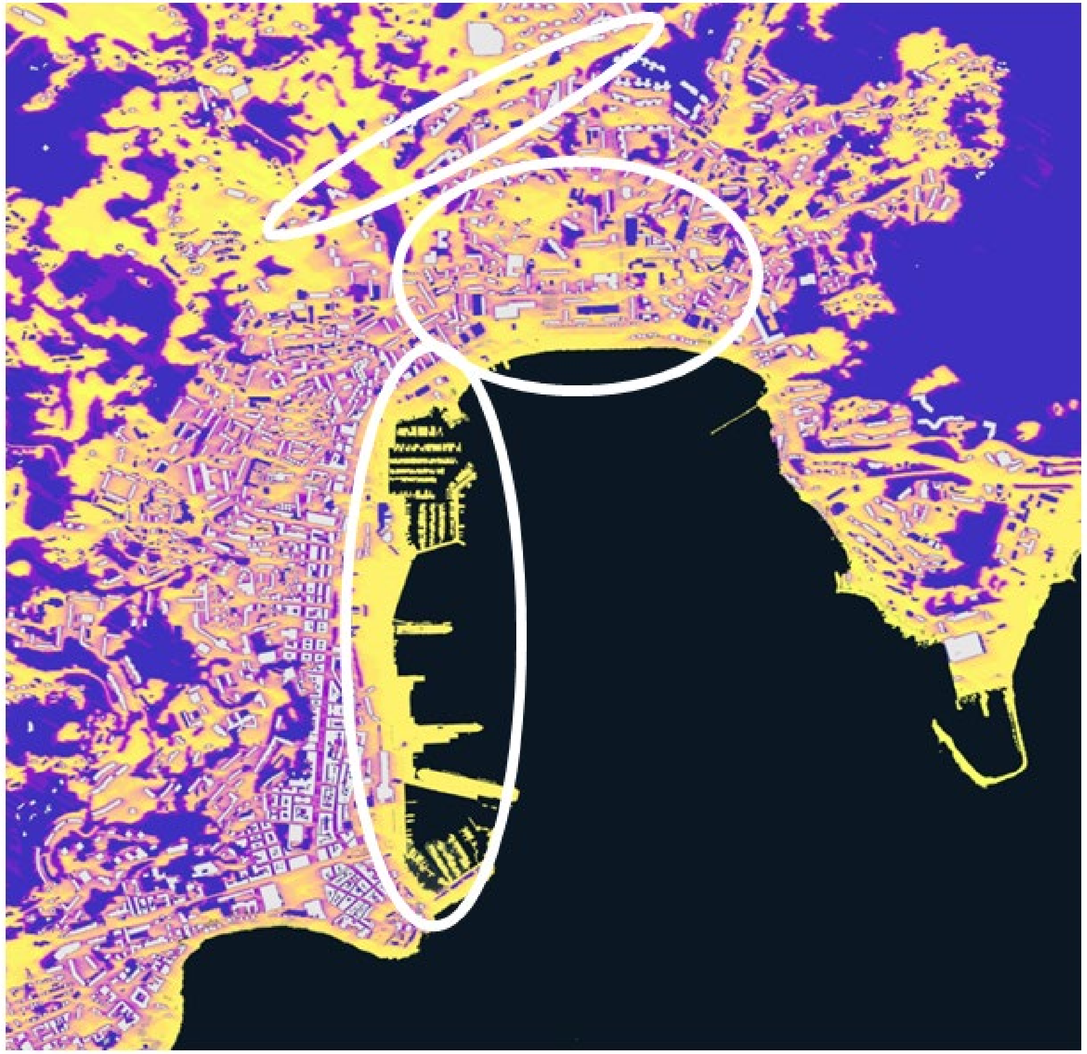




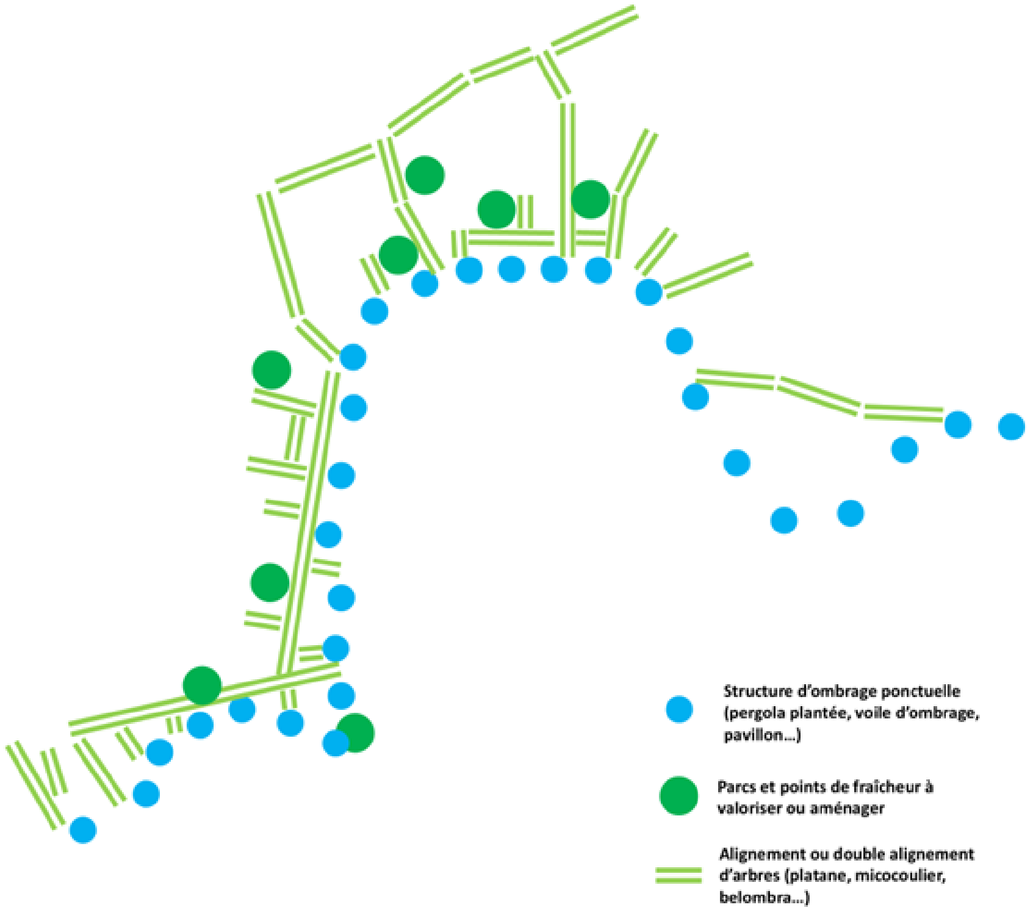

30 m³
DE SOL
PAR ARBRE!



PROJETS



Carte du cumul d'ensoleillement reçu au sol pour le 21 juin à Ajaccio



Structures d'ombrage ponctuelles
« Collier de perles » le long du littoral



Rue assez bien ombragée en journée
(sauf vers midi)



Faible facteur de vue du ciel
(moindre refroidissement nocturne)



Illustration des toiles déployées en journée dans la rue Fesch



Photo ancienne de la rue Sierpes, à Séville, en 1920


IMPERIAL STAND


CASA CALVILLO
1932-1982
Julia

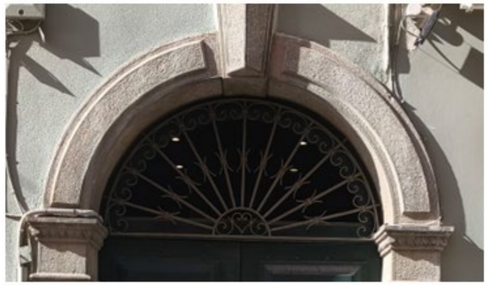




JOUR (Toiles déployées)



NUIT (Toiles repliées)

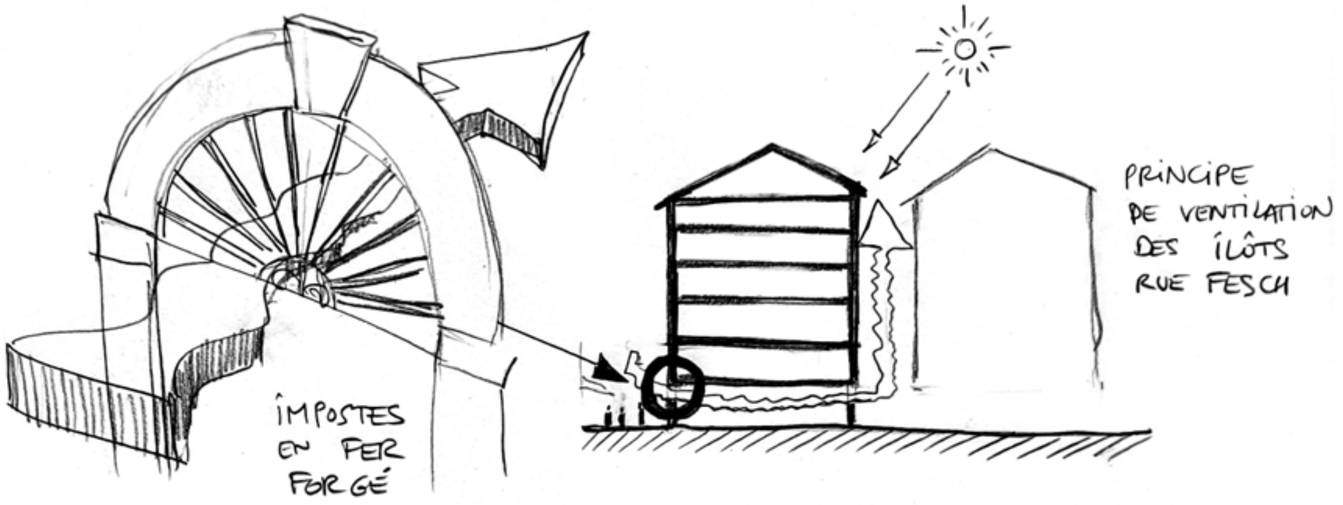








Exemples d'impostes en fer forgé utiles pour la ventilation des îlots et des cours intérieures des immeubles de la rue Fesch

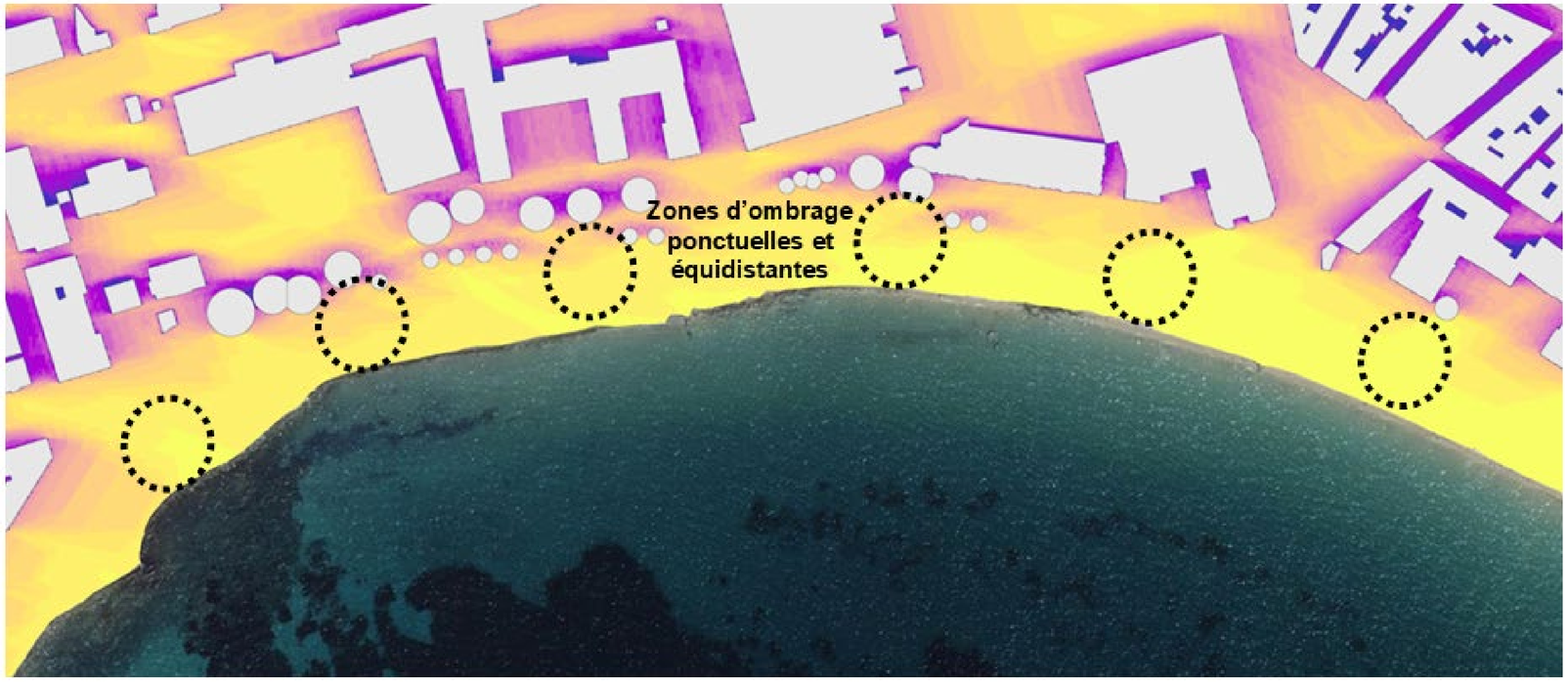












Cumul d'ensoleillement important le long du boulevard Pascal Rossini

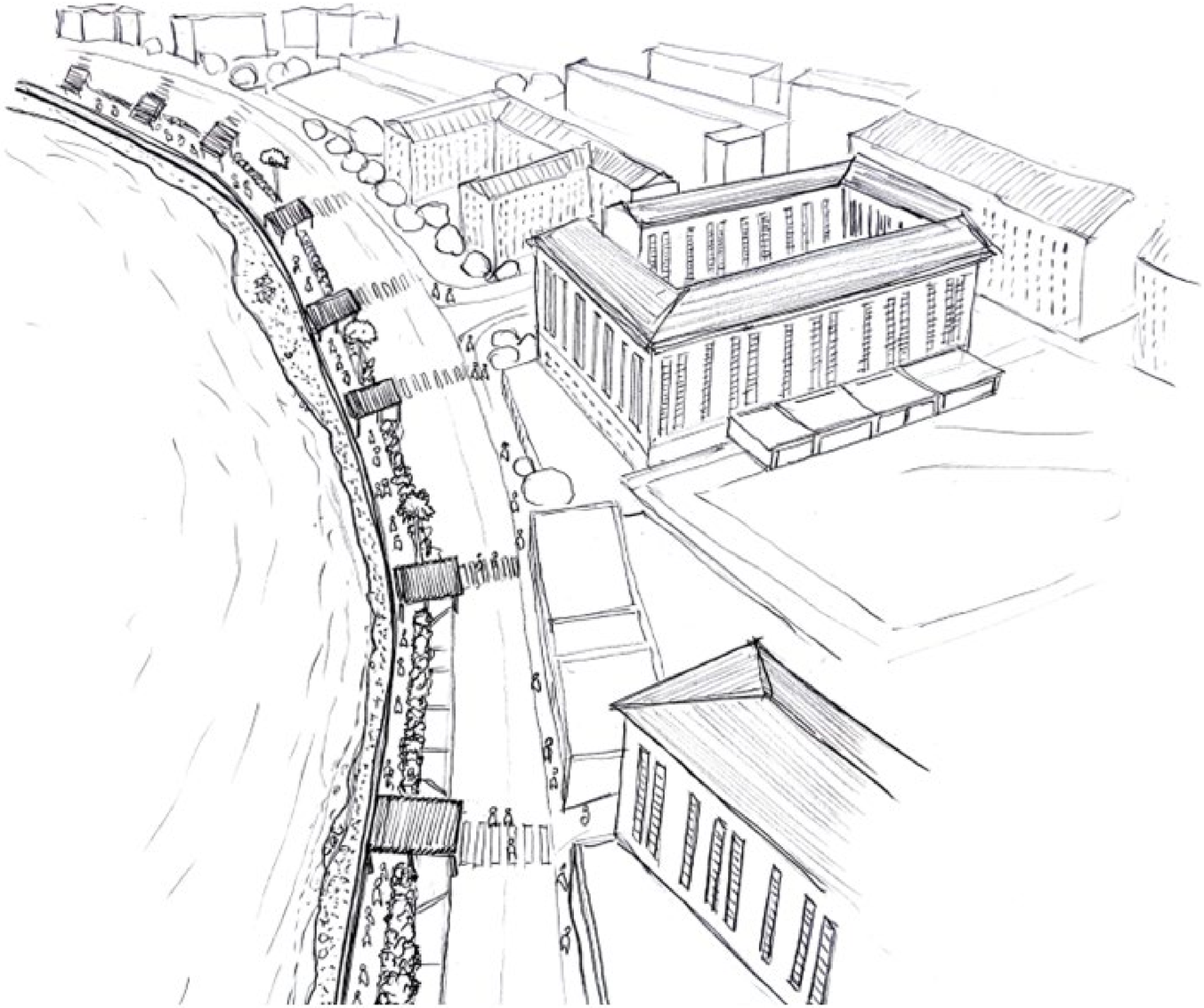
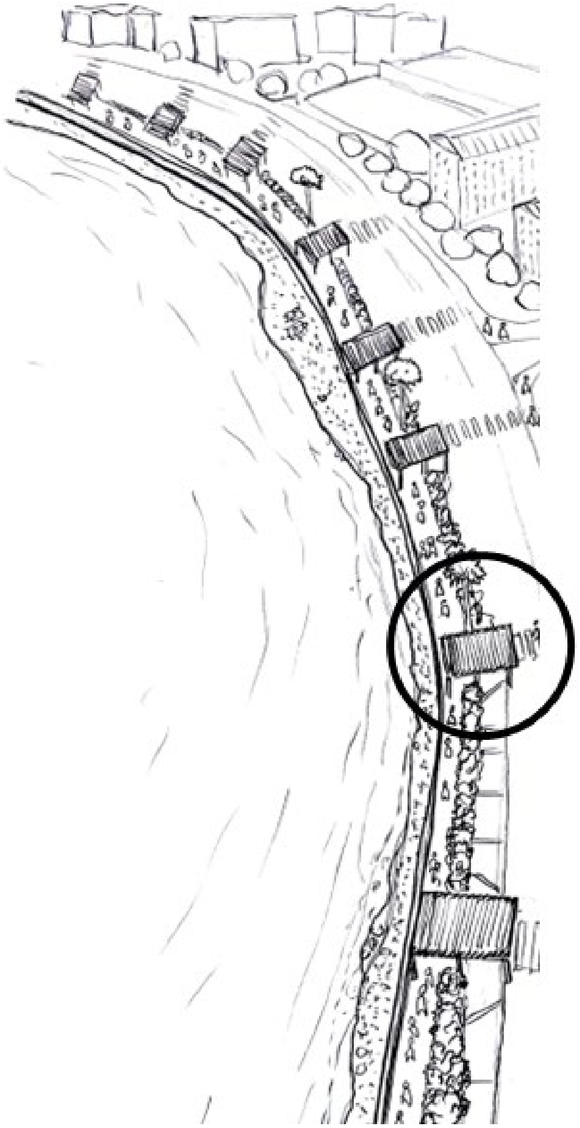


Illustration des structures d'ombrage ponctuelles le long de la promenade



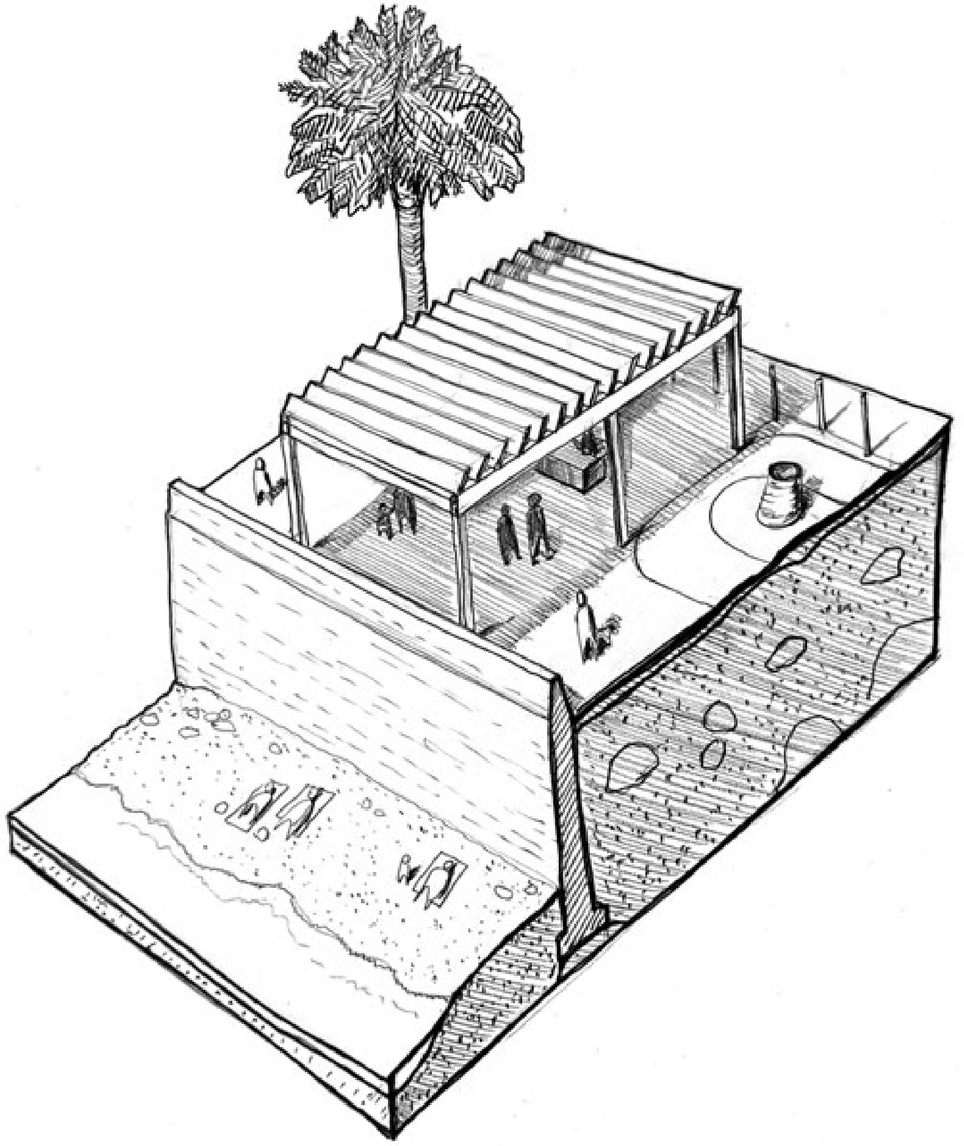
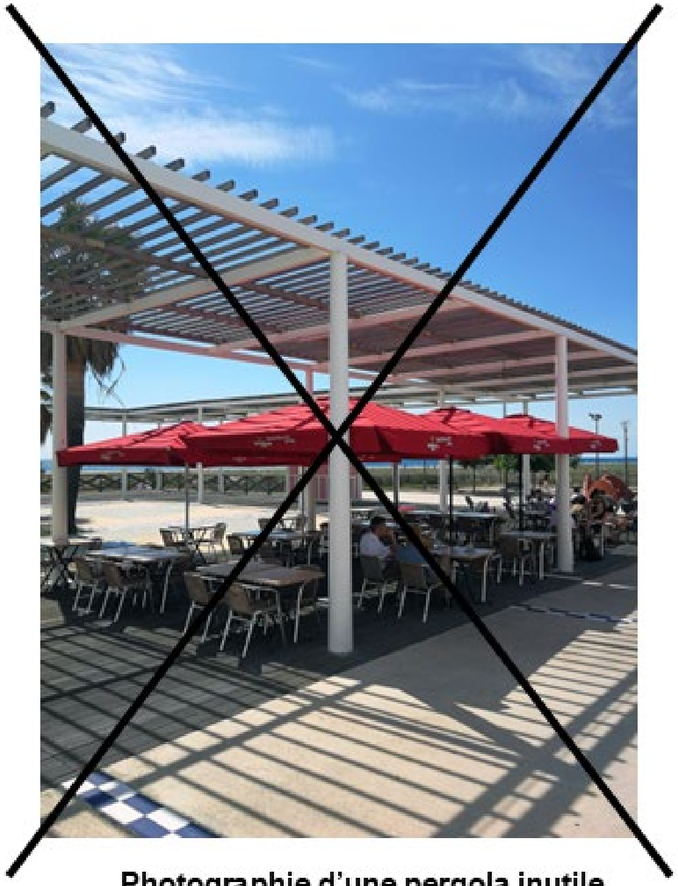
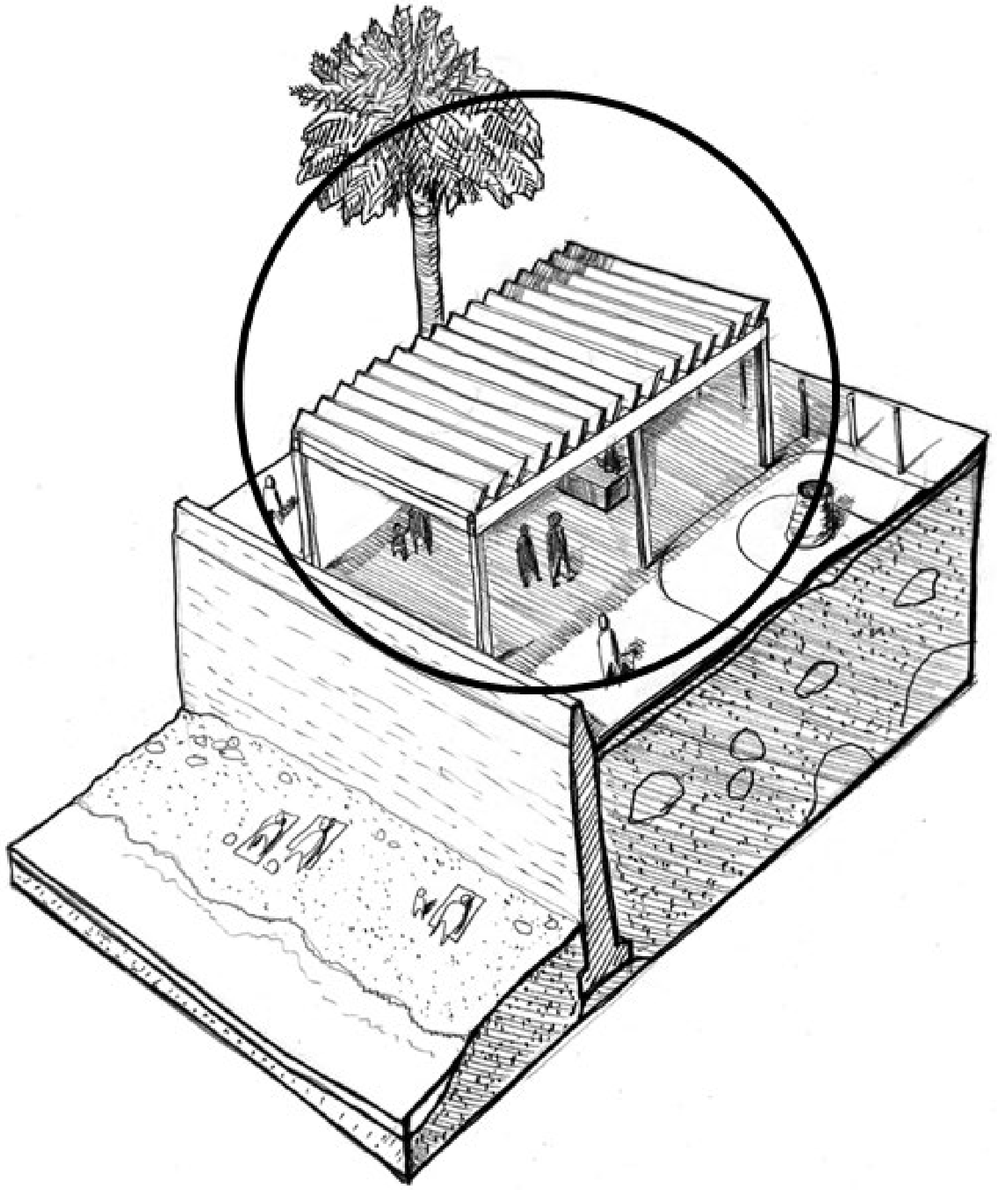


Illustration des structures d’ombrage et de l’assise

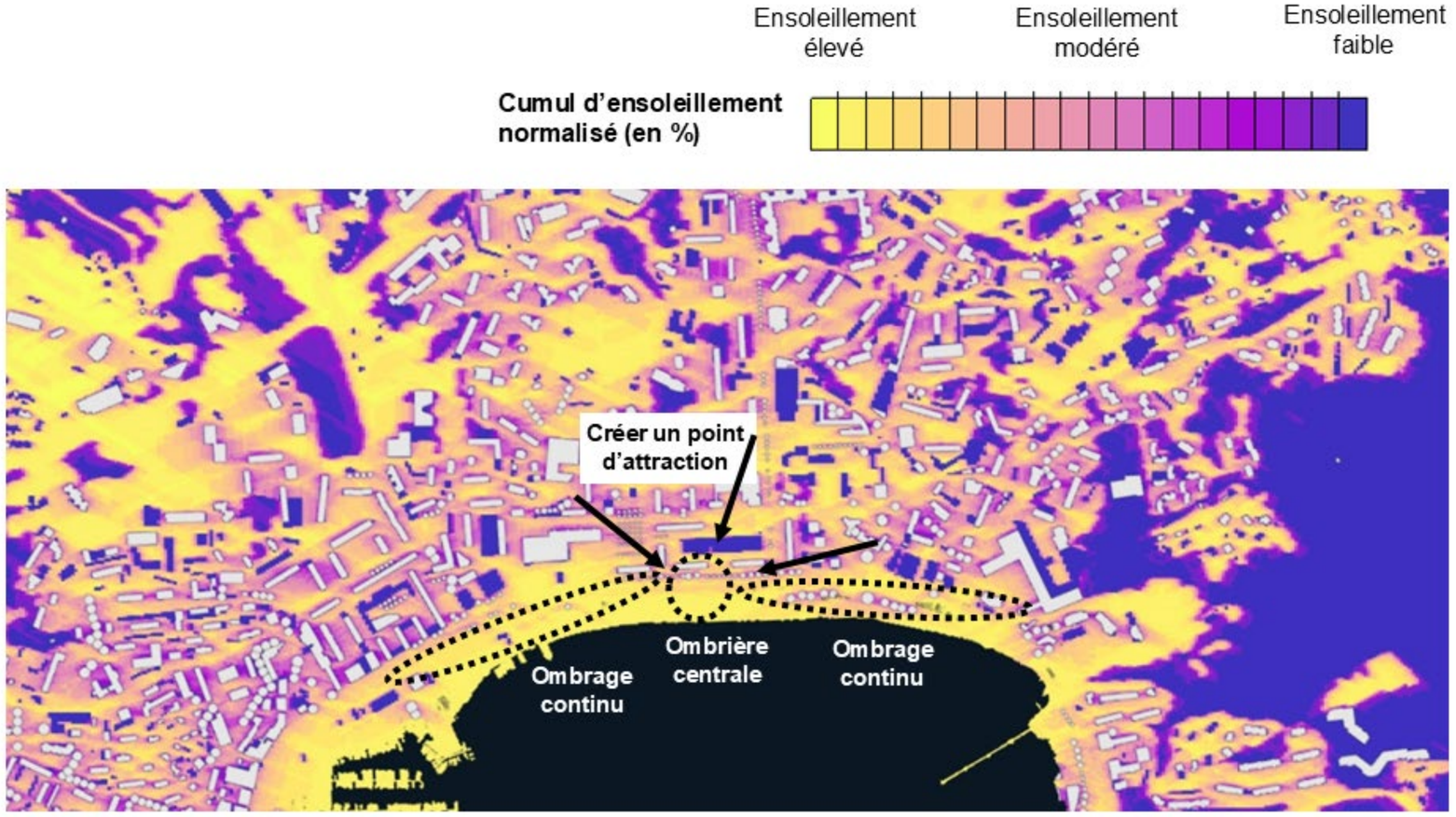


Photographie d’une pergola inutile









Cumuls d'ensoleillement importants le long du boulevard Charles Bonaparte

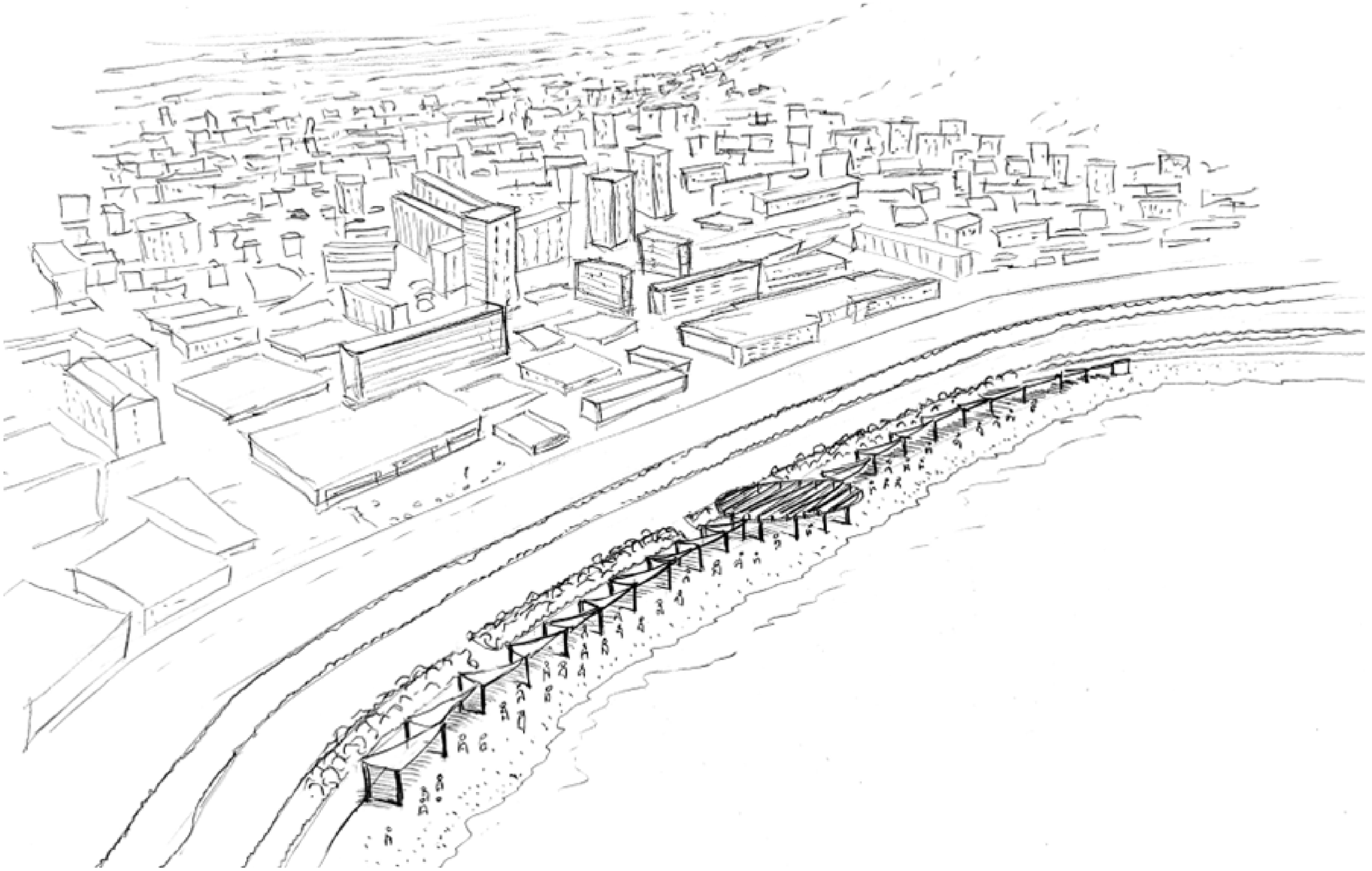
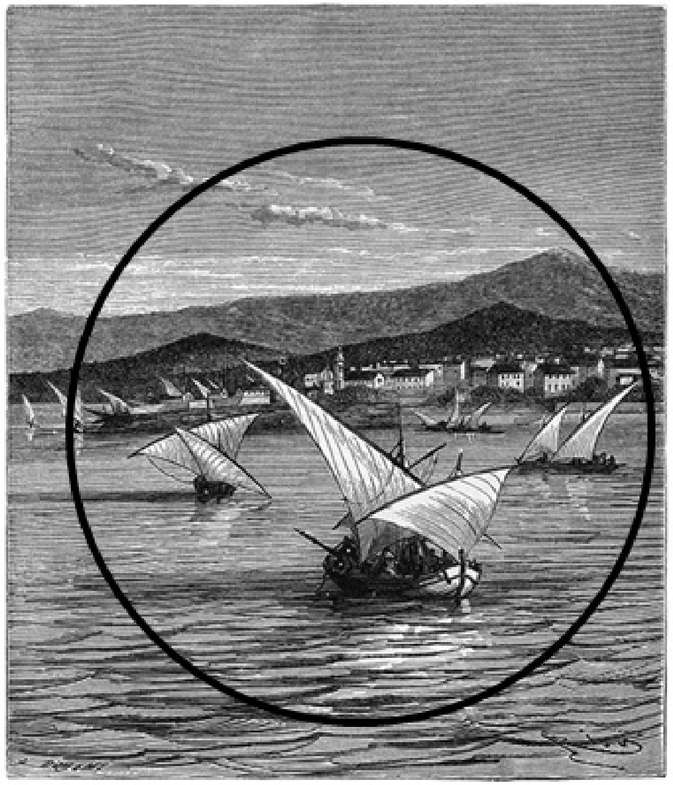


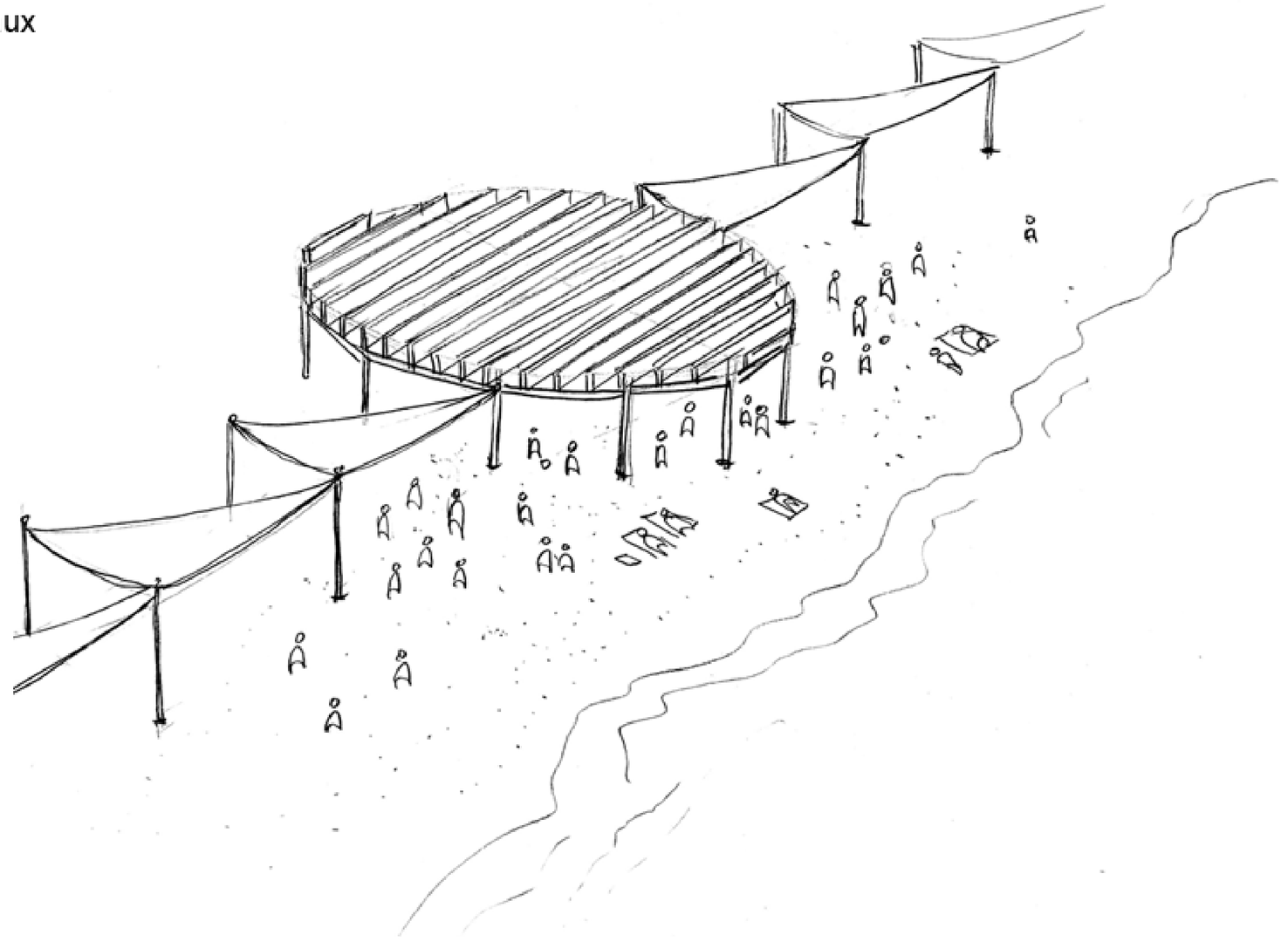
Illustration des structures d'ombrage ponctuelles le long de la promenade

La forme des voiles d'ombrage fait référence aux voiles des bateaux de pêcheurs d'Ajaccio qui existaient auparavant.

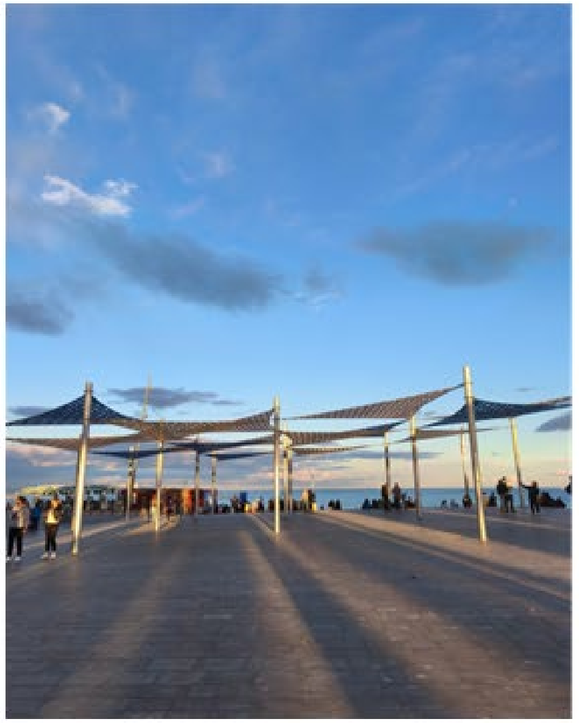


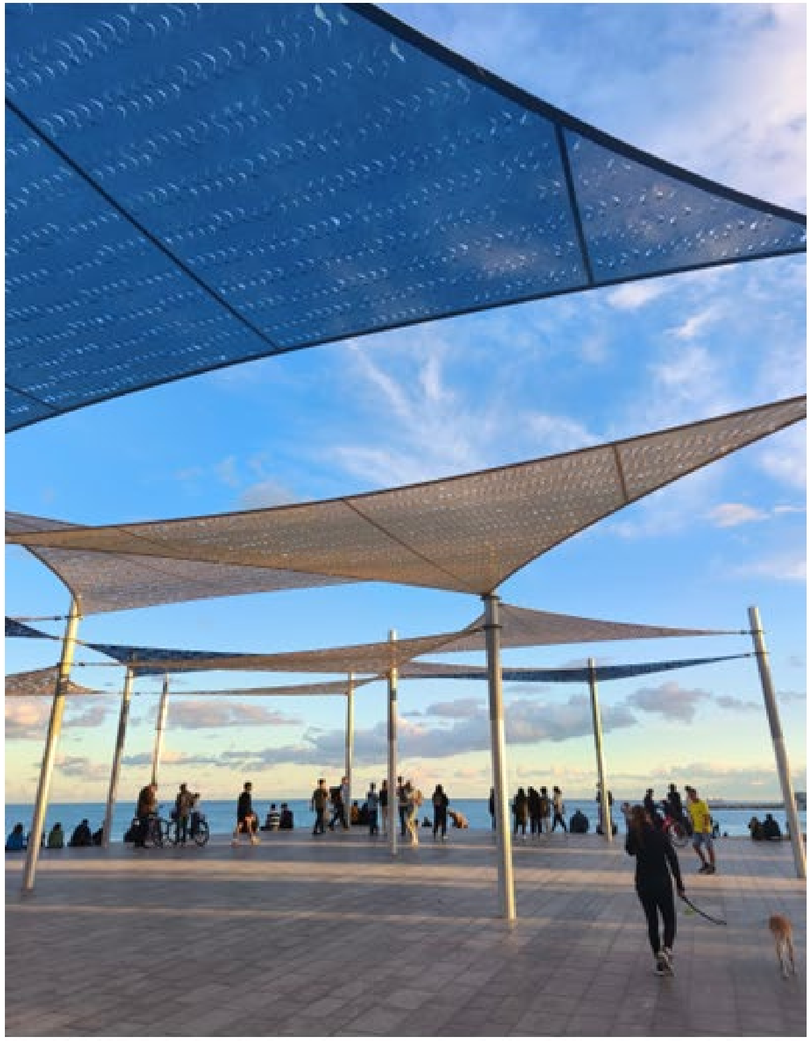
Vue générale d'Ajaccio.

Gravure ancienne des bateaux de pêcheur le long du littoral d'Ajaccio



La structure d'ombrage de la plage de la *Barceloneta* à Barcelone est une référence intéressante pour ce site d'Ajaccio. On peut seulement regretter l'abondante minéralité des revêtements conservés.





Structure d'ombrage sur l'esplanade de la *Barceloneta*

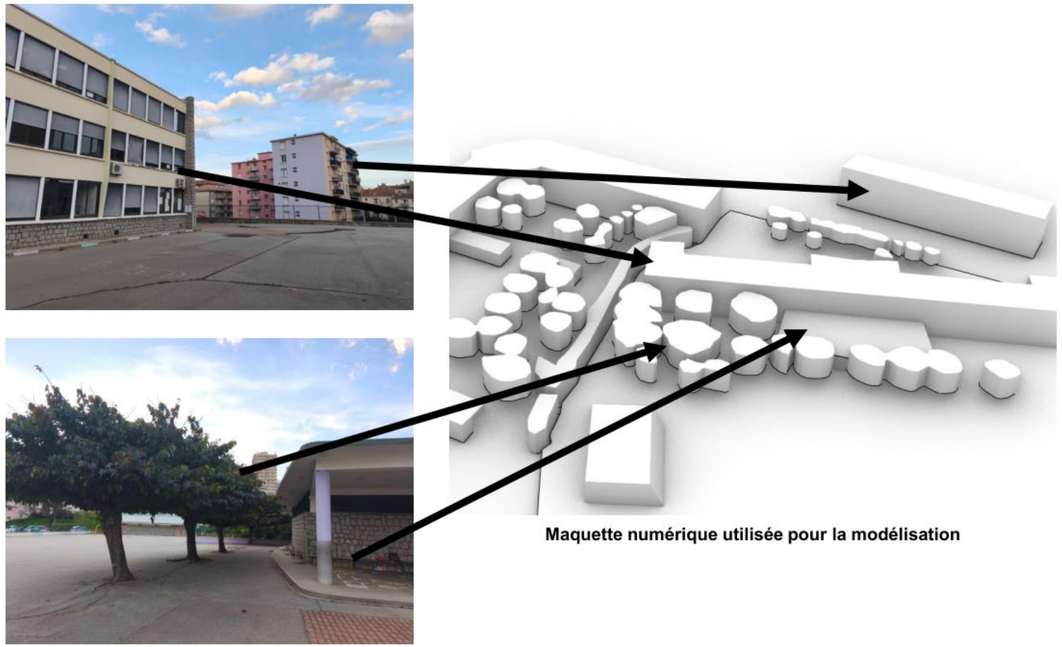


COURS D'ÉCOLES

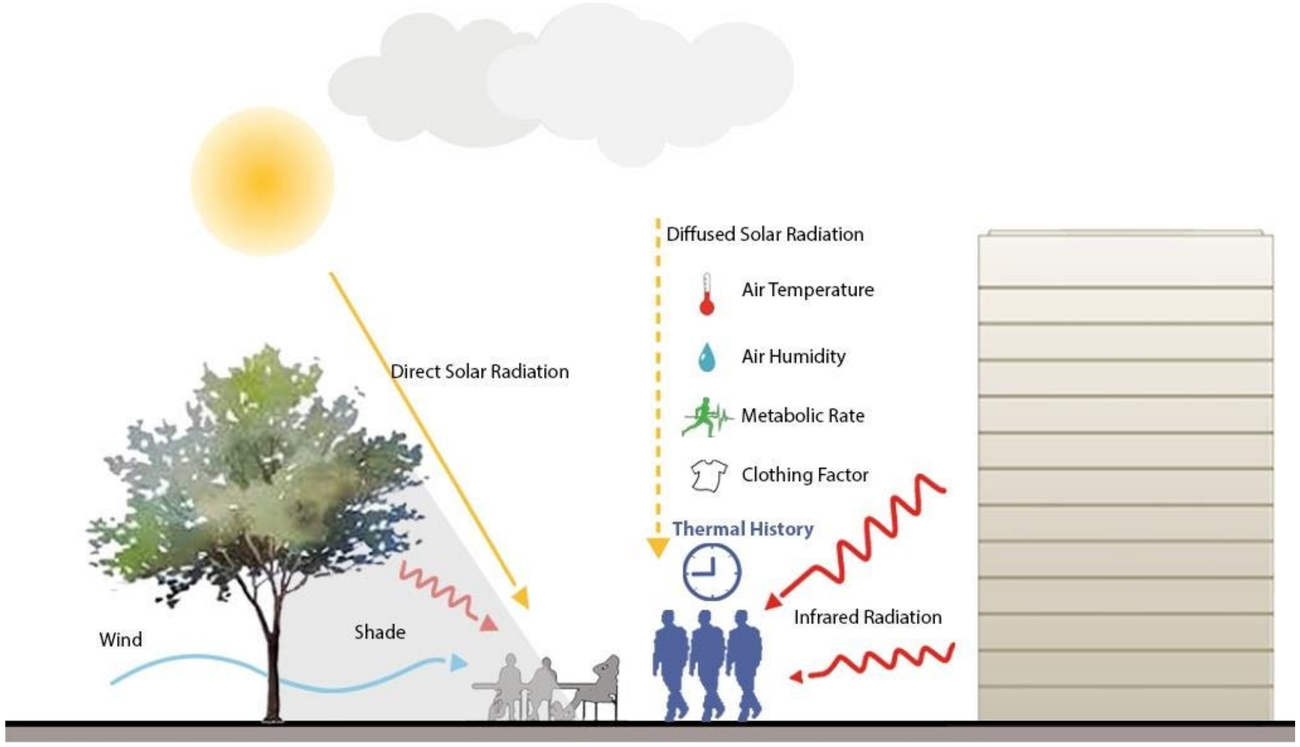


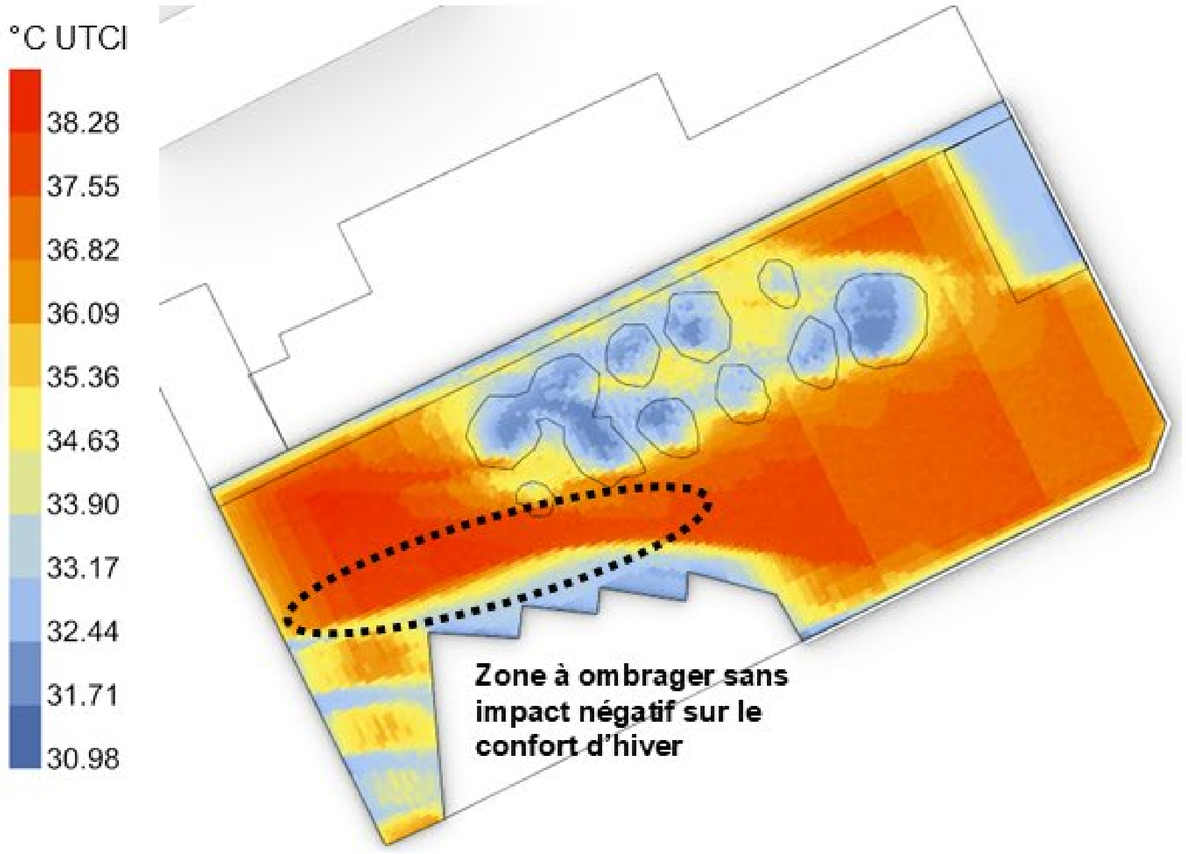




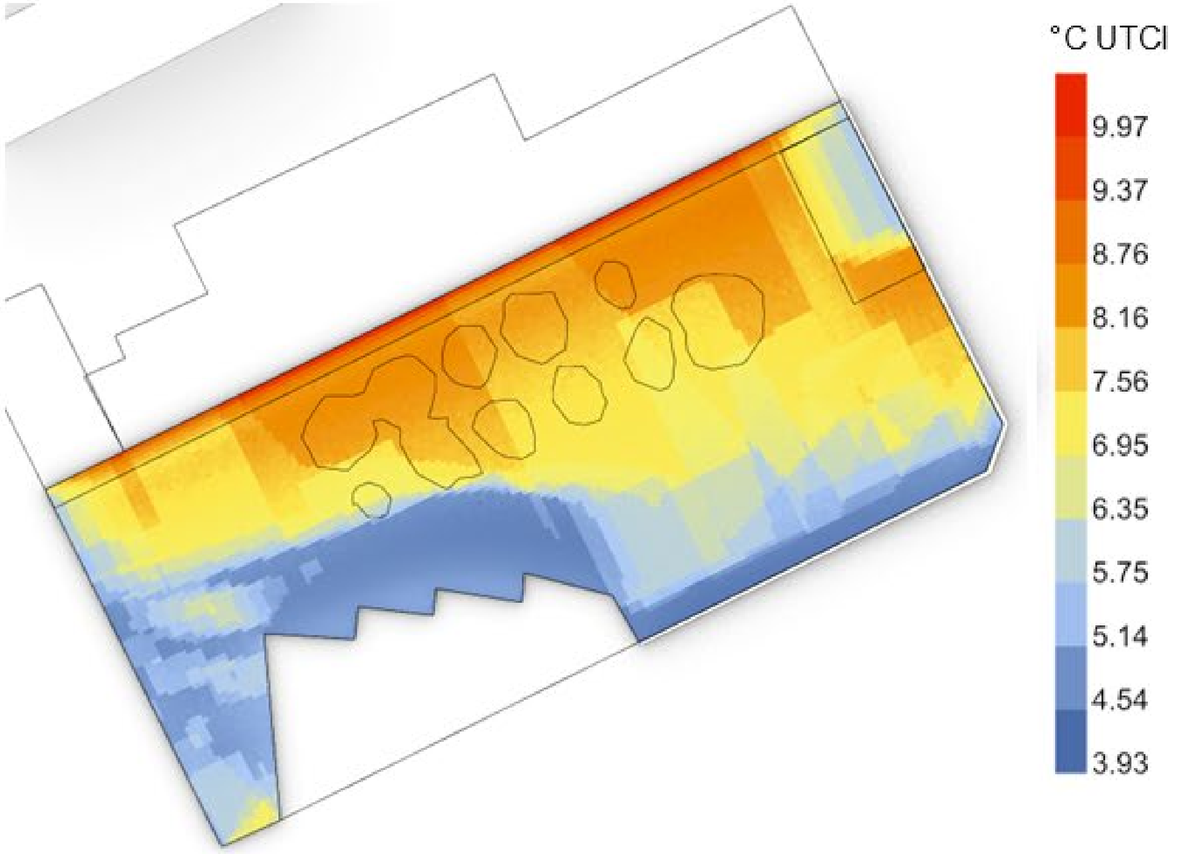


Maquette numérique utilisée pour la modélisation





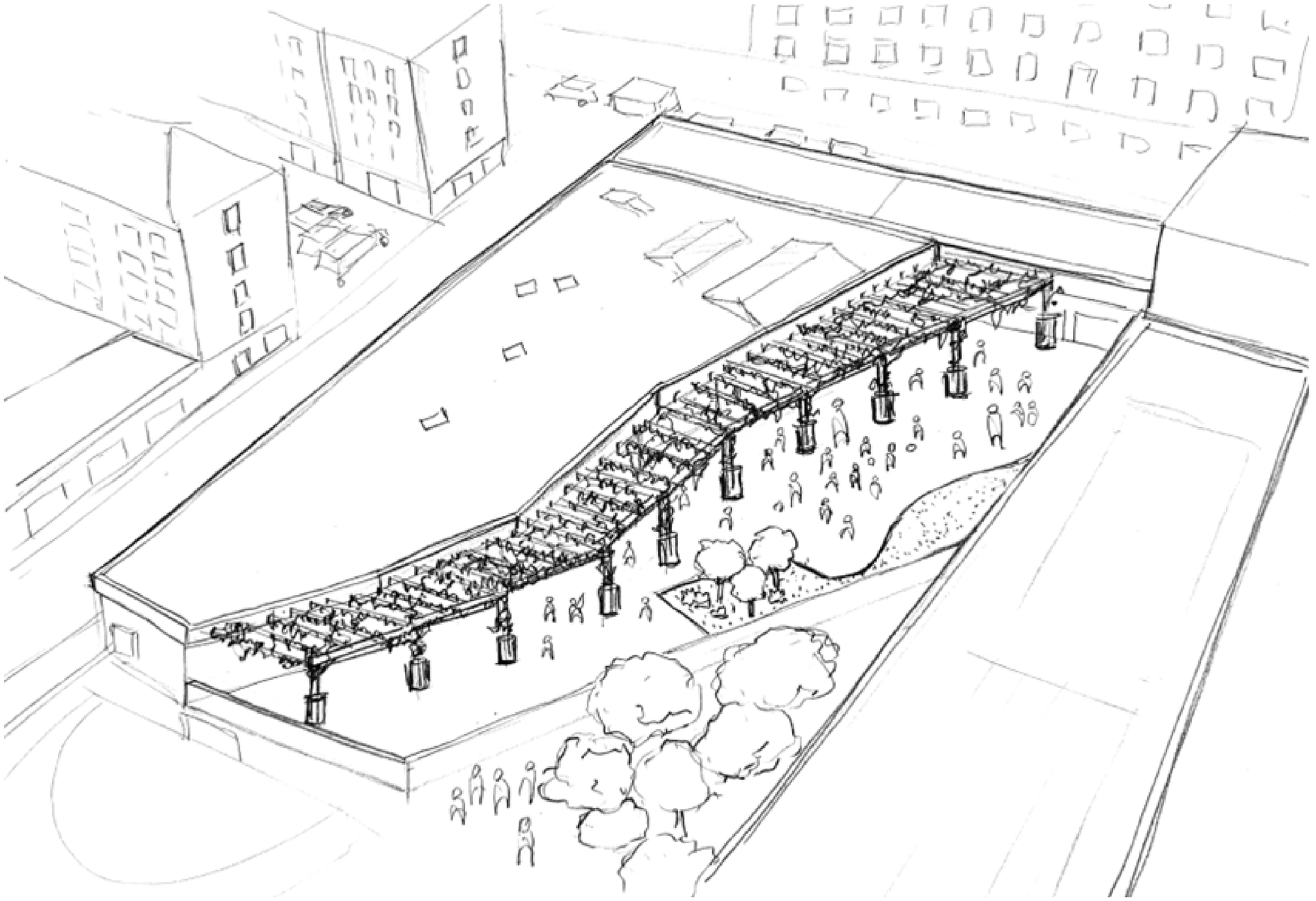
Carte du confort thermique extérieur en période de forte chaleur (°C UTCI)



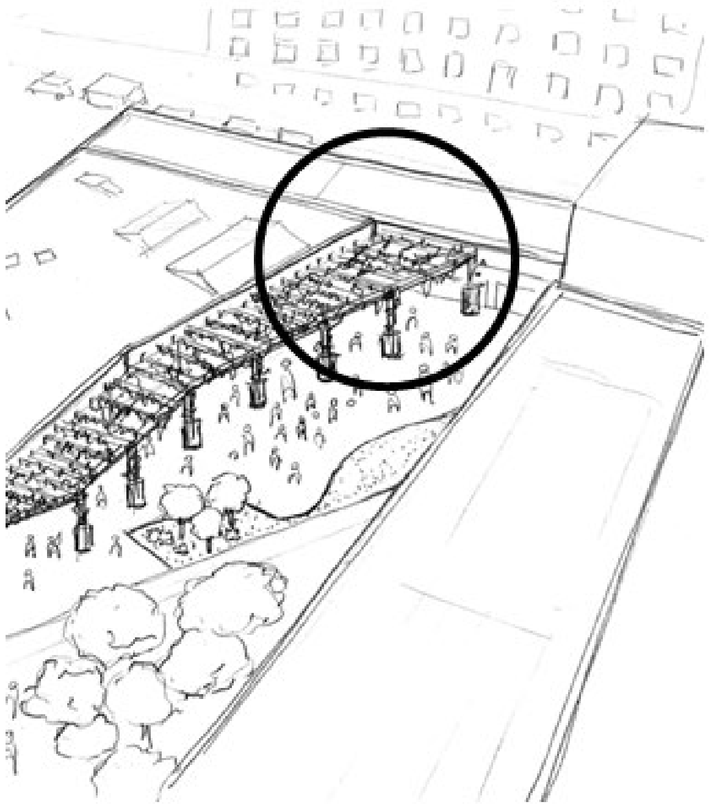
Carte du confort thermique extérieur en période froide (°C UTCI)

33 Comparaison du confort thermique été/hiver

Source : Freio – design climatique



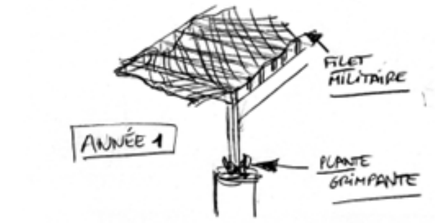
Principe d'ombrage par une pergola plantée et désimperméabilisation du pied d'arbre



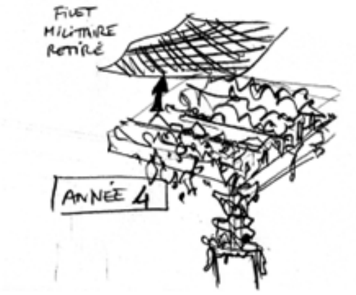
- A **Bignone de Virginie** *(Campsis radicans)*
- B **Vigne vierge à 5 feuilles** *(Parthenocissus quinquefolia)*
- C **Ipomée** *(Ipomea sp.)*
- D **Solanum grimpant** *(Solanum jasminoides)*
- E **Faux jasmin** *(Trachelospermum jasminoides)*
- F **Glycine** *(Wisteria sp.)*



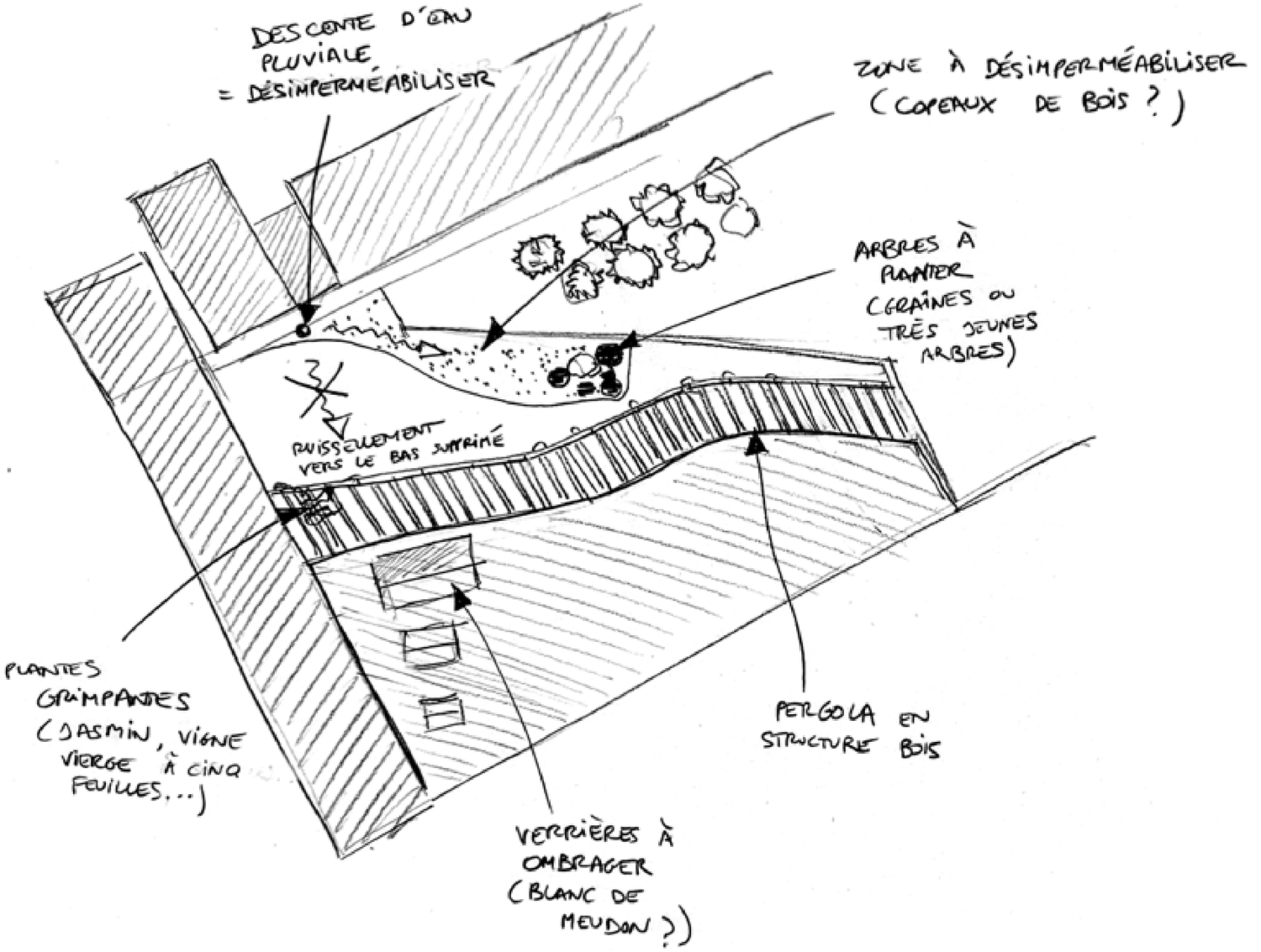
Plantes grimpantes adaptées aux pergolas et au climat méditerranéen



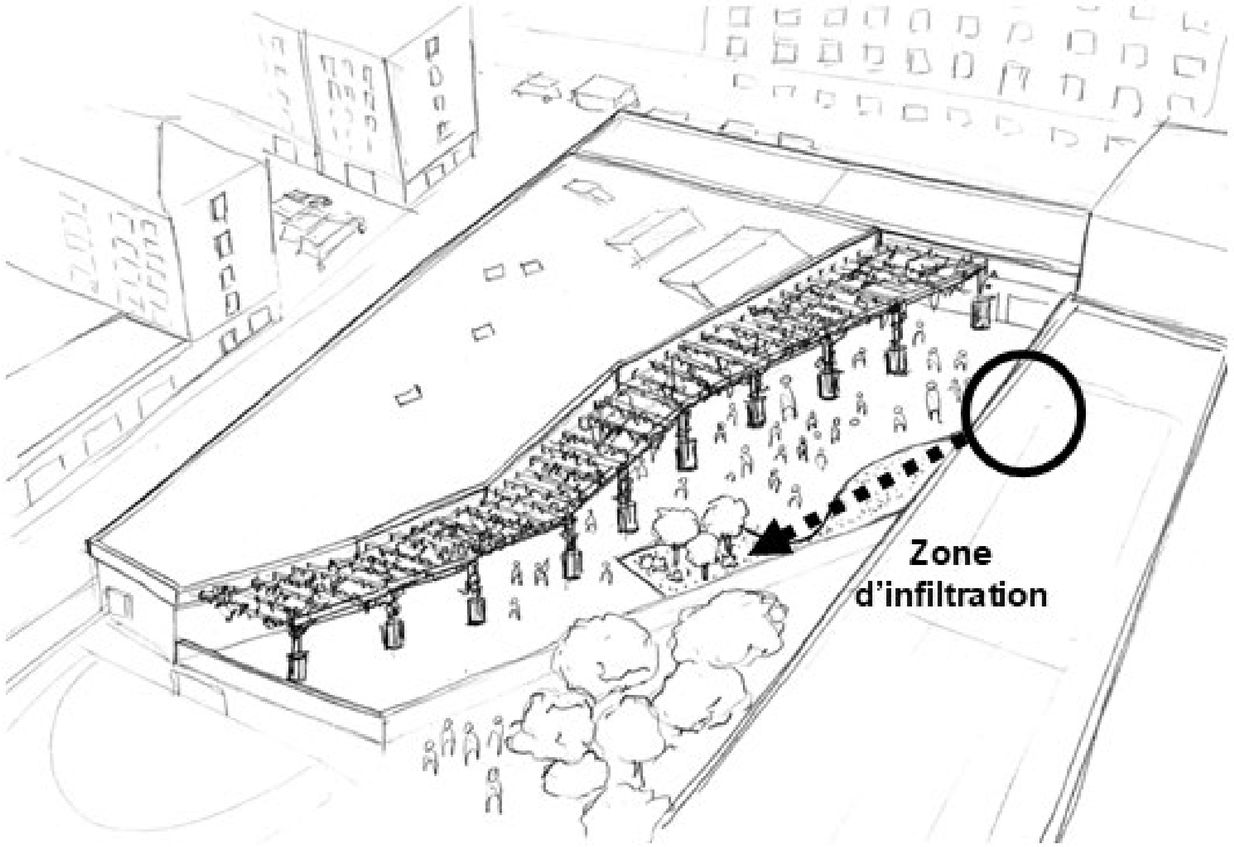




Utilisation d'un filet d'ombrage en attendant le développement des grimpantes

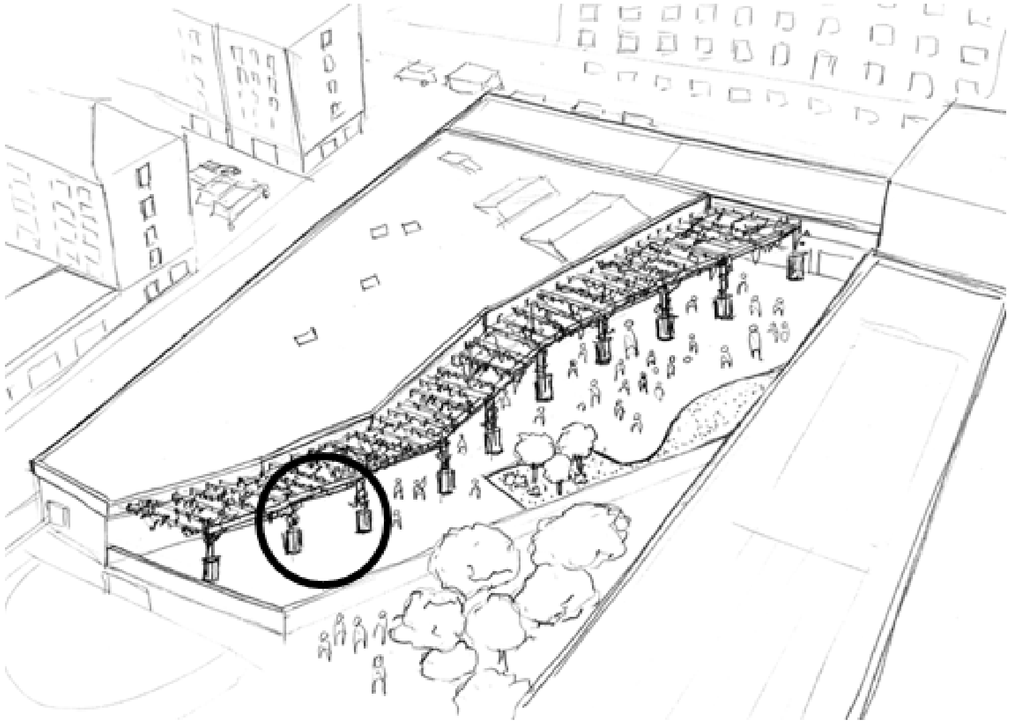


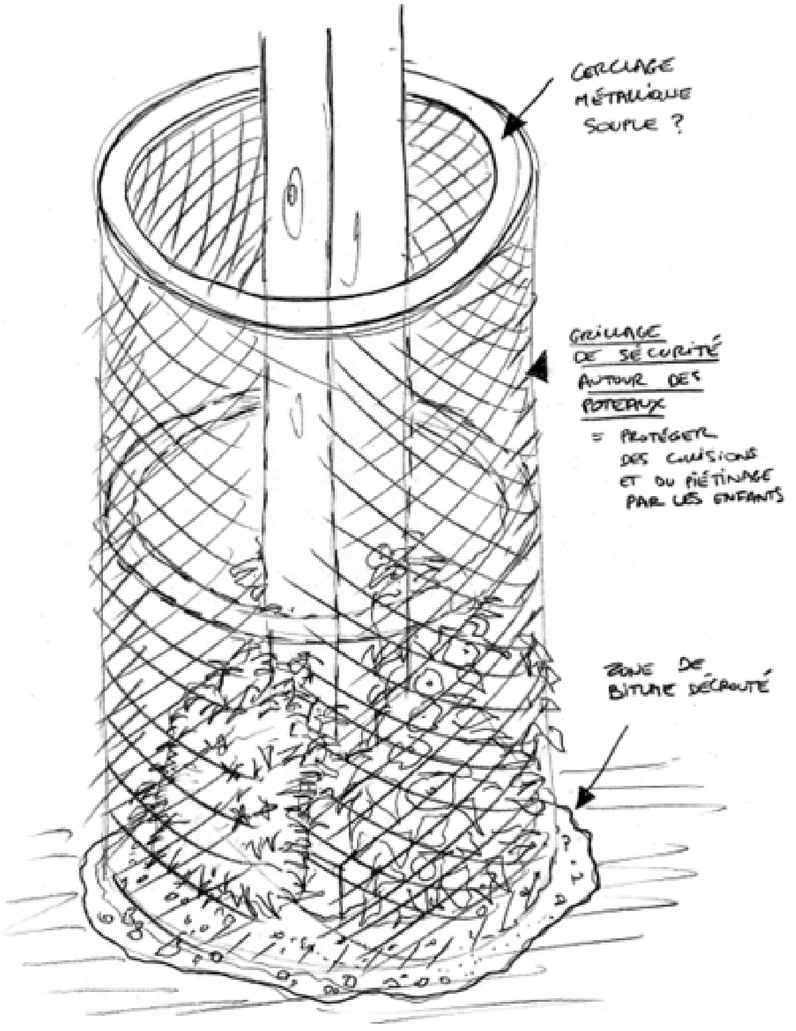
Plan schématique des zones transformées pour planter et désimperméabiliser





Descente d'eau pluviale depuis le bâtiment nord qui augmente la quantité d'eau ruisselée dans la cour



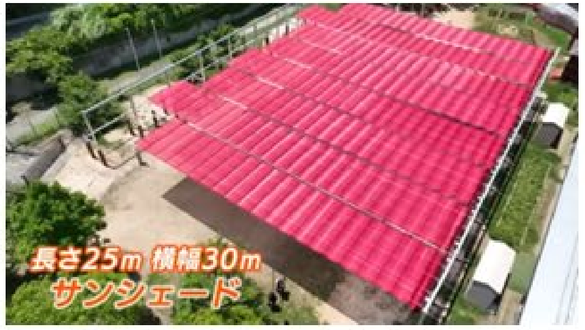


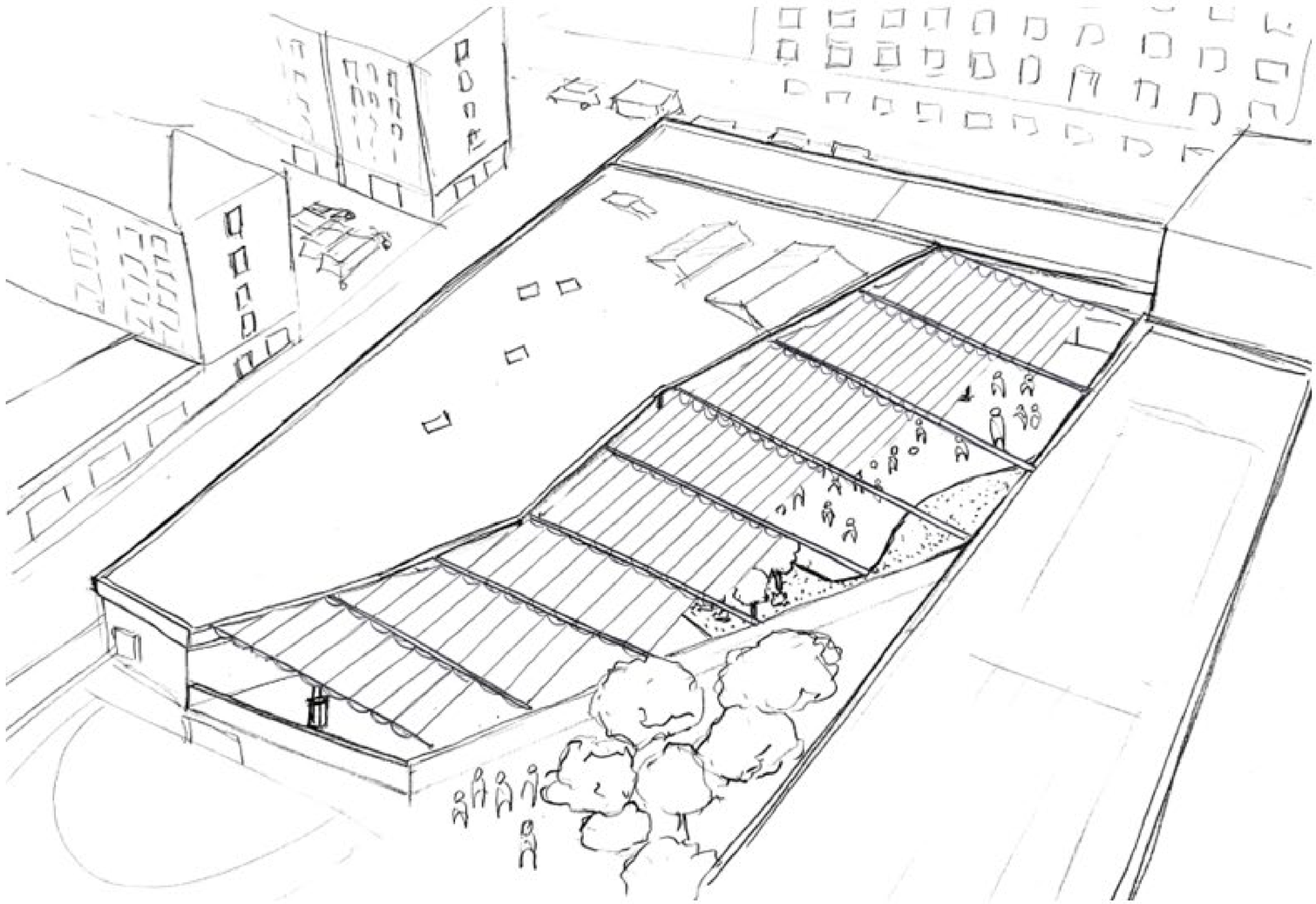
Dispositif pour protéger les plantations du piétinement et limiter le risque de collision

Option 2 : Installer des voiles d'ombrage mobiles

L'objectif de cette stratégie est d'ombrager rapidement la cour à moindre frais avec des voiles mobiles, sur le modèle des cours japonaises.





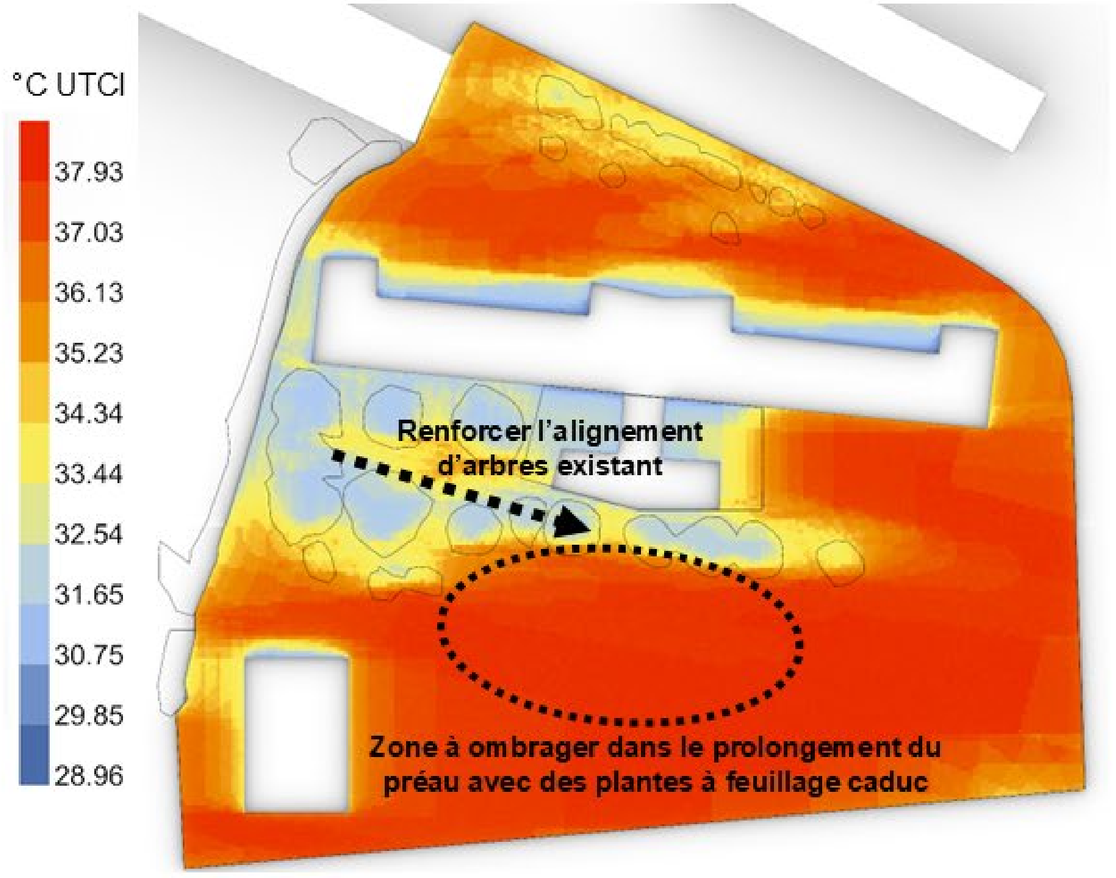


Principe d'ombrage par des voiles mobiles

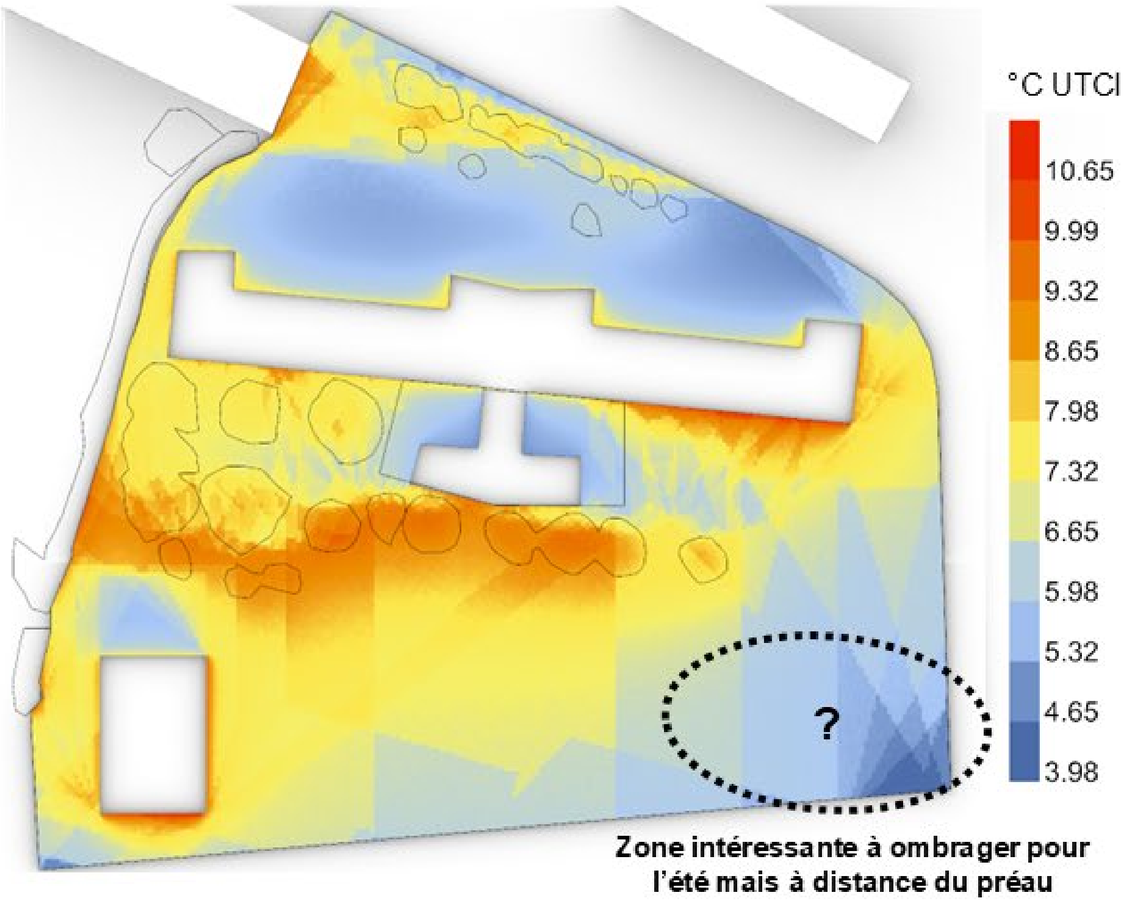








Carte du confort thermique extérieur en période de forte chaleur (°C UTCI)



Carte du confort thermique extérieur en période froide (°C UTCI)

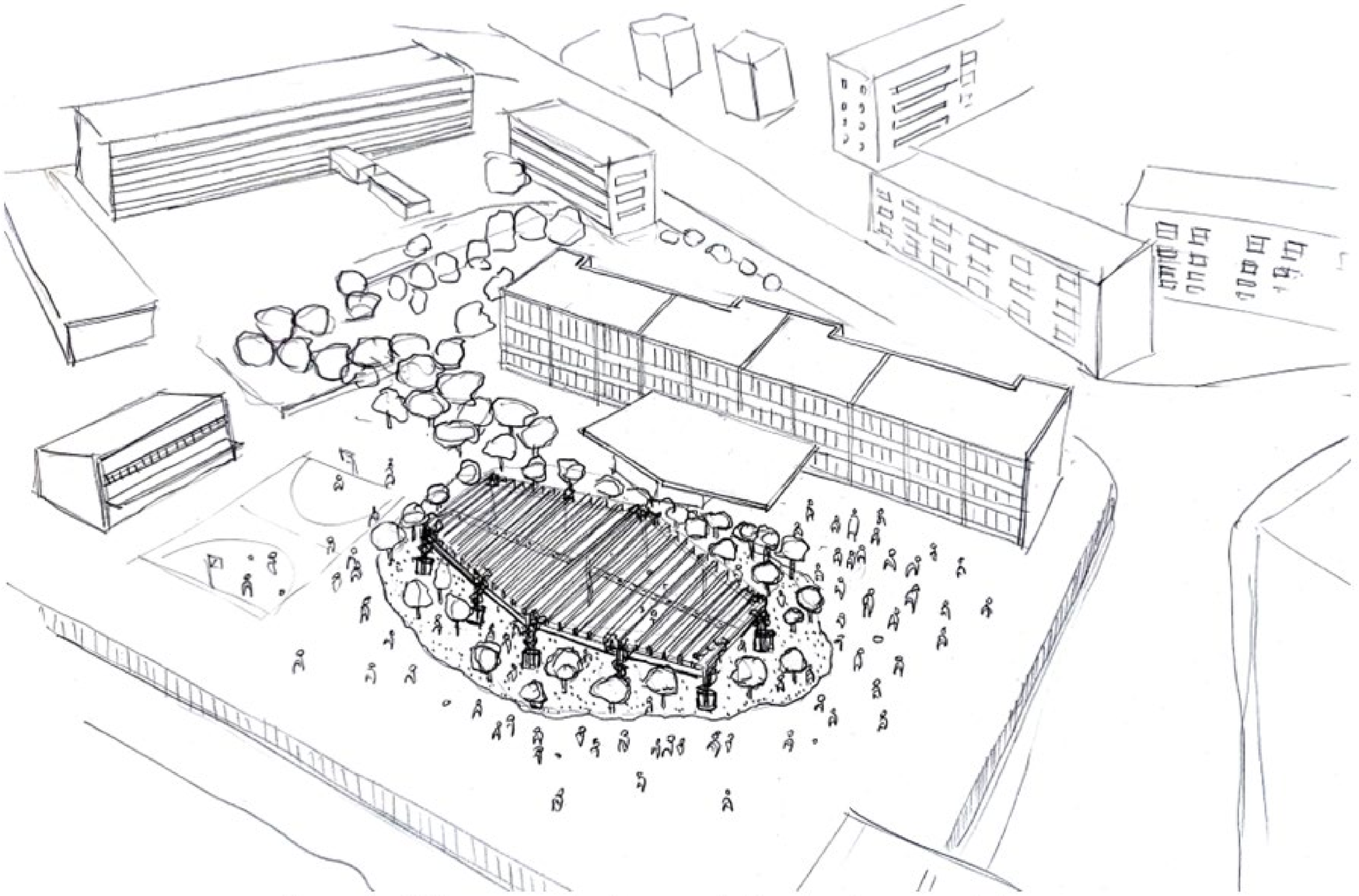
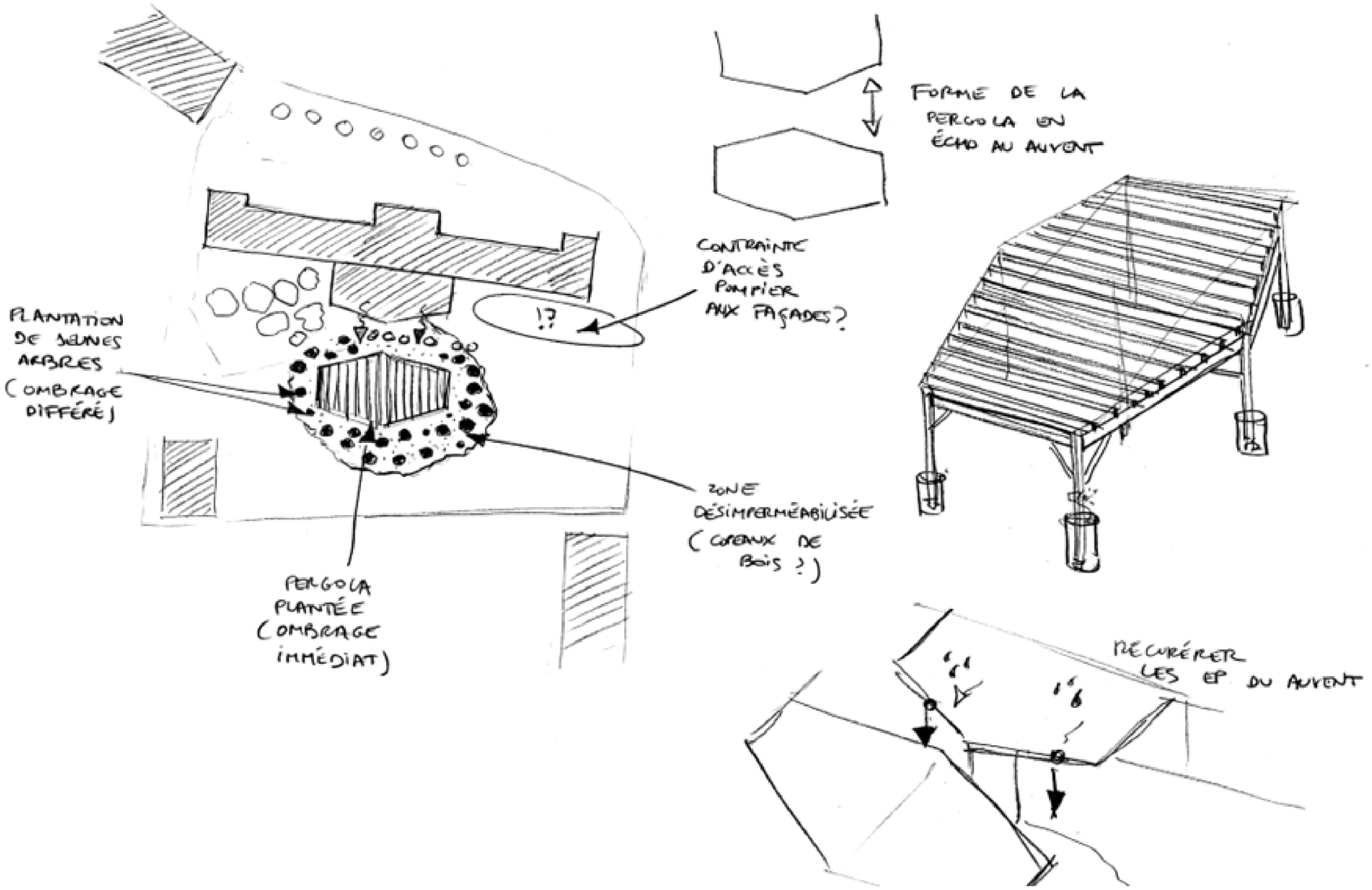


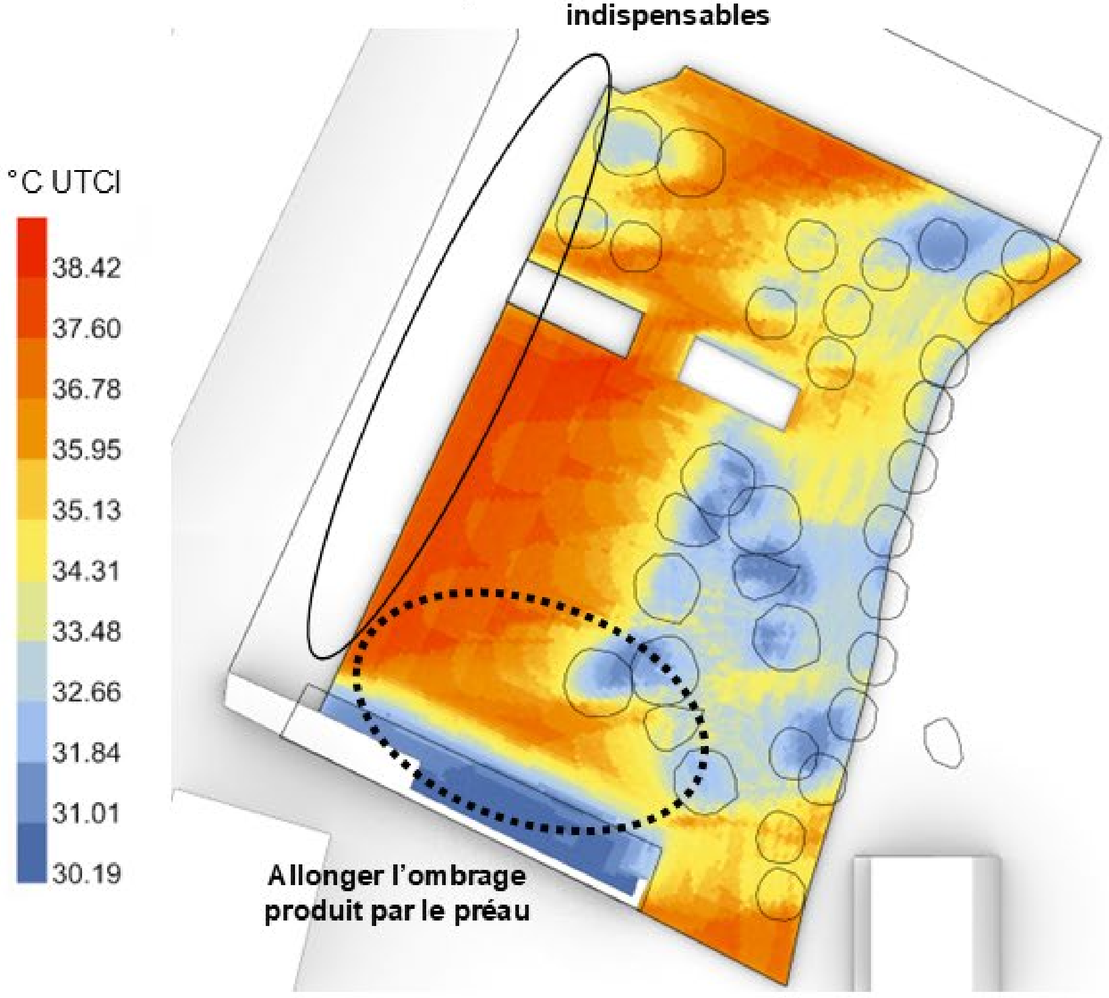
Illustration de la structure d'ombrage et de l'îlot planté au centre de la cour



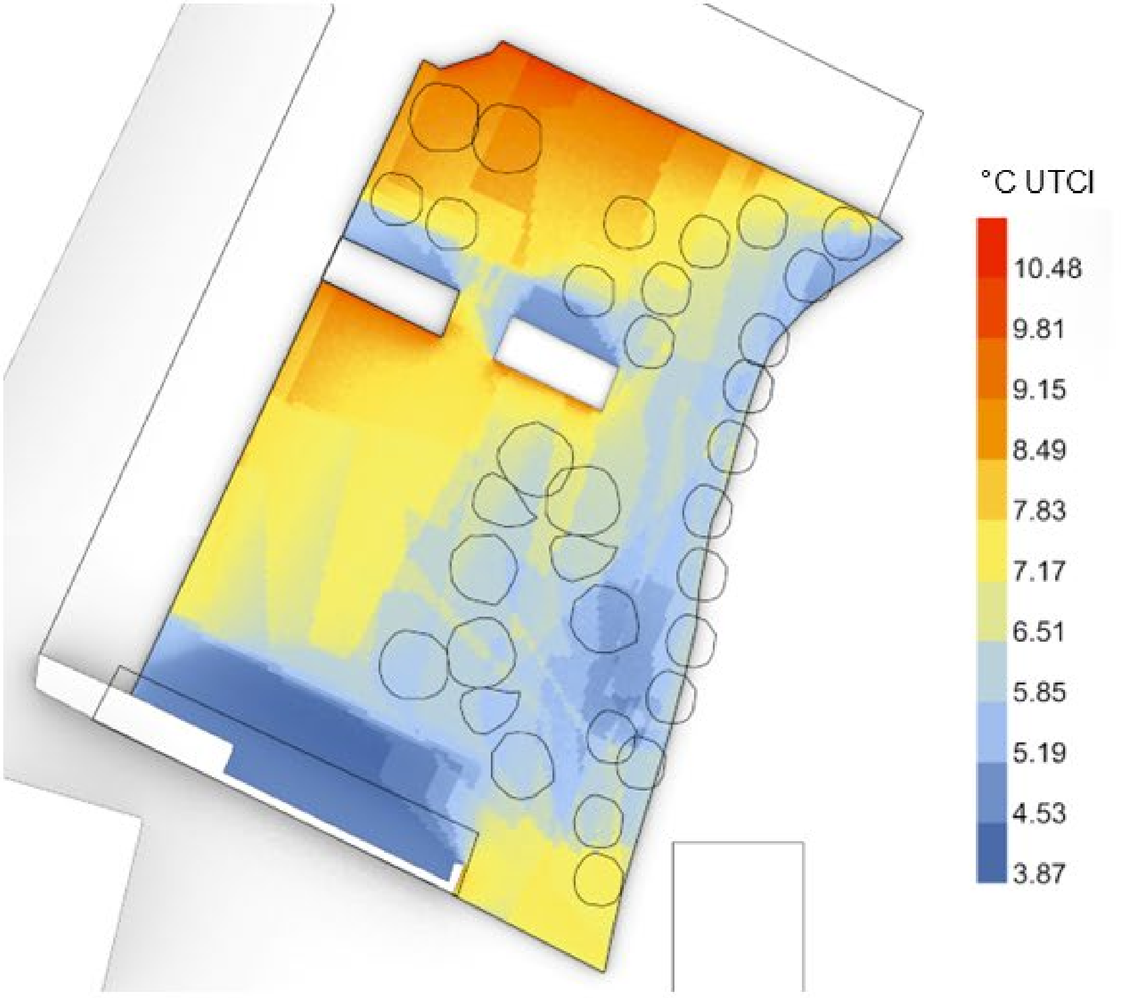
Principes généraux de l'aménagement de la cour basse



Apports solaires importants sur la façade est
> protections solaires extérieures
indispensables



Carte du confort thermique extérieur en période de forte chaleur (°C UTCI)



Carte du confort thermique extérieur en période froide (°C UTCI)

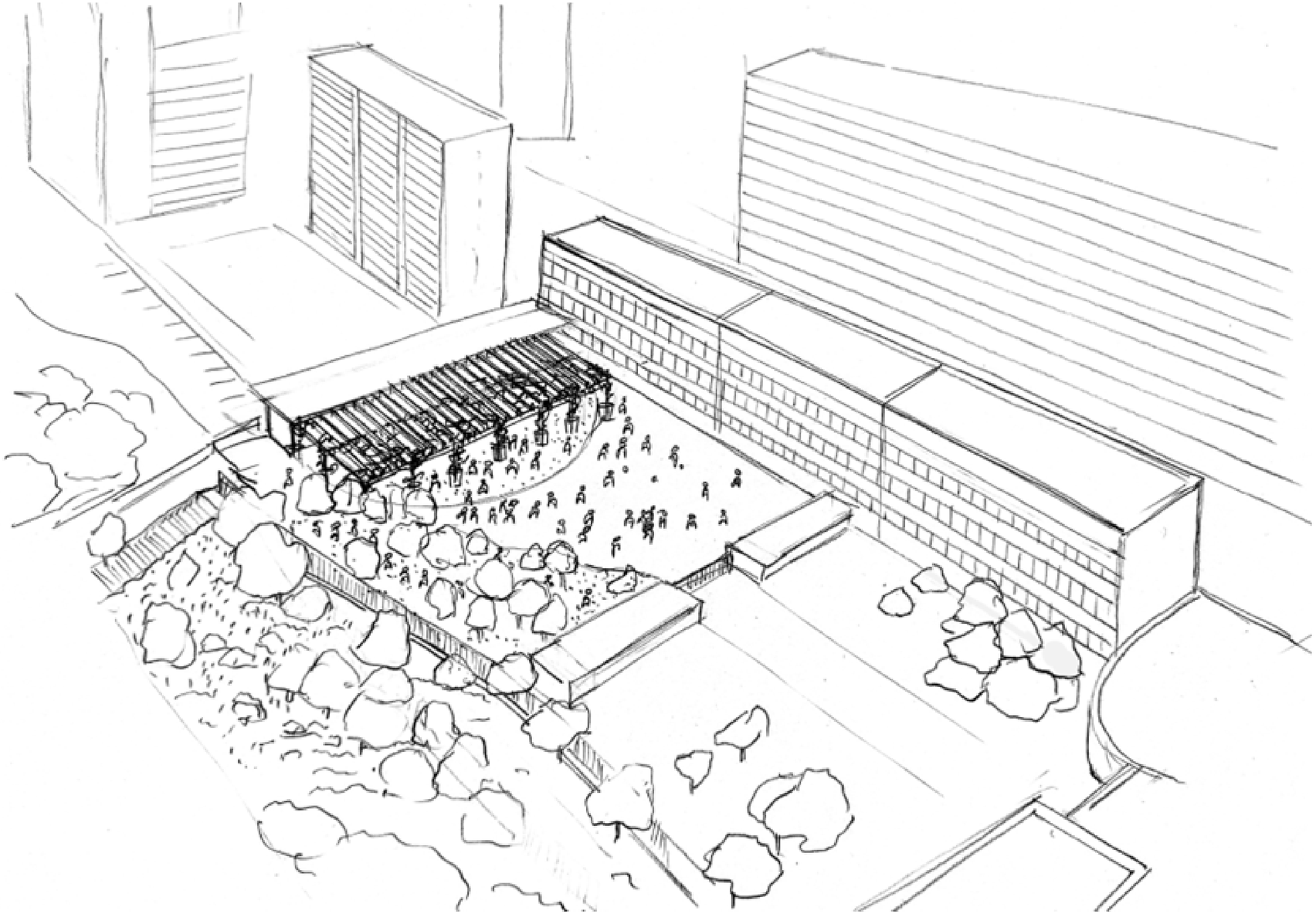


Illustration de la structure d'ombrage dans le prolongement du préau existant



AJACCIO
CITÀ D'AIACCIU

REPUBLIQUE FRANÇAISE
DEPARTEMENT DE LA CORSE DU SUD
VILLE D'AJACCIO

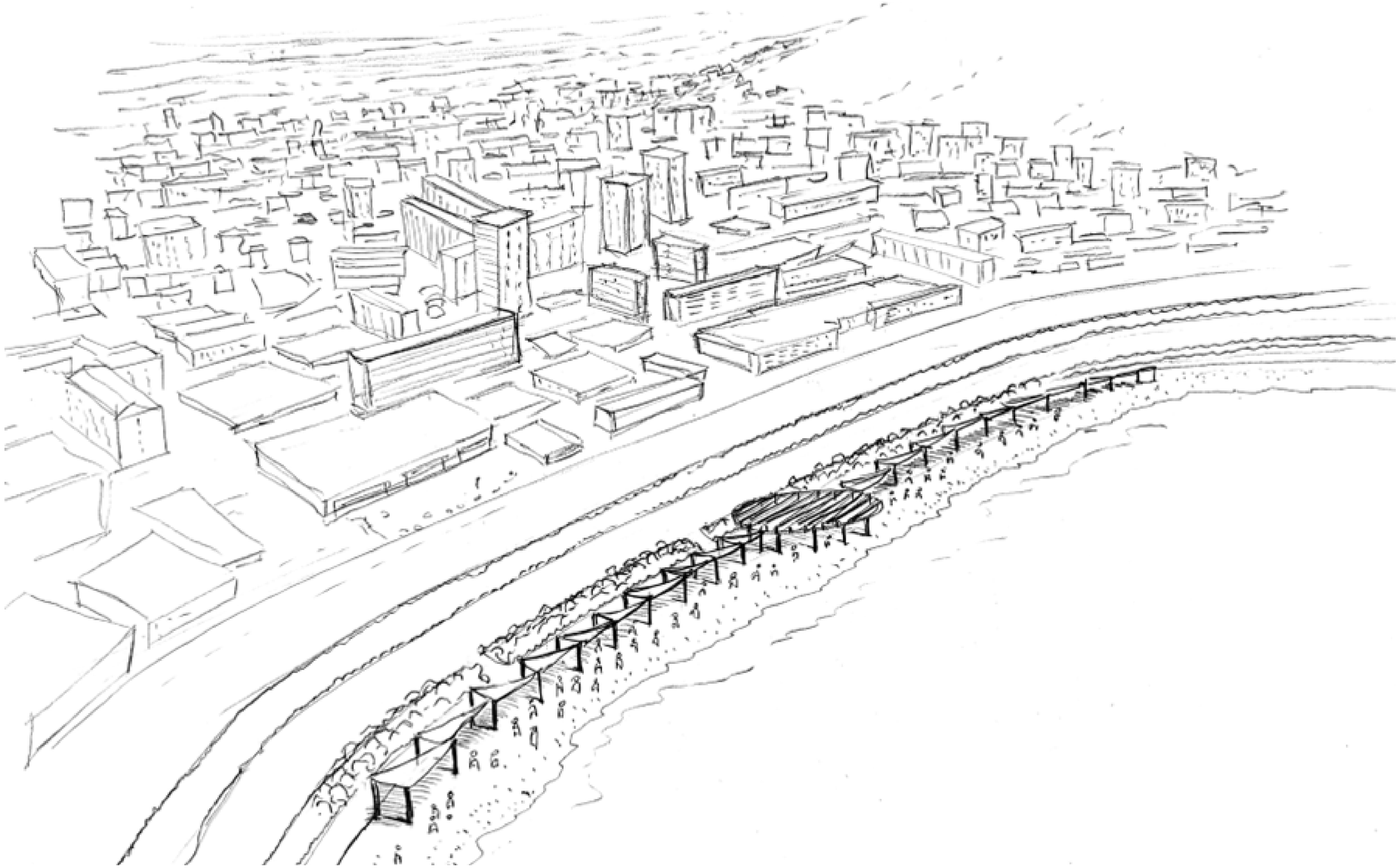
EXTRAIT DU REGISTRE DES DELIBERATIONS DU CONSEIL MUNICIPAL DE LA VILLE D'AJACCIO

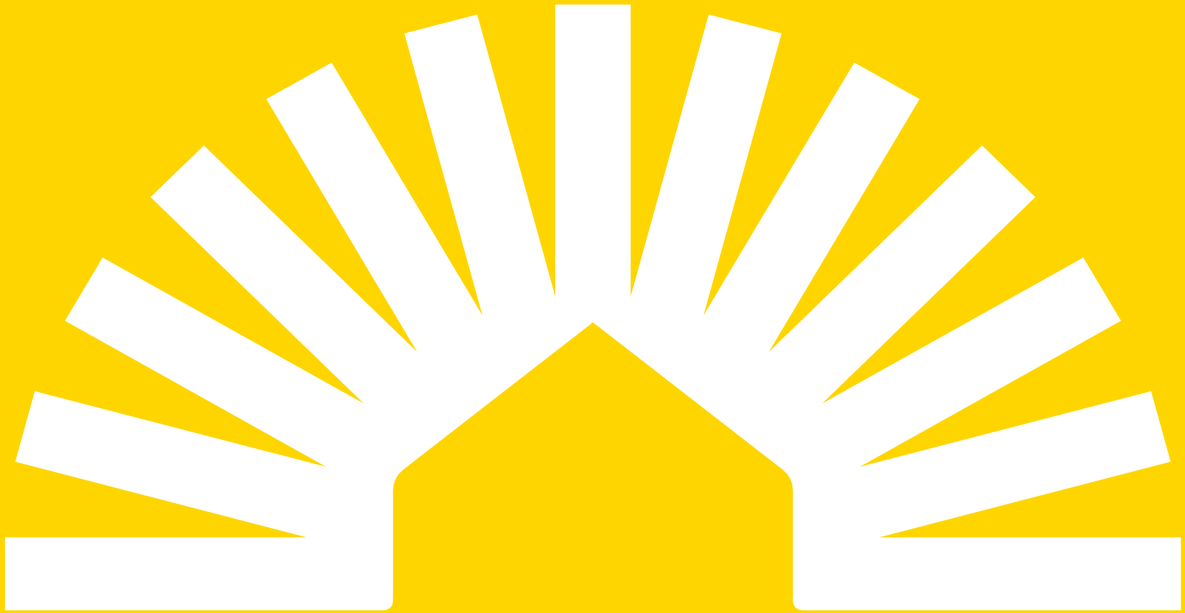
Le 15 décembre 2023 à 18 h 00, le conseil municipal de la Ville d'AJACCIO, légalement convoqué le 08 décembre 2023 conformément à l'article L2121-17 du code général des collectivités territoriales, s'est réuni en séance publique à l'Hôtel de Ville sous la présidence de Monsieur Stéphane Sbraggia, Le Maire.

Etaient présents : Stéphane Sbraggia, Alexandre Farina, Caroline Corticchiato, Simone Guerrini, Pierre Pugliesi, Rose-Marie Ottavy-Sarrola, Nicole Ottavy, Annie Costa-Nivaggioli, Jean-Pierre Aresu, Annie Sichi, Aurélia Massei, Dominique Carlotti, Jean-Pierre Sollacaro, Marie-Noëlle Nadal, Jean-François Luccioni, Philippe Kervella, Christelle Combette, Christian Bacci, Emmanuelle Villanova, Alain Nicolai, Antoine Cuttoli, Laurent Marcangeli, Pierre-Laurent Audisio, Basiliu Moretti, Sébastien Deliperi, Marine Ponzevera, Danielle Antonini, Jean-François Casalta, Julia Tiberi

Avaient donné pouvoir de voter respectivement en leur nom : Stéphane Vannucci pouvoir à Marie-Noëlle Nadal, Jacques Billard pouvoir à Pierre Pugliesi, Charles Voglimacci pouvoir à Marine Ponzevera, Christophe Mondoloni pouvoir à Aurélia Massei, Ginou Battini-Lesueur pouvoir à Simone Guerrini, Isabelle Jeanne pouvoir à Annie Sichi, Camille Bernard pouvoir à Rose-Marie

MERCI !





envirobât OCCITANIE

envirobatbdm

ville & aménagement durable